

**Comune di Alessandria**  
**Provincia di ALESSANDRIA**

**TABULATI DI CALCOLO**  
**TOMO: 1 di 1**

**OGGETTO:** Muro di sottoscarpa arginale del rio Loreto

**COMMITTENTE:** AIPO

\_\_/\_/\_\_\_\_

Il Progettista  
(UFFICIO DI ALESSANDRIA)

\_\_\_\_\_

Il Direttore dei Lavori

\_\_\_\_\_

## INFORMAZIONI GENERALI

<b>Comune</b>	Comune di Alessandria
<b>Provincia</b>	Provincia di ALESSANDRIA
<b>Oggetto</b>	Muro di sottoscarpa arginale del rio Loreto
<b>Parte d'opera</b>	Muro sottoscarpa argine rio loreto
<b>Normativa di riferimento</b>	D.M. 14/01/2008
<b>Analisi sismica</b>	Orizzontale e Verticale
<b>Classe struttura</b>	1
<b>Vita nominale</b>	50 anni
<b>Periodo di riferimento</b>	35

## MATERIALI

Materiali															
N	Tipo	Descrizione	Sigla	Peso Specifico	Coeff. Dil. Termica	Modulo elastico		Rk	γ	ridFmk	n	ft	fc	τ R	N Act
				[N/m³]	[1/°C]	E	G	[N/mm²]				[N/mm²]	[N/mm²]	[N/mm²]	
1	CA	Cls C32/40-B450C	C32/40	25000	0,000010	33643	13457	40,0	1,50	85	15	1,45	3,72	0,42	Acciaio B450C
2	AcT	Acciaio B450C	B450C	78500	0,000010	210000	84000	450,0	1,15	0	1	0,00	0,00	0,00	

### LEGENDA Materiali

<b>N</b>	Numero identificativo del materiale.
<b>Tipo</b>	Tipologia del materiale: [CA] = Calcestruzzo armato - [AcT] = Acciaio in tondini - [AcP] = Acciaio in profilati - [M] = Muratura - [AcA] = Acciaio armonico per trefoli - [Mit] = Malta per tiranti.
<b>Sigla</b>	Sigla del materiale.
<b>Coeff. Dil. Termica</b>	Coefficiente di dilatazione termica.
<b>E</b>	Modulo elastico normale.
<b>G</b>	Modulo elastico tangenziale.
<b>Rk</b>	Resistenza caratteristica del materiale. Il valore riportato è "Rck" per il calcestruzzo, "f <sub>yk</sub> " per l'acciaio, "f <sub>mk</sub> " per la muratura ed "f <sub>k</sub> " nel caso di altro materiale.
<b>γ</b>	Coefficiente di sicurezza allo Stato Limite Ultimo del materiale. Il valore riportato è "γ <sub>c</sub> " per il calcestruzzo, "γ <sub>f</sub> " per l'acciaio, "γ <sub>m</sub> " per la muratura e "γ <sub>g</sub> " in caso di altro materiale.
<b>ridFmk</b>	Percentuale di riduzione di R <sub>fmk</sub> .
<b>n</b>	Coefficiente di omogeneizzazione.
<b>ft</b>	Il valore riportato e' la "Resistenza di calcolo a trazione" per il calcestruzzo armato, la "Resistenza caratteristica a trazione" per la muratura.
<b>fc</b>	Il valore riportato e' la "Resistenza a rottura per flessione" per il calcestruzzo armato, la "Resistenza caratteristica a compressione orizzontale" per la muratura.
<b>τ R</b>	Il valore riportato e' la "Resistenza tangenziale di calcolo" per il calcestruzzo armato, la "Resistenza caratteristica a taglio in assenza di compressione - f <sub>vk0</sub> " per la muratura.
<b>N Act</b>	Identificativo, nella tabella materiali, dell'acciaio utilizzato.

## TERRENI

Terreni										
N	Descrizione	γ	γ <sub>saturo</sub>	φ	Cu	C'	Ed	Costante di sottofondo		
								X	Y	Z
		[N/m³]	[N/m³]	[°ssdc]	[N/mm²]	[N/mm²]	[N/mm²]	[N/cm³]	[N/cm³]	[N/cm³]
1	Sabbia compatta (umida)	21000	22000	32	0,00	0,00	60	25	25	75

### LEGENDA Terreni

<b>N</b>	Numero identificativo del terreno.
<b>Descrizione</b>	Descrizione del terreno.
<b>γ</b>	Peso per unità di volume [N/m³].
<b>γ<sub>saturo</sub></b>	Peso per unità di volume saturo [N/m³].
<b>φ</b>	Angolo di attrito [°ssdc].
<b>Cu</b>	Coesione [N/mm²].
<b>C'</b>	Coesione Efficace [N/mm²].
<b>Ed</b>	Modulo edometrico [N/mm²].
<b>Costante di sottofondo</b>	Valori della costante di sottofondo del terreno nelle direzioni degli assi del riferimento globale X, Y, e Z.

## CONDIZIONI DI CARICO

Condizioni di carico							
N	Condizioni Carico Utente			Tipologia Carico Accidentale			
	Descrizione	AgS	Alt	Descrizione	ψ 0	ψ 1	ψ 2
1	Carico Verticale	SI	NO	Abitazioni	0,7	0,5	0,3
2	Carico permanente	SI	NO	Carico permanente	1,0	1,0	1,0

### LEGENDA Condizioni di carico

<b>N</b>	Numero identificativo della condizione di carico.
<b>AgS</b>	Indica se la condizione di carico considerata è Agente con il Sisma.

Condizioni di carico						
N	Condizioni Carico Utente			Tipologia Carico Accidentale		
	Descrizione	AgS	Alt	Descrizione	$\psi$ 0	$\psi$ 1
Alt	Indica se la condizione di carico è Alternata (cioè considerata due volte con segno opposto) o meno.					
$\psi$ 0	Coefficiente riduttivo dei carichi allo SLU e SLE (Carichi rari).					
$\psi$ 1	Coefficiente riduttivo dei carichi allo SLE (Carichi frequenti).					
$\psi$ 2	Coefficiente riduttivo dei carichi allo SLE (Carichi frequenti e quasi permanenti).					

## SLE: COMBINAZIONE DI AZIONI QUASI PERMANENTE - COEFFICIENTI

SLE: Combinazione di azioni Quasi permanente - Coefficienti			
COMB.	CC 01 Carico Verticale (Abitazioni)	CC 02 Carico permanente (Carico permanente)	
01	0,30	1,00	
02	0,30	1,00	

### LEGENDA SLE: Combinazione di azioni Quasi permanente - Coefficienti

**COMB.** Numero identificativo della Combinazione di Carico.  
**CC** Condizione di carico considerata.  
 CC 01= Carico Verticale (Abitazioni)  
 CC 02= Carico permanente (Carico permanente)

## SLE: COMBINAZIONE DI AZIONI FREQUENTE - COEFFICIENTI

SLE: Combinazione di azioni Frequente - Coefficienti			
COMB.	CC 01 Carico Verticale (Abitazioni)	CC 02 Carico permanente (Carico permanente)	
01	0,50	1,00	
02	0,50	1,00	

### LEGENDA SLE: Combinazione di azioni Frequente - Coefficienti

**COMB.** Numero identificativo della Combinazione di Carico.  
**CC** Condizione di carico considerata.  
 CC 01= Carico Verticale (Abitazioni)  
 CC 02= Carico permanente (Carico permanente)

## SLE: COMBINAZIONE DI AZIONI RARA - COEFFICIENTI

SLE: Combinazione di azioni Rara - Coefficienti			
COMB.	CC 01 Carico Verticale (Abitazioni)	CC 02 Carico permanente (Carico permanente)	
01	1,00	1,00	
02	1,00	1,00	

### LEGENDA SLE: Combinazione di azioni Rara - Coefficienti

**COMB.** Numero identificativo della Combinazione di Carico.  
**CC** Condizione di carico considerata.  
 CC 01= Carico Verticale (Abitazioni)  
 CC 02= Carico permanente (Carico permanente)

## SLU: COMBINAZIONI DI CARICO IN ASSENZA DI SISMA - COEFFICIENTI

SLU: Combinazioni di carico in assenza di sisma - Coefficienti		
COMB.	CC 01 Carico Verticale (Abitazioni)	CC 02 Carico permanente (Carico permanente)
Approccio 1, Combinazione 1 - Stato limite di Equilibrio		
01	0	0,9
02	1,5	0,9
03	0	1,1
04	1,5	1,1
Approccio 1, Combinazione 1 - Stato limite di Resistenza della struttura		
01	0	1
02	1,5	1
03	0	1,3
04	1,5	1,3
Approccio 1, Combinazione 1 - Stato limite di Resistenza del terreno		
01	0	1
02	1,3	1

SLU: Combinazioni di carico in assenza di sisma - Coefficienti		
COMB.	CC 01 Carico Verticale (Abitazioni)	CC 02 Carico permanente (Carico permanente)
03	0	1
04	1,3	1
<b>Approccio 1, Combinazione 2 - Stato limite di Equilibrio</b>		
01	0	0,9
02	1,5	0,9
03	0	1,1
04	1,5	1,1
<b>Approccio 1, Combinazione 2 - Stato limite di Resistenza della struttura</b>		
01	0	1
02	1,5	1
03	0	1,3
04	1,5	1,3
<b>Approccio 1, Combinazione 2 - Stato limite di Resistenza del terreno</b>		
01	0	1
02	1,3	1
03	0	1
04	1,3	1
<b>Approccio 2, Combinazione 1 - Stato limite di Equilibrio</b>		
01	0	0,9
02	1,5	0,9
03	0	1,1
04	1,5	1,1
<b>Approccio 2, Combinazione 1 - Stato limite di Resistenza della struttura</b>		
01	0	1
02	1,5	1
03	0	1,3
04	1,5	1,3
<b>Approccio 2, Combinazione 1 - Stato limite di Resistenza del terreno</b>		
01	0	1
02	1,3	1
03	0	1
04	1,3	1

LEGENDA SLU: Combinazioni di carico in assenza di sisma - Coefficienti

COMB. Numero identificativo della Combinazione di Carico.

CC Condizione di carico considerata.

CC 01= Carico Verticale (Abitazioni)

CC 02= Carico permanente (Carico permanente)

## SLU: COMBINAZIONI DI CARICO IN PRESENZA DI SISMA - COEFFICIENTI

SLU: Combinazioni di carico in presenza di sisma - Coefficienti		
COMB.	CC 01 Carico Verticale (Abitazioni)	CC 02 Carico permanente (Carico permanente)
<b>Approccio 1, Combinazione 1 - Stato limite di Equilibrio</b>		
01	0,3	1
<b>Approccio 1, Combinazione 1 - Stato limite di Resistenza della struttura</b>		
01	0,3	1
<b>Approccio 1, Combinazione 1 - Stato limite di Resistenza del terreno</b>		
01	0,3	1
<b>Approccio 1, Combinazione 2 - Stato limite di Equilibrio</b>		
01	0,3	1
<b>Approccio 1, Combinazione 2 - Stato limite</b>		

SLU: Combinazioni di carico in presenza di sisma - Coefficienti		
COMB.	CC 01 Carico Verticale (Abitazioni)	CC 02 Carico permanente (Carico permanente)
<b>di Resistenza della struttura</b>		
01	0,3	1
<b>Approccio 1, Combinazione 2 - Stato limite di Resistenza del terreno</b>		
01	0,3	1
<b>Approccio 2, Combinazione 1 - Stato limite di Equilibrio</b>		
01	0,3	1
<b>Approccio 2, Combinazione 1 - Stato limite di Resistenza della struttura</b>		
01	0,3	1
<b>Approccio 2, Combinazione 1 - Stato limite di Resistenza del terreno</b>		
01	0,3	1

LEGENDA SLU: Combinazioni di carico in presenza di sisma - Coefficienti

**COMB.** Numero identificativo della Combinazione di Carico.

**CC** Condizione di carico considerata.

CC 01= Carico Verticale (Abitazioni)

CC 02= Carico permanente (Carico permanente)

## DATI GENERALI ANALISI SISMICA

Dati generali analisi sismica								
TP	Coef Ampl Topog	$\beta_s$	$\beta_m$	$K_{Stbl}$	$K_{Muro}$	Latitudine	Longitudine	Altitudine
						[gradi]	[gradi]	[m]
C	1,00	0,20	0,18	0,02	0,01	44° 54' 51.00"	8° 37' 2.00"	95

Classe Edificio	Vita Nominale	Periodo di Riferimento
[adim]	[anni]	[anni]
1	50	35

SL	Tr	Ag	Ss	F0	T*c
[adim]	[anni]	[adim]	[adim]	[adim]	[s]
SLO	30	0,0186	1,500	2,529	0,160
SLD	35	0,0202	1,500	2,529	0,170
SLV	332	0,0522	1,500	2,519	0,273
SLC	682	0,0679	1,500	2,554	0,282

LEGENDA Dati generali analisi sismica

**TP** Tipo terreno prevalente, categoria di suolo di fondazione come definito al punto 3.2.2 del DM 14 gennaio 2008 'Nuove Norme tecniche per le costruzioni: [A] = Ammassi rocciosi affioranti o terreni molto rigidi - [B] = Rocce tenere e depositi di terreni a grana grossa molto addensati o terreni a grana fina molto consistenti - [C] = Depositati di terreni a grana grossa mediamente addensati o terreni a grana fina mediamente consistenti - [D] = Depositati di terreni a grana grossa scarsamente addensati o di terreni a grana fina scarsamente consistenti - [E] = Terreni dei sottosuoli di tipo C o D per spessore non superiore a 20 m.

**Coef Ampl Topog** Coefficiente di amplificazione topografica.

$\beta_s$  Coefficiente di riduzione di accelerazione massima per Verifica di stabilit .

$\beta_m$  Coefficiente di riduzione di accelerazione massima per Muro di sostegno.

$K_{Stbl}$  Coefficiente per il calcolo della spinta per Verifica di stabilit .

$K_{Muro}$  Coefficiente per il calcolo della spinta per Muro di sostegno.

**Latitudine** Latitudine geografica del sito [gradi].

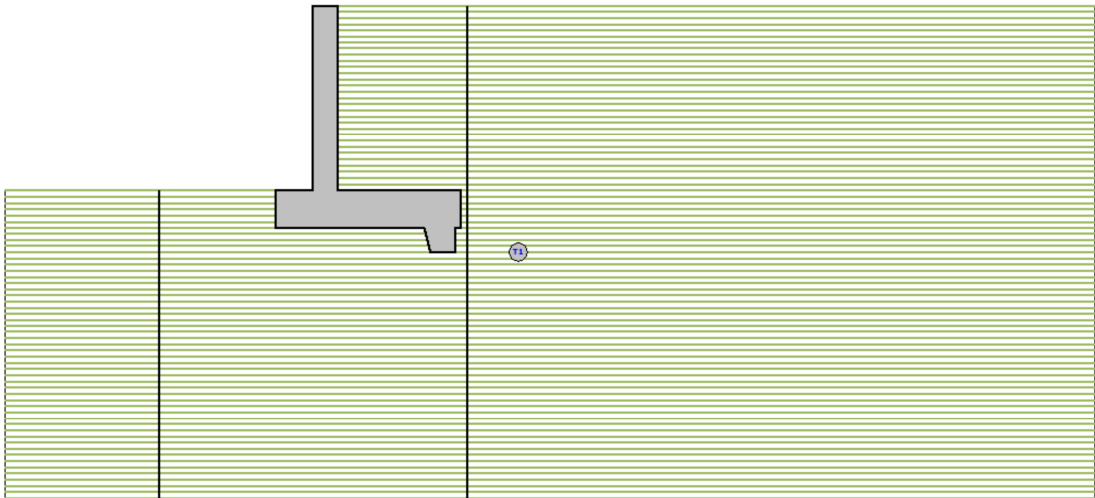
**Longitudine** Longitudine geografica del sito [gradi].

**Altitudine** Altitudine geografica del sito sul livello medio del mare [m].

## GEOMETRIA

Sezione 1		Geometria
-----------	--	-----------

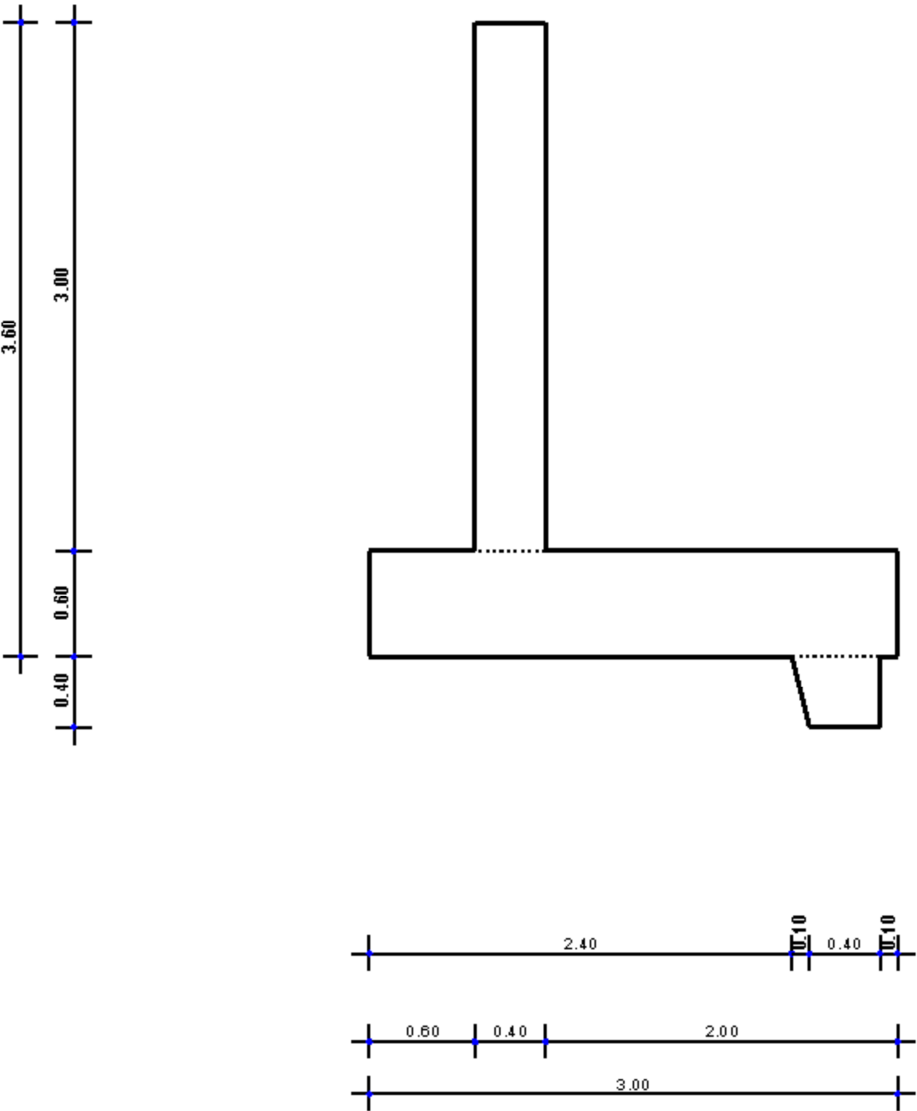
SEZIONE 1 - STRATI



Strato	Descrizione	Y	Y <sub>1</sub>	φ	Cu	C'
T1	Sabbia compatta (mida)	21000	22000	32.0°	0.00	0.00

GEOMETRIA

# SEZIONE 1 - SEZIONE



## CARICHI DISTRIBUITI SUL TERRAPIENO

Carichi distribuiti sul terrapieno								
Carico	CC	SR	Dis[i]	Qx[i]	Qz[i]	Dis[f]	Qx[f]	Qz[f]
			[m]	[N] / [N/m]	[N] / [N/m]	[m]	[N/m]	[N/m]
Sezione 1								
Terreno								

Carichi distribuiti sul terrapieno								
Carico	CC	SR	Dis[i] [m]	Qx[i] [N] / [N/m]	Qz[i] [N] / [N/m]	Dis[f] [m]	Qx[f] [N/m]	Qz[f] [N/m]
	Carico Verticale (Abitazioni)	G	0,40	0	5.000	7,32	0	5.000

## LEGENDA Carichi distribuiti sul terrapieno

<b>Carico</b>	Descrizione del carico
<b>CC</b>	Identificativo della condizione di carico, nella relativa tabella.
<b>SR</b>	Identificativo del sistema di riferimento considerato: [G] = Sistema di riferimento Globale X, Y, Z - [L] = Sistema di riferimento Locale 1, 2, 3.
<b>Dis[i]</b>	Distanza del punto iniziale del tratto interessato dal carico distribuito.
<b>Qx[i], Qz[i]</b>	Valore (nel punto iniziale) della forza distribuita riferita agli assi del sistema di riferimento indicato nella colonna "SR".
<b>Dis[f]</b>	Distanza del punto finale del tratto interessato dal carico distribuito.
<b>Qx[f], Qz[f]</b>	Valore (nel punto finale) della forza distribuita riferita agli assi del sistema di riferimento indicato nella colonna "SR".

## SPINTE SUL PARAMENTO ALLO SLU

SPINTE SUL PARAMENTO ALLO SLU							
Approccio	Stato limite	Sisma	Fx [N]	Fz [N]	Angolo [gradi]	PtApp [m]	
<b>Sezione 1</b>							
Approccio 1, Combinazione 1	Stato Limite di Resistenza della Struttura	NO	23.709	9.311	63	X: 0,40; Z: 1,00	
Approccio 1, Combinazione 1	Stato Limite di Resistenza della Struttura	NO	28.355	9.311	63	X: 0,40; Z: 1,00	
Approccio 1, Combinazione 1	Stato Limite di Resistenza della Struttura	NO	30.822	12.104	63	X: 0,40; Z: 1,00	
Approccio 1, Combinazione 1	Stato Limite di Resistenza della Struttura	NO	35.468	12.104	63	X: 0,40; Z: 1,00	
Approccio 1, Combinazione 1	Stato Limite di Resistenza della Struttura	SI	26.379	9.311	63	X: 0,40; Z: 2,00	
Approccio 1, Combinazione 2	Stato Limite di Resistenza del Terreno	NO	30.744	9.868	60	X: 0,40; Z: 1,00	
Approccio 1, Combinazione 2	Stato Limite di Resistenza del Terreno	NO	35.813	9.868	60	X: 0,40; Z: 1,00	
Approccio 1, Combinazione 2	Stato Limite di Resistenza del Terreno	NO	30.744	9.868	60	X: 0,40; Z: 1,00	
Approccio 1, Combinazione 2	Stato Limite di Resistenza del Terreno	NO	35.813	9.868	60	X: 0,40; Z: 1,00	
Approccio 1, Combinazione 2	Stato Limite di Resistenza del Terreno	SI	33.891	9.868	60	X: 0,40; Z: 2,00	
Approccio 1, Combinazione 2	Stato Limite di Equilibrio	NO	27.670	8.881	63	X: 0,40; Z: 1,00	
Approccio 1, Combinazione 2	Stato Limite di Equilibrio	NO	32.316	8.881	63	X: 0,40; Z: 1,00	
Approccio 1, Combinazione 2	Stato Limite di Equilibrio	NO	33.819	10.855	63	X: 0,40; Z: 1,00	
Approccio 1, Combinazione 2	Stato Limite di Equilibrio	NO	38.465	10.855	63	X: 0,40; Z: 1,00	
Approccio 1, Combinazione 2	Stato Limite di Equilibrio	SI	33.650	9.868	63	X: 0,40; Z: 2,00	

## LEGENDA Spinte sul paramento allo SLU

<b>Approccio</b>	Tipo di Approccio seguito.
<b>Stato limite</b>	Tipo di Stato Limite.
<b>Sisma</b>	Sisma agente nella Combinazione.
<b>Fx</b>	Spinta Orizzontale [N].
<b>Fy</b>	Spinta Verticale [N].
<b>Angolo</b>	Angolo della retta delimitante il cuneo di Spinta [gradi].
<b>PtApp</b>	Punto di applicazione della Spinta [m].

## SPINTE SUL CUNEO ALLO SLU

SPINTE SUL CUNEO ALLO SLU							
Approccio	Stato limite	Sisma	Fx [N]	Fz [N]	Angolo [gradi]	PtApp [m]	
<b>Sezione 1</b>							
Approccio 1, Combinazione 1	Stato Limite di Resistenza della Struttura	NO	42.149	16.552	63	X: 2,40; Z: 0,33	
Approccio 1, Combinazione 1	Stato Limite di Resistenza della Struttura	NO	46.859	16.552	63	X: 2,40; Z: 0,33	



SPINTE SUL CUNEO ALLO SLU						
Approccio	Stato limite	Sisma	Fx [N]	Fz [N]	Angolo [gradi]	PtApp [m]
Combinazione 1	Resistenza della Struttura					
Approccio 1, Combinazione 1	Stato Limite di Resistenza della Struttura	NO	54.794	21.518	63	X: 2,40; Z: 0,33
Approccio 1, Combinazione 1	Stato Limite di Resistenza della Struttura	NO	59.504	21.518	63	X: 2,40; Z: 0,33
Approccio 1, Combinazione 1	Stato Limite di Resistenza della Struttura	SI	46.168	16.552	63	X: 2,40; Z: 0,33
Approccio 1, Combinazione 2	Stato Limite di Resistenza del Terreno	NO	54.656	17.543	60	X: 2,40; Z: 0,33
Approccio 1, Combinazione 2	Stato Limite di Resistenza del Terreno	NO	59.795	17.543	60	X: 2,40; Z: 0,33
Approccio 1, Combinazione 2	Stato Limite di Resistenza del Terreno	NO	54.656	17.543	60	X: 2,40; Z: 0,33
Approccio 1, Combinazione 2	Stato Limite di Resistenza del Terreno	NO	59.795	17.543	60	X: 2,40; Z: 0,33
Approccio 1, Combinazione 2	Stato Limite di Resistenza del Terreno	SI	59.344	17.543	60	X: 2,40; Z: 0,33
Approccio 1, Combinazione 2	Stato Limite di Equilibrio	NO	49.191	15.789	63	X: 2,40; Z: 0,33
Approccio 1, Combinazione 2	Stato Limite di Equilibrio	NO	53.901	15.789	63	X: 2,40; Z: 0,33
Approccio 1, Combinazione 2	Stato Limite di Equilibrio	NO	60.122	19.298	63	X: 2,40; Z: 0,33
Approccio 1, Combinazione 2	Stato Limite di Equilibrio	NO	64.832	19.298	63	X: 2,40; Z: 0,33
Approccio 1, Combinazione 2	Stato Limite di Equilibrio	SI	59.100	17.543	63	X: 2,40; Z: 0,33

### LEGENDA Spinte sul cuneo allo SLU

<b>Approccio</b>	Tipo di Approccio seguito.
<b>Stato limite</b>	Tipo di Stato Limite.
<b>Sisma</b>	Sisma agente nella Combinazione.
<b>Fx</b>	Spinta Orizzontale [N].
<b>Fy</b>	Spinta Verticale [N].
<b>Angolo</b>	Angolo della retta delimitante il cuneo di Spinta [gradi].
<b>PtApp</b>	Punto di applicazione della Spinta [m].

### SPINTE SUL PARAMENTO ALLO SLE

SPINTE SUL PARAMENTO ALLO SLE						
Approccio	Stato limite	Sisma	Fx [N]	Fz [N]	Angolo [gradi]	PtApp [m]
<b>Sezione 1</b>						
Approccio 1, Combinazione 1	Stato Limite di Resistenza della Struttura	NO	26.807	9.311	63	X: 0,40; Z: 1,00
Approccio 1, Combinazione 1	Stato Limite di Resistenza della Struttura	NO	26.807	9.311	63	X: 0,40; Z: 1,00
Approccio 1, Combinazione 1	Stato Limite di Resistenza della Struttura	NO	25.258	9.311	63	X: 0,40; Z: 1,00
Approccio 1, Combinazione 1	Stato Limite di Resistenza della Struttura	NO	25.258	9.311	63	X: 0,40; Z: 1,00
Approccio 1, Combinazione 1	Stato Limite di Resistenza della Struttura	NO	24.638	9.311	63	X: 0,40; Z: 1,00
Approccio 1, Combinazione 1	Stato Limite di Resistenza della Struttura	NO	24.638	9.311	63	X: 0,40; Z: 1,00

### LEGENDA Spinte sul paramento allo SLE

<b>Approccio</b>	Tipo di Approccio seguito.
<b>Stato limite</b>	Tipo di Stato Limite.
<b>Sisma</b>	Sisma agente nella Combinazione.
<b>Fx</b>	Spinta Orizzontale [N].
<b>Fy</b>	Spinta Verticale [N].
<b>Angolo</b>	Angolo della retta delimitante il cuneo di Spinta [gradi].
<b>PtApp</b>	Punto di applicazione della Spinta [m].

## SPINTE SUL CUNEO ALLO SLE

SPINTE SUL CUNEO ALLO SLE						
Approccio	Stato limite	Sisma	Fx [N]	Fz [N]	Angolo [gradi]	PtApp [m]
<b>Sezione 1</b>						
Approccio 1, Combinazione 1	Stato Limite di Resistenza della Struttura	NO	45.289	16.552	63	X: 2,40; Z: 0,33
Approccio 1, Combinazione 1	Stato Limite di Resistenza della Struttura	NO	45.289	16.552	63	X: 2,40; Z: 0,33
Approccio 1, Combinazione 1	Stato Limite di Resistenza della Struttura	NO	43.719	16.552	63	X: 2,40; Z: 0,33
Approccio 1, Combinazione 1	Stato Limite di Resistenza della Struttura	NO	43.719	16.552	63	X: 2,40; Z: 0,33
Approccio 1, Combinazione 1	Stato Limite di Resistenza della Struttura	NO	43.091	16.552	63	X: 2,40; Z: 0,33
Approccio 1, Combinazione 1	Stato Limite di Resistenza della Struttura	NO	43.091	16.552	63	X: 2,40; Z: 0,33

### LEGENDA Spinte sul cuneo allo SLE

<b>Approccio</b>	Tipo di Approccio seguito.
<b>Stato limite</b>	Tipo di Stato Limite.
<b>Sisma</b>	Sisma agente nella Combinazione.
<b>Fx</b>	Spinta Orizzontale [N].
<b>Fy</b>	Spinta Verticale [N].
<b>Angolo</b>	Angolo della retta delimitante il cuneo di Spinta [gradi].
<b>PtApp</b>	Punto di applicazione della Spinta [m].

## SOLLECITAZIONI SUL PARAMENTO

SOLLECITAZIONI SUL PARAMENTO					
Approccio	Stato limite	Sisma	N [N]	My [Nm]	Tx [N]
<b>Sezione 1</b>					
<b>Sez. calcolo n.1 - Dis: 0.00</b>					
Approccio 1, Combinazione 1	Stato Limite di Resistenza della Struttura	NO	39009	-21140,00	-23709,00
Approccio 1, Combinazione 1	Stato Limite di Resistenza della Struttura	NO	39009	-28753,00	-28353,00
Approccio 1, Combinazione 1	Stato Limite di Resistenza della Struttura	NO	50714	-27485,00	-30823,00
Approccio 1, Combinazione 1	Stato Limite di Resistenza della Struttura	NO	50714	-35097,00	-35467,00
Approccio 1, Combinazione 1	Stato Limite di Resistenza della Struttura	SI	39009	-24728,00	-25685,00
Approccio 1, Combinazione 2	Stato Limite di Resistenza della Struttura	NO	39568	-27858,00	-30745,00
Approccio 1, Combinazione 2	Stato Limite di Resistenza della Struttura	NO	39568	-36176,00	-35818,00
Approccio 1, Combinazione 2	Stato Limite di Resistenza della Struttura	NO	39568	-27858,00	-30745,00
Approccio 1, Combinazione 2	Stato Limite di Resistenza della Struttura	NO	39568	-36176,00	-35818,00
Approccio 1, Combinazione 2	Stato Limite di Resistenza della Struttura	SI	39568	-32129,00	-33109,00
Approccio 1, Combinazione 1 (RARA)	Stato Limite di Esercizio	NO	39009	-26217,00	-26806,00
Approccio 1, Combinazione 1 (RARA)	Stato Limite di Esercizio	NO	39009	-26217,00	-26806,00
Approccio 1, Combinazione 1 (FRQ)	Stato Limite di Esercizio	NO	39009	-23679,00	-25257,00
Approccio 1, Combinazione 1 (FRQ)	Stato Limite di Esercizio	NO	39009	-23679,00	-25257,00
Approccio 1, Combinazione 1 (PRM)	Stato Limite di Esercizio	NO	39009	-23337,00	-24979,00

SOLLECITAZIONI SUL PARAMENTO					
Approccio	Stato limite	Sisma	N [N]	My [Nm]	Tx [N]
Approccio 1, Combinazione 1 (PRM)	Stato Limite di Esercizio	NO	39009	-22662,00	-24637,00
<b>Sez. calcolo n.2 - Dis: 0.37</b>					
Approccio 1, Combinazione 1	Stato Limite di Resistenza della Struttura	NO	32942	-14098,00	-17619,00
Approccio 1, Combinazione 1	Stato Limite di Resistenza della Struttura	NO	32942	-20090,00	-21801,00
Approccio 1, Combinazione 1	Stato Limite di Resistenza della Struttura	NO	42827	-18329,00	-22907,00
Approccio 1, Combinazione 1	Stato Limite di Resistenza della Struttura	NO	42827	-24321,00	-27089,00
Approccio 1, Combinazione 1	Stato Limite di Resistenza della Struttura	SI	32942	-16979,00	-19484,00
Approccio 1, Combinazione 2	Stato Limite di Resistenza della Struttura	NO	33359	-18612,00	-22848,00
Approccio 1, Combinazione 2	Stato Limite di Resistenza della Struttura	NO	33359	-25160,00	-27416,00
Approccio 1, Combinazione 2	Stato Limite di Resistenza della Struttura	NO	33359	-18612,00	-22848,00
Approccio 1, Combinazione 2	Stato Limite di Resistenza della Struttura	NO	33359	-25160,00	-27416,00
Approccio 1, Combinazione 2	Stato Limite di Resistenza della Struttura	SI	33359	-22038,00	-25073,00
Approccio 1, Combinazione 1 (RARA)	Stato Limite di Esercizio	NO	32942	-18094,00	-20408,00
Approccio 1, Combinazione 1 (RARA)	Stato Limite di Esercizio	NO	32942	-18094,00	-20408,00
Approccio 1, Combinazione 1 (FRQ)	Stato Limite di Esercizio	NO	32942	-16096,00	-19013,00
Approccio 1, Combinazione 1 (FRQ)	Stato Limite di Esercizio	NO	32942	-16096,00	-19013,00
Approccio 1, Combinazione 1 (PRM)	Stato Limite di Esercizio	NO	32942	-15846,00	-18791,00
Approccio 1, Combinazione 1 (PRM)	Stato Limite di Esercizio	NO	32942	-15296,00	-18455,00
<b>Sez. calcolo n.3 - Dis: 0.74</b>					
Approccio 1, Combinazione 1	Stato Limite di Resistenza della Struttura	NO	27707	-8727,00	-13644,00
Approccio 1, Combinazione 1	Stato Limite di Resistenza della Struttura	NO	27707	-13257,00	-17446,00
Approccio 1, Combinazione 1	Stato Limite di Resistenza della Struttura	NO	36021	-11347,00	-17739,00
Approccio 1, Combinazione 1	Stato Limite di Resistenza della Struttura	NO	36021	-15876,00	-21541,00
Approccio 1, Combinazione 1	Stato Limite di Resistenza della Struttura	SI	27707	-10945,00	-15393,00
Approccio 1, Combinazione 2	Stato Limite di Resistenza della Struttura	NO	28030	-11573,00	-17694,00
Approccio 1, Combinazione 2	Stato Limite di Resistenza della Struttura	NO	28030	-16523,00	-21847,00
Approccio 1, Combinazione 2	Stato Limite di Resistenza della Struttura	NO	28030	-11573,00	-17694,00
Approccio 1, Combinazione 2	Stato Limite di Resistenza della Struttura	NO	28030	-16523,00	-21847,00
Approccio 1, Combinazione 2	Stato Limite di Resistenza della Struttura	SI	28030	-14209,00	-19778,00
Approccio 1, Combinazione 1 (RARA)	Stato Limite di Esercizio	NO	27707	-11748,00	-16180,00

SOLLECITAZIONI SUL PARAMENTO					
Approccio	Stato limite	Sisma	N [N]	My [Nm]	Tx [N]
Approccio 1, Combinazione 1 (RARA)	Stato Limite di Esercizio	NO	27707	-11748,00	-16180,00
Approccio 1, Combinazione 1 (FRQ)	Stato Limite di Esercizio	NO	27707	-10238,00	-14912,00
Approccio 1, Combinazione 1 (FRQ)	Stato Limite di Esercizio	NO	27707	-10238,00	-14912,00
Approccio 1, Combinazione 1 (PRM)	Stato Limite di Esercizio	NO	27707	-10062,00	-14727,00
Approccio 1, Combinazione 1 (PRM)	Stato Limite di Esercizio	NO	27707	-9633,00	-14404,00
<b>Sez. calcolo n.4 - Dis: 1.10</b>					
Approccio 1, Combinazione 1	Stato Limite di Resistenza della Struttura	NO	22260	-5007,00	-9134,00
Approccio 1, Combinazione 1	Stato Limite di Resistenza della Struttura	NO	22260	-8249,00	-12382,00
Approccio 1, Combinazione 1	Stato Limite di Resistenza della Struttura	NO	28940	-6510,00	-11875,00
Approccio 1, Combinazione 1	Stato Limite di Resistenza della Struttura	NO	28940	-9752,00	-15123,00
Approccio 1, Combinazione 1	Stato Limite di Resistenza della Struttura	SI	22260	-6621,00	-10682,00
Approccio 1, Combinazione 2	Stato Limite di Resistenza della Struttura	NO	22477	-6664,00	-11844,00
Approccio 1, Combinazione 2	Stato Limite di Resistenza della Struttura	NO	22477	-10208,00	-15392,00
Approccio 1, Combinazione 2	Stato Limite di Resistenza della Struttura	NO	22477	-6664,00	-11844,00
Approccio 1, Combinazione 2	Stato Limite di Resistenza della Struttura	NO	22477	-10208,00	-15392,00
Approccio 1, Combinazione 2	Stato Limite di Resistenza della Struttura	SI	22477	-8581,00	-13686,00
Approccio 1, Combinazione 1 (RARA)	Stato Limite di Esercizio	NO	22260	-7169,00	-11300,00
Approccio 1, Combinazione 1 (RARA)	Stato Limite di Esercizio	NO	22260	-7169,00	-11300,00
Approccio 1, Combinazione 1 (FRQ)	Stato Limite di Esercizio	NO	22260	-6088,00	-10217,00
Approccio 1, Combinazione 1 (FRQ)	Stato Limite di Esercizio	NO	22260	-6088,00	-10217,00
Approccio 1, Combinazione 1 (PRM)	Stato Limite di Esercizio	NO	22260	-5971,00	-10076,00
Approccio 1, Combinazione 1 (PRM)	Stato Limite di Esercizio	NO	22260	-5655,00	-9783,00
<b>Sez. calcolo n.5 - Dis: 1.47</b>					
Approccio 1, Combinazione 1	Stato Limite di Resistenza della Struttura	NO	17490	-2459,00	-6343,00
Approccio 1, Combinazione 1	Stato Limite di Resistenza della Struttura	NO	17490	-4601,00	-9138,00
Approccio 1, Combinazione 1	Stato Limite di Resistenza della Struttura	NO	22738	-3198,00	-8247,00
Approccio 1, Combinazione 1	Stato Limite di Resistenza della Struttura	NO	22738	-5339,00	-11042,00
Approccio 1, Combinazione 1	Stato Limite di Resistenza della Struttura	SI	17490	-3542,00	-7707,00
Approccio 1, Combinazione 2	Stato Limite di Resistenza della Struttura	NO	17640	-3309,00	-8226,00
Approccio 1, Combinazione 2	Stato Limite di Resistenza della Struttura	NO	17640	-5650,00	-11279,00
Approccio 1, Combinazione 2	Stato Limite di Resistenza della Struttura	NO	17640	-3309,00	-8226,00

SOLLECITAZIONI SUL PARAMENTO					
Approccio	Stato limite	Sisma	N [N]	My [Nm]	Tx [N]
Approccio 1, Combinazione 2	Stato Limite di Resistenza della Struttura	NO	17640	-5650,00	-11279,00
Approccio 1, Combinazione 2	Stato Limite di Resistenza della Struttura	SI	17640	-4593,00	-9846,00
Approccio 1, Combinazione 1 (RARA)	Stato Limite di Esercizio	NO	17490	-3887,00	-8207,00
Approccio 1, Combinazione 1 (RARA)	Stato Limite di Esercizio	NO	17490	-3887,00	-8207,00
Approccio 1, Combinazione 1 (FRQ)	Stato Limite di Esercizio	NO	17490	-3174,00	-7275,00
Approccio 1, Combinazione 1 (FRQ)	Stato Limite di Esercizio	NO	17490	-3174,00	-7275,00
Approccio 1, Combinazione 1 (PRM)	Stato Limite di Esercizio	NO	17490	-3102,00	-7165,00
Approccio 1, Combinazione 1 (PRM)	Stato Limite di Esercizio	NO	17490	-2888,00	-6902,00
<b>Sez. calcolo n.6 - Dis: 1.84</b>					
Approccio 1, Combinazione 1	Stato Limite di Resistenza della Struttura	NO	12663	-1012,00	-3411,00
Approccio 1, Combinazione 1	Stato Limite di Resistenza della Struttura	NO	12663	-2263,00	-5549,00
Approccio 1, Combinazione 1	Stato Limite di Resistenza della Struttura	NO	16464	-1315,00	-4435,00
Approccio 1, Combinazione 1	Stato Limite di Resistenza della Struttura	NO	16464	-2567,00	-6573,00
Approccio 1, Combinazione 1	Stato Limite di Resistenza della Struttura	SI	12663	-1653,00	-4483,00
Approccio 1, Combinazione 2	Stato Limite di Resistenza della Struttura	NO	12745	-1376,00	-4424,00
Approccio 1, Combinazione 2	Stato Limite di Resistenza della Struttura	NO	12745	-2746,00	-6760,00
Approccio 1, Combinazione 2	Stato Limite di Resistenza della Struttura	NO	12745	-1376,00	-4424,00
Approccio 1, Combinazione 2	Stato Limite di Resistenza della Struttura	NO	12745	-2746,00	-6760,00
Approccio 1, Combinazione 2	Stato Limite di Resistenza della Struttura	SI	12745	-2137,00	-5696,00
Approccio 1, Combinazione 1 (RARA)	Stato Limite di Esercizio	NO	12663	-1846,00	-4837,00
Approccio 1, Combinazione 1 (RARA)	Stato Limite di Esercizio	NO	12663	-1846,00	-4837,00
Approccio 1, Combinazione 1 (FRQ)	Stato Limite di Esercizio	NO	12663	-1429,00	-4124,00
Approccio 1, Combinazione 1 (FRQ)	Stato Limite di Esercizio	NO	12663	-1429,00	-4124,00
Approccio 1, Combinazione 1 (PRM)	Stato Limite di Esercizio	NO	12663	-1390,00	-4050,00
Approccio 1, Combinazione 1 (PRM)	Stato Limite di Esercizio	NO	12663	-1262,00	-3839,00
<b>Sez. calcolo n.7 - Dis: 2.21</b>					
Approccio 1, Combinazione 1	Stato Limite di Resistenza della Struttura	NO	8192	-284,00	-1381,00
Approccio 1, Combinazione 1	Stato Limite di Resistenza della Struttura	NO	8192	-868,00	-2799,00
Approccio 1, Combinazione 1	Stato Limite di Resistenza della Struttura	NO	10650	-370,00	-1796,00
Approccio 1, Combinazione 1	Stato Limite di Resistenza della Struttura	NO	10650	-953,00	-3214,00
Approccio 1, Combinazione 1	Stato Limite di Resistenza della Struttura	SI	8192	-587,00	-2109,00
Approccio 1, Combinazione 2	Stato Limite di Resistenza della Struttura	NO	8226	-395,00	-1792,00

SOLLECITAZIONI SUL PARAMENTO					
Approccio	Stato limite	Sisma	N [N]	My [Nm]	Tx [N]
Approccio 1, Combinazione 2	Resistenza della Struttura Stato Limite di Resistenza della Struttura	NO	8226	-1034,00	-3342,00
Approccio 1, Combinazione 2	Stato Limite di Resistenza della Struttura	NO	8226	-395,00	-1792,00
Approccio 1, Combinazione 2	Stato Limite di Resistenza della Struttura	NO	8226	-1034,00	-3342,00
Approccio 1, Combinazione 2	Stato Limite di Resistenza della Struttura	SI	8226	-754,00	-2656,00
Approccio 1, Combinazione 1 (RARA)	Stato Limite di Esercizio	NO	8192	-673,00	-2327,00
Approccio 1, Combinazione 1 (RARA)	Stato Limite di Esercizio	NO	8192	-673,00	-2327,00
Approccio 1, Combinazione 1 (FRQ)	Stato Limite di Esercizio	NO	8192	-479,00	-1854,00
Approccio 1, Combinazione 1 (FRQ)	Stato Limite di Esercizio	NO	8192	-479,00	-1854,00
Approccio 1, Combinazione 1 (PRM)	Stato Limite di Esercizio	NO	8192	-462,00	-1810,00
Approccio 1, Combinazione 1 (PRM)	Stato Limite di Esercizio	NO	8192	-401,00	-1665,00
<b>Sez. calcolo n.8 - Dis: 2.57</b>					
Approccio 1, Combinazione 1	Stato Limite di Resistenza della Struttura	NO	4151	-21,00	-451,00
Approccio 1, Combinazione 1	Stato Limite di Resistenza della Struttura	NO	4151	-183,00	-1287,00
Approccio 1, Combinazione 1	Stato Limite di Resistenza della Struttura	NO	5398	-28,00	-587,00
Approccio 1, Combinazione 1	Stato Limite di Resistenza della Struttura	NO	5398	-189,00	-1423,00
Approccio 1, Combinazione 1	Stato Limite di Resistenza della Struttura	SI	4151	-106,00	-887,00
Approccio 1, Combinazione 2	Stato Limite di Resistenza della Struttura	NO	4163	-36,00	-586,00
Approccio 1, Combinazione 2	Stato Limite di Resistenza della Struttura	NO	4163	-214,00	-1501,00
Approccio 1, Combinazione 2	Stato Limite di Resistenza della Struttura	NO	4163	-36,00	-586,00
Approccio 1, Combinazione 2	Stato Limite di Resistenza della Struttura	NO	4163	-214,00	-1501,00
Approccio 1, Combinazione 2	Stato Limite di Resistenza della Struttura	SI	4163	-137,00	-1102,00
Approccio 1, Combinazione 1 (RARA)	Stato Limite di Esercizio	NO	4151	-129,00	-1008,00
Approccio 1, Combinazione 1 (RARA)	Stato Limite di Esercizio	NO	4151	-129,00	-1008,00
Approccio 1, Combinazione 1 (FRQ)	Stato Limite di Esercizio	NO	4151	-75,00	-730,00
Approccio 1, Combinazione 1 (FRQ)	Stato Limite di Esercizio	NO	4151	-75,00	-730,00
Approccio 1, Combinazione 1 (PRM)	Stato Limite di Esercizio	NO	4151	-71,00	-706,00
Approccio 1, Combinazione 1 (PRM)	Stato Limite di Esercizio	NO	4151	-54,00	-618,00
<b>Sez. calcolo n.9 - Dis: 2.94</b>					
Approccio 1, Combinazione 1	Stato Limite di Resistenza della Struttura	NO	300	0,00	0,00
Approccio 1, Combinazione 1	Stato Limite di Resistenza della Struttura	NO	300	0,00	0,00
Approccio 1, Combinazione 1	Stato Limite di Resistenza della Struttura	NO	390	0,00	0,00

SOLLECITAZIONI SUL PARAMENTO					
Approccio	Stato limite	Sisma	N	My	Tx
			[N]	[Nm]	[N]
Approccio 1, Combinazione 1	Struttura Stato Limite di Resistenza della	NO	390	0,00	0,00
Approccio 1, Combinazione 1	Struttura Stato Limite di Resistenza della	SI	300	0,00	0,00
Approccio 1, Combinazione 2	Struttura Stato Limite di Resistenza della	NO	300	0,00	0,00
Approccio 1, Combinazione 2	Struttura Stato Limite di Resistenza della	NO	300	0,00	-4,00
Approccio 1, Combinazione 2	Struttura Stato Limite di Resistenza della	NO	300	0,00	0,00
Approccio 1, Combinazione 2	Struttura Stato Limite di Resistenza della	NO	300	0,00	-4,00
Approccio 1, Combinazione 2	Struttura Stato Limite di Resistenza della	SI	300	0,00	-1,00
Approccio 1, Combinazione 1 (RARA)	Stato Limite di Esercizio	NO	300	0,00	0,00
Approccio 1, Combinazione 1 (RARA)	Stato Limite di Esercizio	NO	300	0,00	0,00
Approccio 1, Combinazione 1 (FRQ)	Stato Limite di Esercizio	NO	300	0,00	0,00
Approccio 1, Combinazione 1 (FRQ)	Stato Limite di Esercizio	NO	300	0,00	0,00
Approccio 1, Combinazione 1 (PRM)	Stato Limite di Esercizio	NO	300	0,00	0,00
Approccio 1, Combinazione 1 (PRM)	Stato Limite di Esercizio	NO	300	0,00	0,00

## LEGENDA Sollecitazioni sul Paramento

<b>Approccio</b>	Tipo di Approccio seguito.
<b>Stato limite</b>	Tipo di Stato Limite.
<b>Sisma</b>	Sisma agente nella Combinazione.
<b>N</b>	Sforzo Normale [N].
<b>My</b>	Vettore Momento ortogonale al piano dell'elemento [Nm].
<b>Tx</b>	Taglio orizzontale nel piano dell'elemento [N].

## SOLLECITAZIONI SULLA FONDAZIONE

SOLLECITAZIONI SULLA FONDAZIONE					
Approccio	Stato limite	Sisma	N	My	Tx
			[N]	[Nm]	[N]
<b>Sezione 1</b>					
<b>Sez. calcolo n.10 - Dis: 0.00(Valle)</b>					
Approccio 1, Combinazione 1	Stato Limite di Resistenza della	NO	0	-6318,00	-1640,00
Approccio 1, Combinazione 1	Struttura Stato Limite di Resistenza della	NO	0	-6563,00	-1853,00
Approccio 1, Combinazione 1	Struttura Stato Limite di Resistenza della	NO	0	-8214,00	-2132,00
Approccio 1, Combinazione 1	Struttura Stato Limite di Resistenza della	NO	0	-8460,00	-2345,00
Approccio 1, Combinazione 1	Struttura Stato Limite di Resistenza della	SI	0	-6422,00	-1738,00
Approccio 1, Combinazione 2	Struttura Stato Limite di Resistenza della	NO	0	-8189,00	-1889,00
Approccio 1, Combinazione 2	Struttura Stato Limite di Resistenza della	NO	0	-8458,00	-2121,00
Approccio 1, Combinazione 2	Struttura Stato Limite di Resistenza della	NO	0	-8189,00	-1889,00
Approccio 1, Combinazione 2	Struttura Stato Limite di Resistenza della	NO	0	-8458,00	-2121,00
Approccio 1, Combinazione 2	Struttura Stato Limite di Resistenza della	SI	0	-8314,00	-2005,00

SOLLECITAZIONI SULLA FONDAZIONE					
Approccio	Stato limite	Sisma	N [N]	My [Nm]	Tx [N]
	Struttura				
Approccio 1, Combinazione 1 (RARA)	Stato Limite di Esercizio	NO	0	-6479,00	-1640,00
Approccio 1, Combinazione 1 (RARA)	Stato Limite di Esercizio	NO	0	-6482,00	-1853,00
Approccio 1, Combinazione 1 (FRQ)	Stato Limite di Esercizio	NO	0	-6407,00	-2267,00
Approccio 1, Combinazione 1 (FRQ)	Stato Limite di Esercizio	NO	0	-6411,00	-2480,00
Approccio 1, Combinazione 1 (PRM)	Stato Limite di Esercizio	NO	0	-6386,00	-1738,00
Approccio 1, Combinazione 1 (PRM)	Stato Limite di Esercizio	NO	0	-6370,00	-1889,00
<b>Sez. calcolo n.11 - Dis: 0.07(Valle)</b>					
Approccio 1, Combinazione 1	Stato Limite di Resistenza della Struttura	NO	0	-6553,00	-5334,00
Approccio 1, Combinazione 1	Stato Limite di Resistenza della Struttura	NO	0	-6829,00	-6022,00
Approccio 1, Combinazione 1	Stato Limite di Resistenza della Struttura	NO	0	-8520,00	-6936,00
Approccio 1, Combinazione 1	Stato Limite di Resistenza della Struttura	NO	0	-8796,00	-7623,00
Approccio 1, Combinazione 1	Stato Limite di Resistenza della Struttura	SI	0	-6671,00	-5645,00
Approccio 1, Combinazione 2	Stato Limite di Resistenza della Struttura	NO	0	-8460,00	-6124,00
Approccio 1, Combinazione 2	Stato Limite di Resistenza della Struttura	NO	0	-8761,00	-6871,00
Approccio 1, Combinazione 2	Stato Limite di Resistenza della Struttura	NO	0	-8460,00	-6124,00
Approccio 1, Combinazione 2	Stato Limite di Resistenza della Struttura	NO	0	-8761,00	-6871,00
Approccio 1, Combinazione 2	Stato Limite di Resistenza della Struttura	SI	0	-8601,00	-6494,00
Approccio 1, Combinazione 1 (RARA)	Stato Limite di Esercizio	NO	0	-6714,00	-5334,00
Approccio 1, Combinazione 1 (RARA)	Stato Limite di Esercizio	NO	0	-6748,00	-6022,00
Approccio 1, Combinazione 1 (FRQ)	Stato Limite di Esercizio	NO	0	-6733,00	-7374,00
Approccio 1, Combinazione 1 (FRQ)	Stato Limite di Esercizio	NO	0	-6766,00	-8061,00
Approccio 1, Combinazione 1 (PRM)	Stato Limite di Esercizio	NO	0	-6635,00	-5645,00
Approccio 1, Combinazione 1 (PRM)	Stato Limite di Esercizio	NO	0	-6640,00	-6124,00
<b>Sez. calcolo n.12 - Dis: 0.14(Valle)</b>					
Approccio 1, Combinazione 1	Stato Limite di Resistenza della Struttura	NO	0	-7038,00	-9034,00
Approccio 1, Combinazione 1	Stato Limite di Resistenza della Struttura	NO	0	-7376,00	-10190,00
Approccio 1, Combinazione 1	Stato Limite di Resistenza della Struttura	NO	0	-9151,00	-11746,00
Approccio 1, Combinazione 1	Stato Limite di Resistenza della Struttura	NO	0	-9489,00	-12901,00
Approccio 1, Combinazione 1	Stato Limite di Resistenza della Struttura	SI	0	-7184,00	-9553,00
Approccio 1, Combinazione 2	Stato Limite di Resistenza della Struttura	NO	0	-9015,00	-10341,00
Approccio 1, Combinazione 2	Stato Limite di Resistenza della Struttura	NO	0	-9385,00	-11593,00



SOLLECITAZIONI SULLA FONDAZIONE					
Approccio	Stato limite	Sisma	N	My	Tx
			[N]	[Nm]	[N]
Approccio 1, Combinazione 2	Stato Limite di Resistenza della Struttura	NO	0	-9015,00	-10341,00
Approccio 1, Combinazione 2	Stato Limite di Resistenza della Struttura	NO	0	-9385,00	-11593,00
Approccio 1, Combinazione 2	Stato Limite di Resistenza della Struttura	SI	0	-9190,00	-10957,00
Approccio 1, Combinazione 1 (RARA)	Stato Limite di Esercizio	NO	0	-7199,00	-9034,00
Approccio 1, Combinazione 1 (RARA)	Stato Limite di Esercizio	NO	0	-7295,00	-10190,00
Approccio 1, Combinazione 1 (FRQ)	Stato Limite di Esercizio	NO	0	-7403,00	-12488,00
Approccio 1, Combinazione 1 (FRQ)	Stato Limite di Esercizio	NO	0	-7499,00	-13643,00
Approccio 1, Combinazione 1 (PRM)	Stato Limite di Esercizio	NO	0	-7148,00	-9553,00
Approccio 1, Combinazione 1 (PRM)	Stato Limite di Esercizio	NO	0	-7196,00	-10341,00
<b>Sez. calcolo n.13 - Dis: 0.20(Valle)</b>					
Approccio 1, Combinazione 1	Stato Limite di Resistenza della Struttura	NO	0	-7773,00	-12740,00
Approccio 1, Combinazione 1	Stato Limite di Resistenza della Struttura	NO	0	-8205,00	-14357,00
Approccio 1, Combinazione 1	Stato Limite di Resistenza della Struttura	NO	0	-10106,00	-16562,00
Approccio 1, Combinazione 1	Stato Limite di Resistenza della Struttura	NO	0	-10538,00	-18179,00
Approccio 1, Combinazione 1	Stato Limite di Resistenza della Struttura	SI	0	-7961,00	-13458,00
Approccio 1, Combinazione 2	Stato Limite di Resistenza della Struttura	NO	0	-9855,00	-14538,00
Approccio 1, Combinazione 2	Stato Limite di Resistenza della Struttura	NO	0	-10326,00	-16285,00
Approccio 1, Combinazione 2	Stato Limite di Resistenza della Struttura	NO	0	-9855,00	-14538,00
Approccio 1, Combinazione 2	Stato Limite di Resistenza della Struttura	NO	0	-10326,00	-16285,00
Approccio 1, Combinazione 2	Stato Limite di Resistenza della Struttura	SI	0	-10080,00	-15391,00
Approccio 1, Combinazione 1 (RARA)	Stato Limite di Esercizio	NO	0	-7934,00	-12740,00
Approccio 1, Combinazione 1 (RARA)	Stato Limite di Esercizio	NO	0	-8124,00	-14357,00
Approccio 1, Combinazione 1 (FRQ)	Stato Limite di Esercizio	NO	0	-8419,00	-17609,00
Approccio 1, Combinazione 1 (FRQ)	Stato Limite di Esercizio	NO	0	-8608,00	-19226,00
Approccio 1, Combinazione 1 (PRM)	Stato Limite di Esercizio	NO	0	-7925,00	-13458,00
Approccio 1, Combinazione 1 (PRM)	Stato Limite di Esercizio	NO	0	-8036,00	-14538,00
<b>Sez. calcolo n.14 - Dis: 0.27(Valle)</b>					
Approccio 1, Combinazione 1	Stato Limite di Resistenza della Struttura	NO	0	-8758,00	-16450,00
Approccio 1, Combinazione 1	Stato Limite di Resistenza della Struttura	NO	0	-9314,00	-18522,00
Approccio 1, Combinazione 1	Stato Limite di Resistenza della Struttura	NO	0	-11387,00	-21386,00
Approccio 1, Combinazione 1	Stato Limite di Resistenza della Struttura	NO	0	-11943,00	-23458,00
Approccio 1, Combinazione 1	Stato Limite di Resistenza della Struttura	SI	0	-9001,00	-17361,00

SOLLECITAZIONI SULLA FONDAZIONE					
Approccio	Stato limite	Sisma	N [N]	My [Nm]	Tx [N]
Approccio 1, Combinazione 2	Resistenza della Struttura Stato Limite di Resistenza della Struttura	NO	0	-10978,00	-18716,00
Approccio 1, Combinazione 2	Stato Limite di Resistenza della Struttura	NO	0	-11583,00	-20946,00
Approccio 1, Combinazione 2	Stato Limite di Resistenza della Struttura	NO	0	-10978,00	-18716,00
Approccio 1, Combinazione 2	Stato Limite di Resistenza della Struttura	NO	0	-11583,00	-20946,00
Approccio 1, Combinazione 2	Stato Limite di Resistenza della Struttura	SI	0	-11267,00	-19796,00
Approccio 1, Combinazione 1 (RARA)	Stato Limite di Esercizio	NO	0	-8919,00	-16450,00
Approccio 1, Combinazione 1 (RARA)	Stato Limite di Esercizio	NO	0	-9233,00	-18522,00
Approccio 1, Combinazione 1 (FRQ)	Stato Limite di Esercizio	NO	0	-9780,00	-22736,00
Approccio 1, Combinazione 1 (FRQ)	Stato Limite di Esercizio	NO	0	-10094,00	-24808,00
Approccio 1, Combinazione 1 (PRM)	Stato Limite di Esercizio	NO	0	-8965,00	-17361,00
Approccio 1, Combinazione 1 (PRM)	Stato Limite di Esercizio	NO	0	-9158,00	-18716,00
<b>Sez. calcolo n.15 - Dis: 0.34(Valle)</b>					
Approccio 1, Combinazione 1	Stato Limite di Resistenza della Struttura	NO	0	-9994,00	-20166,00
Approccio 1, Combinazione 1	Stato Limite di Resistenza della Struttura	NO	0	-10705,00	-22687,00
Approccio 1, Combinazione 1	Stato Limite di Resistenza della Struttura	NO	0	-12993,00	-26216,00
Approccio 1, Combinazione 1	Stato Limite di Resistenza della Struttura	NO	0	-13705,00	-28737,00
Approccio 1, Combinazione 1	Stato Limite di Resistenza della Struttura	SI	0	-10304,00	-21264,00
Approccio 1, Combinazione 2	Stato Limite di Resistenza della Struttura	NO	0	-12381,00	-22875,00
Approccio 1, Combinazione 2	Stato Limite di Resistenza della Struttura	NO	0	-13153,00	-25578,00
Approccio 1, Combinazione 2	Stato Limite di Resistenza della Struttura	NO	0	-12381,00	-22875,00
Approccio 1, Combinazione 2	Stato Limite di Resistenza della Struttura	NO	0	-13153,00	-25578,00
Approccio 1, Combinazione 2	Stato Limite di Resistenza della Struttura	SI	0	-12752,00	-24175,00
Approccio 1, Combinazione 1 (RARA)	Stato Limite di Esercizio	NO	0	-10155,00	-20166,00
Approccio 1, Combinazione 1 (RARA)	Stato Limite di Esercizio	NO	0	-10624,00	-22687,00
Approccio 1, Combinazione 1 (FRQ)	Stato Limite di Esercizio	NO	0	-11488,00	-27870,00
Approccio 1, Combinazione 1 (FRQ)	Stato Limite di Esercizio	NO	0	-11957,00	-30391,00
Approccio 1, Combinazione 1 (PRM)	Stato Limite di Esercizio	NO	0	-10268,00	-21264,00
Approccio 1, Combinazione 1 (PRM)	Stato Limite di Esercizio	NO	0	-10562,00	-22875,00
<b>Sez. calcolo n.16 - Dis: 0.41(Valle)</b>					
Approccio 1, Combinazione 1	Stato Limite di Resistenza della Struttura	NO	0	-11480,00	-23886,00
Approccio 1, Combinazione 1	Stato Limite di Resistenza della	NO	0	-12377,00	-26849,00

SOLLECITAZIONI SULLA FONDAZIONE					
Approccio	Stato limite	Sisma	N [N]	My [Nm]	Tx [N]
Approccio 1, Combinazione 1	Struttura Stato Limite di Resistenza della	NO	0	-14926,00	-31054,00
Approccio 1, Combinazione 1	Struttura Stato Limite di Resistenza della	NO	0	-15823,00	-34017,00
Approccio 1, Combinazione 1	Struttura Stato Limite di Resistenza della	SI	0	-11871,00	-25164,00
Approccio 1, Combinazione 2	Struttura Stato Limite di Resistenza della	NO	0	-14065,00	-27013,00
Approccio 1, Combinazione 2	Struttura Stato Limite di Resistenza della	NO	0	-15035,00	-30180,00
Approccio 1, Combinazione 2	Struttura Stato Limite di Resistenza della	NO	0	-14065,00	-27013,00
Approccio 1, Combinazione 2	Struttura Stato Limite di Resistenza della	NO	0	-15035,00	-30180,00
Approccio 1, Combinazione 2	Struttura Stato Limite di Resistenza della	SI	0	-14530,00	-28524,00
Approccio 1, Combinazione 1 (RARA)	Stato Limite di Esercizio	NO	0	-11642,00	-23886,00
Approccio 1, Combinazione 1 (RARA)	Stato Limite di Esercizio	NO	0	-12296,00	-26849,00
Approccio 1, Combinazione 1 (FRQ)	Stato Limite di Esercizio	NO	0	-13543,00	-33011,00
Approccio 1, Combinazione 1 (FRQ)	Stato Limite di Esercizio	NO	0	-14197,00	-35974,00
Approccio 1, Combinazione 1 (PRM)	Stato Limite di Esercizio	NO	0	-11835,00	-25164,00
Approccio 1, Combinazione 1 (PRM)	Stato Limite di Esercizio	NO	0	-12246,00	-27013,00
<b>Sez. calcolo n.17 - Dis: 0.47(Valle)</b>					
Approccio 1, Combinazione 1	Stato Limite di Resistenza della	NO	0	-13218,00	-27612,00
Approccio 1, Combinazione 1	Struttura Stato Limite di Resistenza della	NO	0	-14330,00	-31011,00
Approccio 1, Combinazione 1	Struttura Stato Limite di Resistenza della	NO	0	-17186,00	-35898,00
Approccio 1, Combinazione 1	Struttura Stato Limite di Resistenza della	NO	0	-18297,00	-39297,00
Approccio 1, Combinazione 1	Struttura Stato Limite di Resistenza della	SI	0	-13701,00	-29062,00
Approccio 1, Combinazione 2	Struttura Stato Limite di Resistenza della	NO	0	-16028,00	-31133,00
Approccio 1, Combinazione 2	Struttura Stato Limite di Resistenza della	NO	0	-17226,00	-34752,00
Approccio 1, Combinazione 2	Struttura Stato Limite di Resistenza della	NO	0	-16028,00	-31133,00
Approccio 1, Combinazione 2	Struttura Stato Limite di Resistenza della	NO	0	-17226,00	-34752,00
Approccio 1, Combinazione 2	Struttura Stato Limite di Resistenza della	SI	0	-16602,00	-32845,00
Approccio 1, Combinazione 1 (RARA)	Stato Limite di Esercizio	NO	0	-13380,00	-27612,00
Approccio 1, Combinazione 1 (RARA)	Stato Limite di Esercizio	NO	0	-14249,00	-31011,00
Approccio 1, Combinazione 1 (FRQ)	Stato Limite di Esercizio	NO	0	-15945,00	-38159,00
Approccio 1, Combinazione 1 (FRQ)	Stato Limite di Esercizio	NO	0	-16814,00	-41558,00
Approccio 1, Combinazione 1 (PRM)	Stato Limite di Esercizio	NO	0	-13665,00	-29062,00

SOLLECITAZIONI SULLA FONDAZIONE					
Approccio	Stato limite	Sisma	N	My	Tx
			[N]	[Nm]	[N]
Approccio 1, Combinazione 1 (PRM)	Stato Limite di Esercizio	NO	0	-14209,00	-31133,00
<b>Sez. calcolo n.18 - Dis: 0.54(Valle)</b>					
Approccio 1, Combinazione 1	Stato Limite di Resistenza della Struttura	NO	0	-15208,00	-31344,00
Approccio 1, Combinazione 1	Stato Limite di Resistenza della Struttura	NO	0	-16563,00	-35172,00
Approccio 1, Combinazione 1	Stato Limite di Resistenza della Struttura	NO	0	-19772,00	-40749,00
Approccio 1, Combinazione 1	Stato Limite di Resistenza della Struttura	NO	0	-21128,00	-44577,00
Approccio 1, Combinazione 1	Stato Limite di Resistenza della Struttura	SI	0	-15795,00	-32959,00
Approccio 1, Combinazione 2	Stato Limite di Resistenza della Struttura	NO	0	-18268,00	-35234,00
Approccio 1, Combinazione 2	Stato Limite di Resistenza della Struttura	NO	0	-19726,00	-39294,00
Approccio 1, Combinazione 2	Stato Limite di Resistenza della Struttura	NO	0	-18268,00	-35234,00
Approccio 1, Combinazione 2	Stato Limite di Resistenza della Struttura	NO	0	-19726,00	-39294,00
Approccio 1, Combinazione 2	Stato Limite di Resistenza della Struttura	SI	0	-18964,00	-37139,00
Approccio 1, Combinazione 1 (RARA)	Stato Limite di Esercizio	NO	0	-15370,00	-31344,00
Approccio 1, Combinazione 1 (RARA)	Stato Limite di Esercizio	NO	0	-16482,00	-35172,00
Approccio 1, Combinazione 1 (FRQ)	Stato Limite di Esercizio	NO	0	-18695,00	-43314,00
Approccio 1, Combinazione 1 (FRQ)	Stato Limite di Esercizio	NO	0	-19808,00	-47142,00
Approccio 1, Combinazione 1 (PRM)	Stato Limite di Esercizio	NO	0	-15759,00	-32959,00
Approccio 1, Combinazione 1 (PRM)	Stato Limite di Esercizio	NO	0	-16449,00	-35234,00
<b>Sez. calcolo n.19 - Dis: 0.00(Monte)</b>					
Approccio 1, Combinazione 1	Stato Limite di Resistenza della Struttura	NO	0	17184,00	13725,00
Approccio 1, Combinazione 1	Stato Limite di Resistenza della Struttura	NO	0	24586,00	20308,00
Approccio 1, Combinazione 1	Stato Limite di Resistenza della Struttura	NO	0	22342,00	17843,00
Approccio 1, Combinazione 1	Stato Limite di Resistenza della Struttura	NO	0	29745,00	24426,00
Approccio 1, Combinazione 1	Stato Limite di Resistenza della Struttura	SI	0	20727,00	16287,00
Approccio 1, Combinazione 2	Stato Limite di Resistenza della Struttura	NO	0	27356,00	18666,00
Approccio 1, Combinazione 2	Stato Limite di Resistenza della Struttura	NO	0	35580,00	25459,00
Approccio 1, Combinazione 2	Stato Limite di Resistenza della Struttura	NO	0	27356,00	18666,00
Approccio 1, Combinazione 2	Stato Limite di Resistenza della Struttura	NO	0	35580,00	25459,00
Approccio 1, Combinazione 2	Stato Limite di Resistenza della Struttura	SI	0	31603,00	21651,00
Approccio 1, Combinazione 1 (RARA)	Stato Limite di Esercizio	NO	0	27046,00	23725,00

SOLLECITAZIONI SULLA FONDAZIONE					
Approccio	Stato limite	Sisma	N	My	Tx
			[N]	[Nm]	[N]
Approccio 1, Combinazione 1 (RARA)	Stato Limite di Esercizio	NO	0	19655,00	15308,00
Approccio 1, Combinazione 1 (FRQ)	Stato Limite di Esercizio	NO	0	-20014,00	-23822,00
Approccio 1, Combinazione 1 (FRQ)	Stato Limite di Esercizio	NO	0	-27405,00	-32239,00
Approccio 1, Combinazione 1 (PRM)	Stato Limite di Esercizio	NO	0	20691,00	16287,00
Approccio 1, Combinazione 1 (PRM)	Stato Limite di Esercizio	NO	0	28446,00	21666,00
<b>Sez. calcolo n.20 - Dis: 0.24(Monte)</b>					
Approccio 1, Combinazione 1	Stato Limite di Resistenza della Struttura	NO	0	14526,00	8403,00
Approccio 1, Combinazione 1	Stato Limite di Resistenza della Struttura	NO	0	20169,00	16318,00
Approccio 1, Combinazione 1	Stato Limite di Resistenza della Struttura	NO	0	18887,00	10925,00
Approccio 1, Combinazione 1	Stato Limite di Resistenza della Struttura	NO	0	24529,00	18840,00
Approccio 1, Combinazione 1	Stato Limite di Resistenza della Struttura	SI	0	17402,00	11335,00
Approccio 1, Combinazione 2	Stato Limite di Resistenza della Struttura	NO	0	23430,00	13865,00
Approccio 1, Combinazione 2	Stato Limite di Resistenza della Struttura	NO	0	29854,00	21904,00
Approccio 1, Combinazione 2	Stato Limite di Resistenza della Struttura	NO	0	23430,00	13865,00
Approccio 1, Combinazione 2	Stato Limite di Resistenza della Struttura	NO	0	29854,00	21904,00
Approccio 1, Combinazione 2	Stato Limite di Resistenza della Struttura	SI	0	26902,00	17257,00
Approccio 1, Combinazione 1 (RARA)	Stato Limite di Esercizio	NO	0	21963,00	18403,00
Approccio 1, Combinazione 1 (RARA)	Stato Limite di Esercizio	NO	0	16450,00	11318,00
Approccio 1, Combinazione 1 (FRQ)	Stato Limite di Esercizio	NO	0	-14193,00	-23979,00
Approccio 1, Combinazione 1 (FRQ)	Stato Limite di Esercizio	NO	0	-19706,00	-31064,00
Approccio 1, Combinazione 1 (PRM)	Stato Limite di Esercizio	NO	0	17365,00	11335,00
Approccio 1, Combinazione 1 (PRM)	Stato Limite di Esercizio	NO	0	23793,00	16865,00
<b>Sez. calcolo n.21 - Dis: 0.49(Monte)</b>					
Approccio 1, Combinazione 1	Stato Limite di Resistenza della Struttura	NO	0	12284,00	9449,00
Approccio 1, Combinazione 1	Stato Limite di Resistenza della Struttura	NO	0	15854,00	18613,00
Approccio 1, Combinazione 1	Stato Limite di Resistenza della Struttura	NO	0	15972,00	12285,00
Approccio 1, Combinazione 1	Stato Limite di Resistenza della Struttura	NO	0	19542,00	21449,00
Approccio 1, Combinazione 1	Stato Limite di Resistenza della Struttura	SI	0	14413,00	12663,00
Approccio 1, Combinazione 2	Stato Limite di Resistenza della Struttura	NO	0	19832,00	15116,00
Approccio 1, Combinazione 2	Stato Limite di Resistenza della Struttura	NO	0	24169,00	24265,00
Approccio 1, Combinazione 2	Stato Limite di Resistenza della Struttura	NO	0	19832,00	15116,00

SOLLECITAZIONI SULLA FONDAZIONE					
Approccio	Stato limite	Sisma	N	My	Tx
			[N]	[Nm]	[N]
Approccio 1, Combinazione 2	Stato Limite di Resistenza della Struttura	NO	0	24169,00	24265,00
Approccio 1, Combinazione 2	Stato Limite di Resistenza della Struttura	SI	0	22444,00	18800,00
Approccio 1, Combinazione 1 (RARA)	Stato Limite di Esercizio	NO	0	17296,00	19449,00
Approccio 1, Combinazione 1 (RARA)	Stato Limite di Esercizio	NO	0	13348,00	13613,00
Approccio 1, Combinazione 1 (FRQ)	Stato Limite di Esercizio	NO	0	-9210,00	-17747,00
Approccio 1, Combinazione 1 (FRQ)	Stato Limite di Esercizio	NO	0	-13158,00	-23583,00
Approccio 1, Combinazione 1 (PRM)	Stato Limite di Esercizio	NO	0	14377,00	12663,00
Approccio 1, Combinazione 1 (PRM)	Stato Limite di Esercizio	NO	0	19468,00	18116,00
<b>Sez. calcolo n.22 - Dis: 0.73(Monte)</b>					
Approccio 1, Combinazione 1	Stato Limite di Resistenza della Struttura	NO	0	10363,00	4263,00
Approccio 1, Combinazione 1	Stato Limite di Resistenza della Struttura	NO	0	11568,00	14593,00
Approccio 1, Combinazione 1	Stato Limite di Resistenza della Struttura	NO	0	13474,00	5544,00
Approccio 1, Combinazione 1	Stato Limite di Resistenza della Struttura	NO	0	14679,00	15874,00
Approccio 1, Combinazione 1	Stato Limite di Resistenza della Struttura	SI	0	11687,00	7669,00
Approccio 1, Combinazione 2	Stato Limite di Resistenza della Struttura	NO	0	16544,00	9818,00
Approccio 1, Combinazione 2	Stato Limite di Resistenza della Struttura	NO	0	18541,00	19941,00
Approccio 1, Combinazione 2	Stato Limite di Resistenza della Struttura	NO	0	16544,00	9818,00
Approccio 1, Combinazione 2	Stato Limite di Resistenza della Struttura	NO	0	18541,00	19941,00
Approccio 1, Combinazione 2	Stato Limite di Resistenza della Struttura	SI	0	18238,00	13680,00
Approccio 1, Combinazione 1 (RARA)	Stato Limite di Esercizio	NO	0	12950,00	14263,00
Approccio 1, Combinazione 1 (RARA)	Stato Limite di Esercizio	NO	0	10274,00	9593,00
Approccio 1, Combinazione 1 (FRQ)	Stato Limite di Esercizio	NO	0	-5168,00	-17728,00
Approccio 1, Combinazione 1 (FRQ)	Stato Limite di Esercizio	NO	0	-7843,00	-22398,00
Approccio 1, Combinazione 1 (PRM)	Stato Limite di Esercizio	NO	0	11651,00	7669,00
Approccio 1, Combinazione 1 (PRM)	Stato Limite di Esercizio	NO	0	15452,00	12818,00
<b>Sez. calcolo n.23 - Dis: 0.97(Monte)</b>					
Approccio 1, Combinazione 1	Stato Limite di Resistenza della Struttura	NO	0	8920,00	5446,00
Approccio 1, Combinazione 1	Stato Limite di Resistenza della Struttura	NO	0	7486,00	16859,00
Approccio 1, Combinazione 1	Stato Limite di Resistenza della Struttura	NO	0	11597,00	7081,00
Approccio 1, Combinazione 1	Stato Limite di Resistenza della Struttura	NO	0	10164,00	18494,00
Approccio 1, Combinazione 1	Stato Limite di Resistenza della Struttura	SI	0	9403,00	8956,00
Approccio 1, Combinazione 2	Stato Limite di Resistenza della Struttura	NO	0	13799,00	10570,00

SOLLECITAZIONI SULLA FONDAZIONE					
Approccio	Stato limite	Sisma	N [N]	My [Nm]	Tx [N]
Approccio 1, Combinazione 2	Resistenza della Struttura Stato Limite di Resistenza della Struttura	NO	0	13237,00	21534,00
Approccio 1, Combinazione 2	Stato Limite di Resistenza della Struttura	NO	0	13799,00	10570,00
Approccio 1, Combinazione 2	Stato Limite di Resistenza della Struttura	NO	0	13237,00	21534,00
Approccio 1, Combinazione 2	Stato Limite di Resistenza della Struttura	SI	0	14547,00	14498,00
Approccio 1, Combinazione 1 (RARA)	Stato Limite di Esercizio	NO	0	9081,00	15446,00
Approccio 1, Combinazione 1 (RARA)	Stato Limite di Esercizio	NO	0	7405,00	11859,00
Approccio 1, Combinazione 1 (FRQ)	Stato Limite di Esercizio	NO	0	-1911,00	-11319,00
Approccio 1, Combinazione 1 (FRQ)	Stato Limite di Esercizio	NO	0	-3587,00	-14906,00
Approccio 1, Combinazione 1 (PRM)	Stato Limite di Esercizio	NO	0	9367,00	8956,00
Approccio 1, Combinazione 1 (PRM)	Stato Limite di Esercizio	NO	0	11980,00	13570,00
<b>Sez. calcolo n.24 - Dis: 1.21(Monte)</b>					
Approccio 1, Combinazione 1	Stato Limite di Resistenza della Struttura	NO	0	7716,00	6696,00
Approccio 1, Combinazione 1	Stato Limite di Resistenza della Struttura	NO	0	7030,00	4109,00
Approccio 1, Combinazione 1	Stato Limite di Resistenza della Struttura	NO	0	10033,00	8706,00
Approccio 1, Combinazione 1	Stato Limite di Resistenza della Struttura	NO	0	9346,00	6119,00
Approccio 1, Combinazione 1	Stato Limite di Resistenza della Struttura	SI	0	8073,00	7221,00
Approccio 1, Combinazione 2	Stato Limite di Resistenza della Struttura	NO	0	11437,00	11073,00
Approccio 1, Combinazione 2	Stato Limite di Resistenza della Struttura	NO	0	11281,00	9742,00
Approccio 1, Combinazione 2	Stato Limite di Resistenza della Struttura	NO	0	11437,00	11073,00
Approccio 1, Combinazione 2	Stato Limite di Resistenza della Struttura	NO	0	11281,00	9742,00
Approccio 1, Combinazione 2	Stato Limite di Resistenza della Struttura	SI	0	11964,00	11953,00
Approccio 1, Combinazione 1 (RARA)	Stato Limite di Esercizio	NO	0	7878,00	6696,00
Approccio 1, Combinazione 1 (RARA)	Stato Limite di Esercizio	NO	0	6949,00	4109,00
Approccio 1, Combinazione 1 (FRQ)	Stato Limite di Esercizio	NO	0	1528,00	-9823,00
Approccio 1, Combinazione 1 (FRQ)	Stato Limite di Esercizio	NO	0	599,00	-12410,00
Approccio 1, Combinazione 1 (PRM)	Stato Limite di Esercizio	NO	0	8037,00	7221,00
Approccio 1, Combinazione 1 (PRM)	Stato Limite di Esercizio	NO	0	9618,00	11073,00
<b>Sez. calcolo n.25 - Dis: 1.46(Monte)</b>					
Approccio 1, Combinazione 1	Stato Limite di Resistenza della Struttura	NO	0	6958,00	1715,00
Approccio 1, Combinazione 1	Stato Limite di Resistenza della Struttura	NO	0	6786,00	44,00
Approccio 1, Combinazione 1	Stato Limite di Resistenza della Struttura	NO	0	9047,00	2231,00

SOLLECITAZIONI SULLA FONDAZIONE					
Approccio	Stato limite	Sisma	N [N]	My [Nm]	Tx [N]
Approccio 1, Combinazione 1	Struttura Stato Limite di Resistenza della	NO	0	8875,00	560,00
Approccio 1, Combinazione 1	Struttura Stato Limite di Resistenza della	SI	0	7194,00	2166,00
Approccio 1, Combinazione 2	Struttura Stato Limite di Resistenza della	NO	0	9740,00	5028,00
Approccio 1, Combinazione 2	Struttura Stato Limite di Resistenza della	NO	0	9835,00	4266,00
Approccio 1, Combinazione 2	Struttura Stato Limite di Resistenza della	NO	0	9740,00	5028,00
Approccio 1, Combinazione 2	Struttura Stato Limite di Resistenza della	NO	0	9835,00	4266,00
Approccio 1, Combinazione 2	Struttura Stato Limite di Resistenza della	SI	0	10070,00	5746,00
Approccio 1, Combinazione 1 (RARA)	Stato Limite di Esercizio	NO	0	7119,00	1715,00
Approccio 1, Combinazione 1 (RARA)	Stato Limite di Esercizio	NO	0	6705,00	44,00
Approccio 1, Combinazione 1 (FRQ)	Stato Limite di Esercizio	NO	0	4137,00	-9537,00
Approccio 1, Combinazione 1 (FRQ)	Stato Limite di Esercizio	NO	0	3722,00	-11208,00
Approccio 1, Combinazione 1 (PRM)	Stato Limite di Esercizio	NO	0	7158,00	2166,00
Approccio 1, Combinazione 1 (PRM)	Stato Limite di Esercizio	NO	0	7921,00	5028,00
<b>Sez. calcolo n.26 - Dis: 1.70(Monte)</b>					
Approccio 1, Combinazione 1	Stato Limite di Resistenza della	NO	0	6454,00	3101,00
Approccio 1, Combinazione 1	Struttura Stato Limite di Resistenza della	NO	0	6585,00	2264,00
Approccio 1, Combinazione 1	Struttura Stato Limite di Resistenza della	NO	0	8391,00	4033,00
Approccio 1, Combinazione 1	Struttura Stato Limite di Resistenza della	NO	0	8522,00	3195,00
Approccio 1, Combinazione 1	Struttura Stato Limite di Resistenza della	SI	0	6598,00	3390,00
Approccio 1, Combinazione 2	Struttura Stato Limite di Resistenza della	NO	0	8594,00	5032,00
Approccio 1, Combinazione 2	Struttura Stato Limite di Resistenza della	NO	0	8818,00	4705,00
Approccio 1, Combinazione 2	Struttura Stato Limite di Resistenza della	NO	0	8594,00	5032,00
Approccio 1, Combinazione 2	Struttura Stato Limite di Resistenza della	NO	0	8818,00	4705,00
Approccio 1, Combinazione 2	Struttura Stato Limite di Resistenza della	SI	0	8781,00	5476,00
Approccio 1, Combinazione 1 (RARA)	Stato Limite di Esercizio	NO	0	6615,00	3101,00
Approccio 1, Combinazione 1 (RARA)	Stato Limite di Esercizio	NO	0	6504,00	2264,00
Approccio 1, Combinazione 1 (FRQ)	Stato Limite di Esercizio	NO	0	5721,00	-2864,00
Approccio 1, Combinazione 1 (FRQ)	Stato Limite di Esercizio	NO	0	5609,00	-3702,00
Approccio 1, Combinazione 1 (PRM)	Stato Limite di Esercizio	NO	0	6562,00	3390,00
Approccio 1, Combinazione 1 (PRM)	Stato Limite di Esercizio	NO	0	6774,00	5032,00
<b>Sez. calcolo n.27 - Dis: 1.94(Monte)</b>					



SOLLECITAZIONI SULLA FONDAZIONE					
Approccio	Stato limite	Sisma	N	My	Tx
			[N]	[Nm]	[N]
Approccio 1, Combinazione 1	Stato Limite di Resistenza della Struttura	NO	0	6267,00	-1743,00
Approccio 1, Combinazione 1	Stato Limite di Resistenza della Struttura	NO	0	6508,00	-1831,00
Approccio 1, Combinazione 1	Stato Limite di Resistenza della Struttura	NO	0	8148,00	-2266,00
Approccio 1, Combinazione 1	Stato Limite di Resistenza della Struttura	NO	0	8389,00	-2354,00
Approccio 1, Combinazione 1	Stato Limite di Resistenza della Struttura	SI	0	6370,00	-1706,00
Approccio 1, Combinazione 2	Stato Limite di Resistenza della Struttura	NO	0	8138,00	-1511,00
Approccio 1, Combinazione 2	Stato Limite di Resistenza della Struttura	NO	0	8403,00	-1539,00
Approccio 1, Combinazione 2	Stato Limite di Resistenza della Struttura	NO	0	8138,00	-1511,00
Approccio 1, Combinazione 2	Stato Limite di Resistenza della Struttura	NO	0	8403,00	-1539,00
Approccio 1, Combinazione 2	Stato Limite di Resistenza della Struttura	SI	0	8262,00	-1455,00
Approccio 1, Combinazione 1 (RARA)	Stato Limite di Esercizio	NO	0	6428,00	-1743,00
Approccio 1, Combinazione 1 (RARA)	Stato Limite di Esercizio	NO	0	6427,00	-1831,00
Approccio 1, Combinazione 1 (FRQ)	Stato Limite di Esercizio	NO	0	6337,00	-2401,00
Approccio 1, Combinazione 1 (FRQ)	Stato Limite di Esercizio	NO	0	6336,00	-2489,00
Approccio 1, Combinazione 1 (PRM)	Stato Limite di Esercizio	NO	0	6334,00	-1706,00
Approccio 1, Combinazione 1 (PRM)	Stato Limite di Esercizio	NO	0	6319,00	-1511,00

## LEGENDA Sollecitazioni sulla fondazione

<b>Approccio</b>	Tipo di Approccio seguito.
<b>Stato limite</b>	Tipo di Stato Limite.
<b>Sisma</b>	Sisma agente nella Combinazione.
<b>N</b>	Sforzo Normale [N].
<b>My</b>	Vettore Momento ortogonale al piano dell'elemento [Nm].
<b>Tx</b>	Taglio orizzontale nel piano dell'elemento [N].

## SOLLECITAZIONI SUGLI SPERONI

SOLLECITAZIONI SUGLI SPERONI					
Approccio	Stato limite	Sisma	N	My	Tx
			[N]	[Nm]	[N]
<b>Sezione 1</b>					
<b>Sez. calcolo n.28 - Dis: 0.00</b>					
Approccio 1, Combinazione 1	Stato Limite di Resistenza della Struttura	NO	0	2588,00	-10935,00
Approccio 1, Combinazione 1	Stato Limite di Resistenza della Struttura	NO	0	2588,00	-10935,00
Approccio 1, Combinazione 1	Stato Limite di Resistenza della Struttura	NO	0	3364,00	-14216,00
Approccio 1, Combinazione 1	Stato Limite di Resistenza della Struttura	NO	0	3364,00	-14216,00
Approccio 1, Combinazione 1	Stato Limite di Resistenza della Struttura	SI	0	2588,00	-10935,00
Approccio 1, Combinazione 2	Stato Limite di Resistenza della Struttura	NO	0	2081,00	-8795,00
Approccio 1, Combinazione 2	Stato Limite di Resistenza della Struttura	NO	0	2081,00	-8795,00

SOLLECITAZIONI SUGLI SPERONI					
Approccio	Stato limite	Sisma	N [N]	My [Nm]	Tx [N]
Approccio 1, Combinazione 2	Stato Limite di Resistenza della Struttura	NO	0	2081,00	-8795,00
Approccio 1, Combinazione 2	Stato Limite di Resistenza della Struttura	NO	0	2081,00	-8795,00
Approccio 1, Combinazione 2	Stato Limite di Resistenza della Struttura	SI	0	2081,00	-8795,00
Approccio 1, Combinazione 1 (RARA)	Stato Limite di Esercizio	NO	0	2588,00	-10935,00
Approccio 1, Combinazione 1 (RARA)	Stato Limite di Esercizio	NO	0	2588,00	-10935,00
Approccio 1, Combinazione 1 (FRQ)	Stato Limite di Esercizio	NO	0	2588,00	-10935,00
Approccio 1, Combinazione 1 (FRQ)	Stato Limite di Esercizio	NO	0	2588,00	-10935,00
Approccio 1, Combinazione 1 (PRM)	Stato Limite di Esercizio	NO	0	2588,00	-10935,00
Approccio 1, Combinazione 1 (PRM)	Stato Limite di Esercizio	NO	0	2588,00	-10935,00
<b>Sez. calcolo n.29 - Dis: 0.34</b>					
Approccio 1, Combinazione 1	Stato Limite di Resistenza della Struttura	NO	0	0,00	0,00
Approccio 1, Combinazione 1	Stato Limite di Resistenza della Struttura	NO	0	0,00	0,00
Approccio 1, Combinazione 1	Stato Limite di Resistenza della Struttura	NO	0	0,00	0,00
Approccio 1, Combinazione 1	Stato Limite di Resistenza della Struttura	NO	0	0,00	0,00
Approccio 1, Combinazione 1	Stato Limite di Resistenza della Struttura	SI	0	0,00	0,00
Approccio 1, Combinazione 2	Stato Limite di Resistenza della Struttura	NO	0	0,00	0,00
Approccio 1, Combinazione 2	Stato Limite di Resistenza della Struttura	NO	0	0,00	0,00
Approccio 1, Combinazione 2	Stato Limite di Resistenza della Struttura	NO	0	0,00	0,00
Approccio 1, Combinazione 2	Stato Limite di Resistenza della Struttura	NO	0	0,00	0,00
Approccio 1, Combinazione 2	Stato Limite di Resistenza della Struttura	SI	0	0,00	0,00
Approccio 1, Combinazione 1 (RARA)	Stato Limite di Esercizio	NO	0	0,00	0,00
Approccio 1, Combinazione 1 (RARA)	Stato Limite di Esercizio	NO	0	0,00	0,00
Approccio 1, Combinazione 1 (FRQ)	Stato Limite di Esercizio	NO	0	0,00	0,00
Approccio 1, Combinazione 1 (FRQ)	Stato Limite di Esercizio	NO	0	0,00	0,00
Approccio 1, Combinazione 1 (PRM)	Stato Limite di Esercizio	NO	0	0,00	0,00
Approccio 1, Combinazione 1 (PRM)	Stato Limite di Esercizio	NO	0	0,00	0,00

## LEGENDA Sollecitazioni sugli speroni

<b>Approccio</b>	Tipo di Approccio seguito.
<b>Stato limite</b>	Tipo di Stato Limite.
<b>Sisma</b>	Sisma agente nella Combinazione.
<b>N</b>	Sforzo Normale [N].
<b>My</b>	Vettore Momento ortogonale al piano dell'elemento [Nm].
<b>Tx</b>	Taglio orizzontale nel piano dell'elemento [N].

## TENSIONI SUL TERRENO

TENSIONI SUL TERRENO						
Approccio	Combinazione	Sisma	Pt[i] [m]	Pr[i] [N/mm²]	Pt[f] [m]	Pr[f] [N/mm²]
<b>Sezione 1</b>						

TENSIONI SUL TERRENO						
Approccio	Combinazione	Sisma	Pt[i] [m]	Pr[i] [N/mm <sup>2</sup> ]	Pt[f] [m]	Pr[f] [N/mm <sup>2</sup> ]
Approccio 1, Combinazione 1	Combinazione 1	NO	X: -0,60; Y: -0,60	0,070	X: 2,40; Y: -0,60	0,073
Approccio 1, Combinazione 1	Combinazione 2	NO	X: -0,60; Y: -0,60	0,077	X: 2,40; Y: -0,60	0,076
Approccio 1, Combinazione 1	Combinazione 3	NO	X: -0,60; Y: -0,60	0,091	X: 2,40; Y: -0,60	0,095
Approccio 1, Combinazione 1	Combinazione 4	NO	X: -0,60; Y: -0,60	0,098	X: 2,40; Y: -0,60	0,098
Approccio 1, Combinazione 1	Combinazione 1	SI	X: -0,60; Y: -0,60	0,073	X: 2,40; Y: -0,60	0,072
Approccio 1, Combinazione 2	Combinazione 1	NO	X: -0,60; Y: -0,60	0,078	X: 2,40; Y: -0,60	0,065
Approccio 1, Combinazione 2	Combinazione 2	NO	X: -0,60; Y: -0,60	0,086	X: 2,40; Y: -0,60	0,066
Approccio 1, Combinazione 2	Combinazione 3	NO	X: -0,60; Y: -0,60	0,078	X: 2,40; Y: -0,60	0,065
Approccio 1, Combinazione 2	Combinazione 4	NO	X: -0,60; Y: -0,60	0,086	X: 2,40; Y: -0,60	0,066
Approccio 1, Combinazione 2	Combinazione 1	SI	X: -0,60; Y: -0,60	0,082	X: 2,40; Y: -0,60	0,063

### LEGENDA Tensioni sul terreno

<b>Approccio</b>	Tipo di Approccio seguito.
<b>Combinazione</b>	Combinazione considerata.
<b>Sisma</b>	Sisma agente nella Combinazione.
<b>Pt[i]/Pt[f]</b>	Coordinate del punto iniziale e finale del tratto di terreno di fondazione su cui sono esercitate le tensioni sul terreno [m].
<b>Pr[i]/Pr[f]</b>	Pressione iniziale e finale in corrispondenza dei relativi punti [N/mm <sup>2</sup> ].

### VERIFICHE DI STABILITA'

VERIFICHE DI STABILITA'									
Bishop					Fellenius				
CS	FrzRblt	FrzRes	Centro	Raggio	CS	FrzRblt	FrzRes	Centro	Raggio
	[N]	[N]	[m]	[m]		[N]	[N]	[m]	[m]
<b>Sezione 1</b>									
<b>Verifica 1</b>									
<b>Approccio 1, Combinazione 2 Stato Limite di Resistenza del Terreno senza sisma</b>									
1,56	123.443	192.048	X: 0,30; Y: 4,00	5,39	1,51	123.443	186.021	X: 0,30; Y: 4,00	5,39
3,28	266.777	874.666	X: 0,30; Y: 4,00	9,39	2,93	266.777	781.833	X: 0,30; Y: 4,00	9,39
<b>1,48</b>	<b>134.001</b>	<b>198.630</b>	<b>X: -0,20; Y: 4,00</b>	<b>5,59</b>	<b>1,43</b>	<b>134.001</b>	<b>191.928</b>	<b>X: -0,20; Y: 4,00</b>	<b>5,59</b>
3,32	274.039	908.772	X: -0,20; Y: 4,00	9,59	2,95	274.039	809.487	X: -0,20; Y: 4,00	9,59
1,53	138.693	212.548	X: -0,70; Y: 4,00	5,83	1,46	138.693	202.642	X: -0,70; Y: 4,00	5,83
3,38	282.000	952.585	X: -0,70; Y: 4,00	9,83	3,00	282.000	845.489	X: -0,70; Y: 4,00	9,83
1,59	147.380	233.883	X: -1,20; Y: 4,00	6,10	1,49	147.380	220.129	X: -1,20; Y: 4,00	6,10
3,51	286.871	1.006.182	X: -1,20; Y: 4,00	10,10	3,10	286.871	889.705	X: -1,20; Y: 4,00	10,10
1,71	151.987	260.367	X: -1,70; Y: 4,00	6,40	1,59	151.987	241.275	X: -1,70; Y: 4,00	6,40
3,66	292.192	1.068.840	X: -1,70; Y: 4,00	10,40	3,22	292.192	941.723	X: -1,70; Y: 4,00	10,40
1,87	157.905	294.931	X: -2,20; Y: 4,00	6,73	1,71	157.905	269.441	X: -2,20; Y: 4,00	6,73
3,79	301.662	1.143.231	X: -2,20; Y: 4,00	10,73	3,33	301.662	1.003.645	X: -2,20; Y: 4,00	10,73
2,10	159.623	334.754	X: -2,70; Y: 4,00	7,07	1,89	159.623	301.947	X: -2,70; Y: 4,00	7,07
4,01	305.117	1.223.937	X: -2,70; Y: 4,00	11,07	3,51	305.117	1.071.187	X: -2,70; Y: 4,00	11,07
2,38	161.057	383.195	X: -3,20; Y: 4,00	7,43	2,13	161.057	342.372	X: -3,20; Y: 4,00	7,43
4,23	311.117	1.315.935	X: -3,20; Y: 4,00	11,43	3,69	311.117	1.148.298	X: -3,20; Y: 4,00	11,43
2,71	160.811	436.075	X: -3,70; Y: 4,00	7,81	2,40	160.811	386.517	X: -3,70; Y: 4,00	7,81
4,52	312.883	1.413.698	X: -3,70; Y: 4,00	11,81	3,93	312.883	1.230.664	X: -3,70; Y: 4,00	11,81
3,04	163.529	497.778	X: -4,20; Y: 4,00	8,20	2,68	163.529	438.616	X: -4,20; Y: 4,00	8,20
4,77	319.359	1.522.518	X: -4,20; Y: 4,00	12,20	4,14	319.359	1.322.243	X: -4,20; Y: 4,00	12,20
1,58	126.881	200.501	X: 0,30; Y: 4,50	5,85	1,54	126.881	194.965	X: 0,30; Y: 4,50	5,85
3,26	275.911	898.734	X: 0,30; Y: 4,50	9,85	2,93	275.911	807.150	X: 0,30; Y: 4,50	9,85
1,51	136.809	206.021	X: -0,20; Y: 4,50	6,04	1,46	136.809	200.046	X: -0,20; Y: 4,50	6,04
3,30	281.602	928.027	X: -0,20; Y: 4,50	10,04	2,95	281.602	831.025	X: -0,20; Y: 4,50	10,04
1,50	144.924	217.673	X: -0,70; Y: 4,50	6,26	1,45	144.924	209.584	X: -0,70; Y: 4,50	6,26
3,37	287.567	968.693	X: -0,70; Y: 4,50	10,26	3,01	287.567	864.347	X: -0,70; Y: 4,50	10,26
1,58	150.188	237.506	X: -1,20; Y: 4,50	6,52	1,50	150.188	225.481	X: -1,20; Y: 4,50	6,52
3,46	294.275	1.018.459	X: -1,20; Y: 4,50	10,52	3,08	294.275	905.515	X: -1,20; Y: 4,50	10,52
1,69	155.205	262.109	X: -1,70; Y: 4,50	6,80	1,58	155.205	245.315	X: -1,70; Y: 4,50	6,80
3,56	303.514	1.079.168	X: -1,70; Y: 4,50	10,80	3,15	303.514	955.902	X: -1,70; Y: 4,50	10,80
1,85	158.788	292.968	X: -2,20; Y: 4,50	7,11	1,70	158.788	270.305	X: -2,20; Y: 4,50	7,11
3,74	306.971	1.147.342	X: -2,20; Y: 4,50	11,11	3,30	306.971	1.012.833	X: -2,20; Y: 4,50	11,11
2,03	163.620	331.655	X: -2,70; Y: 4,50	7,43	1,85	163.620	302.264	X: -2,70; Y: 4,50	7,43
3,93	311.032	1.223.908	X: -2,70; Y: 4,50	11,43	3,46	311.032	1.076.995	X: -2,70; Y: 4,50	11,43
2,28	164.876	375.464	X: -3,20; Y: 4,50	7,78	2,05	164.876	338.502	X: -3,20; Y: 4,50	7,78
4,12	318.173	1.310.965	X: -3,20; Y: 4,50	11,78	3,61	318.173	1.150.003	X: -3,20; Y: 4,50	11,78
2,58	165.869	427.720	X: -3,70; Y: 4,50	8,14	2,31	165.869	382.613	X: -3,70; Y: 4,50	8,14
4,40	319.250	1.404.695	X: -3,70; Y: 4,50	12,14	3,85	319.250	1.229.150	X: -3,70; Y: 4,50	12,14
2,89	168.425	486.156	X: -4,20; Y: 4,50	8,51	2,57	168.425	432.014	X: -4,20; Y: 4,50	8,51
4,64	325.167	1.508.556	X: -4,20; Y: 4,50	12,51	4,05	325.167	1.316.719	X: -4,20; Y: 4,50	12,51
1,57	132.527	207.922	X: 0,30; Y: 5,00	6,32	1,54	132.527	203.632	X: 0,30; Y: 5,00	6,32
3,26	282.919	920.979	X: 0,30; Y: 5,00	10,32	2,94	282.919	831.160	X: 0,30; Y: 5,00	10,32

## VERIFICHE DI STABILITA'

Bishop					Fellenius				
CS	FrzRbIt	FrzRes	Centro	Raggio	CS	FrzRbIt	FrzRes	Centro	Raggio
	[N]	[N]	[m]	[m]		[N]	[N]	[m]	[m]
1,53	139.082	213.216	X: -0,20; Y: 5,00	6,50	1,49	139.082	207.870	X: -0,20; Y: 5,00	6,50
3,28	289.496	949.379	X: -0,20; Y: 5,00	10,50	2,95	289.496	854.143	X: -0,20; Y: 5,00	10,50
1,52	147.124	223.578	X: -0,70; Y: 5,00	6,71	1,47	147.124	216.513	X: -0,70; Y: 5,00	6,71
3,35	294.439	985.462	X: -0,70; Y: 5,00	10,71	3,00	294.439	883.798	X: -0,70; Y: 5,00	10,71
1,56	153.461	240.047	X: -1,20; Y: 5,00	6,95	1,50	153.461	229.801	X: -1,20; Y: 5,00	6,95
3,45	299.386	1.032.143	X: -1,20; Y: 5,00	10,95	3,08	299.386	922.385	X: -1,20; Y: 5,00	10,95
1,68	157.493	264.241	X: -1,70; Y: 5,00	7,21	1,58	157.493	249.425	X: -1,70; Y: 5,00	7,21
3,53	308.114	1.089.072	X: -1,70; Y: 5,00	11,21	3,15	308.114	969.785	X: -1,70; Y: 5,00	11,21
1,82	161.530	293.227	X: -2,20; Y: 5,00	7,50	1,69	161.530	273.086	X: -2,20; Y: 5,00	7,50
3,68	313.396	1.153.299	X: -2,20; Y: 5,00	11,50	3,27	313.396	1.023.472	X: -2,20; Y: 5,00	11,50
1,98	166.109	329.334	X: -2,70; Y: 5,00	7,81	1,82	166.109	302.983	X: -2,70; Y: 5,00	7,81
3,88	316.115	1.226.150	X: -2,70; Y: 5,00	11,81	3,43	316.115	1.084.637	X: -2,70; Y: 5,00	11,81
2,20	168.382	370.995	X: -3,20; Y: 5,00	8,14	2,01	168.382	337.611	X: -3,20; Y: 5,00	8,14
4,06	322.681	1.308.775	X: -3,20; Y: 5,00	12,14	3,58	322.681	1.154.095	X: -3,20; Y: 5,00	12,14
2,45	171.415	420.005	X: -3,70; Y: 5,00	8,49	2,21	171.415	378.830	X: -3,70; Y: 5,00	8,49
4,29	325.969	1.398.354	X: -3,70; Y: 5,00	12,49	3,77	325.969	1.229.725	X: -3,70; Y: 5,00	12,49
2,79	169.967	474.780	X: -4,20; Y: 5,00	8,85	2,50	169.967	425.336	X: -4,20; Y: 5,00	8,85
4,52	331.372	1.497.549	X: -4,20; Y: 5,00	12,85	3,96	331.372	1.313.502	X: -4,20; Y: 5,00	12,85
1,61	134.385	215.903	X: 0,30; Y: 5,50	6,80	1,58	134.385	211.905	X: 0,30; Y: 5,50	6,80
3,28	287.805	943.308	X: 0,30; Y: 5,50	10,80	2,97	287.805	854.959	X: 0,30; Y: 5,50	10,80
1,56	140.963	220.216	X: -0,20; Y: 5,50	6,96	1,53	140.963	215.420	X: -0,20; Y: 5,50	6,96
3,28	295.795	969.305	X: -0,20; Y: 5,50	10,96	2,96	295.795	876.160	X: -0,20; Y: 5,50	10,96
1,54	148.666	229.476	X: -0,70; Y: 5,50	7,16	1,50	148.666	223.242	X: -0,70; Y: 5,50	7,16
3,33	301.377	1.004.297	X: -0,70; Y: 5,50	11,16	3,00	301.377	904.856	X: -0,70; Y: 5,50	11,16
1,57	155.287	244.507	X: -1,20; Y: 5,50	7,38	1,52	155.287	235.552	X: -1,20; Y: 5,50	7,38
3,40	308.004	1.047.875	X: -1,20; Y: 5,50	11,38	3,06	308.004	940.996	X: -1,20; Y: 5,50	11,38
1,68	159.126	266.712	X: -1,70; Y: 5,50	7,63	1,59	159.126	253.600	X: -1,70; Y: 5,50	7,63
3,52	312.339	1.100.287	X: -1,70; Y: 5,50	11,63	3,15	312.339	984.653	X: -1,70; Y: 5,50	11,63
1,80	163.446	293.929	X: -2,20; Y: 5,50	7,91	1,69	163.446	275.981	X: -2,20; Y: 5,50	7,91
3,66	317.566	1.161.055	X: -2,20; Y: 5,50	11,91	3,26	317.566	1.035.553	X: -2,20; Y: 5,50	11,91
1,96	166.747	327.131	X: -2,70; Y: 5,50	8,20	1,82	166.747	303.447	X: -2,70; Y: 5,50	8,20
3,82	322.170	1.230.153	X: -2,70; Y: 5,50	12,20	3,39	322.170	1.093.620	X: -2,70; Y: 5,50	12,20
2,15	170.598	367.301	X: -3,20; Y: 5,50	8,51	1,98	170.598	337.117	X: -3,20; Y: 5,50	8,51
4,01	326.741	1.308.832	X: -3,20; Y: 5,50	12,51	3,55	326.741	1.159.955	X: -3,20; Y: 5,50	12,51
2,40	172.409	412.930	X: -3,70; Y: 5,50	8,85	2,18	172.409	375.487	X: -3,70; Y: 5,50	8,85
4,22	330.298	1.394.584	X: -3,70; Y: 5,50	12,85	3,73	330.298	1.232.488	X: -3,70; Y: 5,50	12,85
2,66	175.026	465.829	X: -4,20; Y: 5,50	9,19	2,40	175.026	420.425	X: -4,20; Y: 5,50	9,19
4,47	332.957	1.488.178	X: -4,20; Y: 5,50	13,19	3,94	332.957	1.311.821	X: -4,20; Y: 5,50	13,19
1,65	135.912	223.599	X: 0,30; Y: 6,00	7,28	1,62	135.912	219.858	X: 0,30; Y: 6,00	7,28
3,29	293.828	965.303	X: 0,30; Y: 6,00	11,28	2,99	293.828	878.558	X: 0,30; Y: 6,00	11,28
1,56	144.874	226.443	X: -0,20; Y: 6,00	7,43	1,54	144.874	222.700	X: -0,20; Y: 6,00	7,43
3,30	299.995	989.517	X: -0,20; Y: 6,00	11,43	2,99	299.995	898.170	X: -0,20; Y: 6,00	11,43
1,57	149.883	235.304	X: -0,70; Y: 6,00	7,62	1,53	149.883	229.775	X: -0,70; Y: 6,00	7,62
3,33	307.070	1.021.991	X: -0,70; Y: 6,00	11,62	3,01	307.070	924.950	X: -0,70; Y: 6,00	11,62
1,59	156.356	249.105	X: -1,20; Y: 6,00	7,83	1,54	156.356	241.203	X: -1,20; Y: 6,00	7,83
3,41	311.848	1.063.083	X: -1,20; Y: 6,00	11,83	3,08	311.848	958.996	X: -1,20; Y: 6,00	11,83
1,66	161.828	268.623	X: -1,70; Y: 6,00	8,06	1,59	161.828	257.225	X: -1,70; Y: 6,00	8,06
3,50	317.711	1.112.384	X: -1,70; Y: 6,00	12,06	3,15	317.711	1.000.175	X: -1,70; Y: 6,00	12,06
1,79	164.767	295.035	X: -2,20; Y: 6,00	8,32	1,69	164.767	278.995	X: -2,20; Y: 6,00	8,32
3,64	321.433	1.170.133	X: -2,20; Y: 6,00	12,32	3,26	321.433	1.048.613	X: -2,20; Y: 6,00	12,32
1,94	168.385	326.458	X: -2,70; Y: 6,00	8,60	1,81	168.385	305.153	X: -2,70; Y: 6,00	8,60
3,79	325.984	1.235.909	X: -2,70; Y: 6,00	12,60	3,39	325.984	1.104.015	X: -2,70; Y: 6,00	12,60
2,13	171.119	363.755	X: -3,20; Y: 6,00	8,90	1,97	171.119	336.396	X: -3,20; Y: 6,00	8,90
3,97	329.969	1.309.712	X: -3,20; Y: 6,00	12,90	3,53	329.969	1.166.349	X: -3,20; Y: 6,00	12,90
2,34	174.403	407.905	X: -3,70; Y: 6,00	9,22	2,14	174.403	373.806	X: -3,70; Y: 6,00	9,22
4,17	334.171	1.392.933	X: -3,70; Y: 6,00	13,22	3,70	334.171	1.236.892	X: -3,70; Y: 6,00	13,22
2,59	177.012	458.150	X: -4,20; Y: 6,00	9,55	2,35	177.012	416.585	X: -4,20; Y: 6,00	9,55
4,40	337.142	1.482.876	X: -4,20; Y: 6,00	13,55	3,90	337.142	1.313.288	X: -4,20; Y: 6,00	13,55
1,68	137.280	231.010	X: 0,30; Y: 6,50	7,76	1,66	137.280	227.517	X: 0,30; Y: 6,50	7,76
3,28	300.808	987.850	X: 0,30; Y: 6,50	11,76	3,00	300.808	902.578	X: 0,30; Y: 6,50	11,76
1,60	145.703	233.210	X: -0,20; Y: 6,50	7,91	1,58	145.703	229.790	X: -0,20; Y: 6,50	7,91
3,30	305.466	1.009.559	X: -0,20; Y: 6,50	11,91	3,01	305.466	920.077	X: -0,20; Y: 6,50	11,91
1,60	150.866	241.053	X: -0,70; Y: 6,50	8,08	1,57	150.866	236.129	X: -0,70; Y: 6,50	8,08
3,35	310.706	1.040.129	X: -0,70; Y: 6,50	12,08	3,04	310.706	945.202	X: -0,70; Y: 6,50	12,08
1,61	157.137	253.742	X: -1,20; Y: 6,50	8,28	1,57	157.137	246.730	X: -1,20; Y: 6,50	8,28
3,40	317.024	1.078.645	X: -1,20; Y: 6,50	12,28	3,08	317.024	977.249	X: -1,20; Y: 6,50	12,28
1,67	162.639	271.928	X: -1,70; Y: 6,50	8,50	1,61	162.639	261.801	X: -1,70; Y: 6,50	8,50
3,50	321.137	1.125.450	X: -1,70; Y: 6,50	12,50	3,16	321.137	1.016.363	X: -1,70; Y: 6,50	12,50
1,77	167.146	295.769	X: -2,20; Y: 6,50	8,75	1,68	167.146	281.554	X: -2,20; Y: 6,50	8,75
3,62	326.349	1.180.151	X: -2,20; Y: 6,50	12,75	3,26	326.349	1.062.348	X: -2,20; Y: 6,50	12,75
1,92	169.482	326.244	X: -2,70; Y: 6,50	9,01	1,81	169.482	307.027	X: -2,70; Y: 6,50	9,01
3,77	329.553	1.242.985	X: -2,70; Y: 6,50	13,01	3,38	329.553	1.115.376	X: -2,70; Y: 6,50	13,01
2,10	172.547	361.755	X: -3,20; Y: 6,50	9,30	1,95	172.547	336.939	X: -3,20; Y: 6,50	9,30
3,94	333.533	1.313.581	X: -3,20; Y: 6,50	13,30	3,52	333.533	1.175.144	X: -3,20; Y: 6,50	13,30
2,30	175.695	403.611	X: -3,70; Y: 6,50	9,60	2,12	175.695	372.504	X: -3,70; Y: 6,50	9,60
4,11	338.863	1.393.015	X: -3,70; Y: 6,50	13,60	3,67	338.863	1.242.550	X: -3,70; Y: 6,50	13,60
2,54	177.667	451.132	X: -4,20; Y: 6,50	9,92	2,32	177.667	413.055	X: -4,20; Y: 6,50	9,92

## VERIFICHE DI STABILITA'

Bishop					Fellenius				
CS	FrzRbIt	FrzRes	Centro	Raggio	CS	FrzRbIt	FrzRes	Centro	Raggio
	[N]	[N]	[m]	[m]		[N]	[N]	[m]	[m]
4,32	342.084	1.479.484	X: -4,20; Y: 6,50	13,92	3,85	342.084	1.316.117	X: -4,20; Y: 6,50	13,92
1,69	140.615	237.657	X: 0,30; Y: 7,00	8,25	1,67	140.615	234.952	X: 0,30; Y: 7,00	8,25
3,32	304.534	1.009.575	X: 0,30; Y: 7,00	12,25	3,04	304.534	925.624	X: 0,30; Y: 7,00	12,25
1,64	145.984	239.479	X: -0,20; Y: 7,00	8,38	1,62	145.984	236.294	X: -0,20; Y: 7,00	8,38
3,33	309.026	1.029.721	X: -0,20; Y: 7,00	12,38	3,05	309.026	941.844	X: -0,20; Y: 7,00	12,38
1,60	153.301	245.929	X: -0,70; Y: 7,00	8,54	1,58	153.301	241.914	X: -0,70; Y: 7,00	8,54
3,35	315.703	1.058.242	X: -0,70; Y: 7,00	12,54	3,06	315.703	965.429	X: -0,70; Y: 7,00	12,54
1,64	157.263	258.058	X: -1,20; Y: 7,00	8,73	1,60	157.263	251.765	X: -1,20; Y: 7,00	8,73
3,42	320.194	1.094.776	X: -1,20; Y: 7,00	12,73	3,11	320.194	995.793	X: -1,20; Y: 7,00	12,73
1,69	163.129	275.375	X: -1,70; Y: 7,00	8,94	1,63	163.129	266.333	X: -1,70; Y: 7,00	8,94
3,50	325.844	1.138.986	X: -1,70; Y: 7,00	12,94	3,17	325.844	1.032.857	X: -1,70; Y: 7,00	12,94
1,77	167.856	297.798	X: -2,20; Y: 7,00	9,18	1,70	167.856	285.057	X: -2,20; Y: 7,00	9,18
3,62	329.430	1.191.195	X: -2,20; Y: 7,00	13,18	3,27	329.430	1.076.812	X: -2,20; Y: 7,00	13,18
1,90	171.606	325.813	X: -2,70; Y: 7,00	9,43	1,80	171.606	308.533	X: -2,70; Y: 7,00	9,43
3,74	334.082	1.251.045	X: -2,70; Y: 7,00	13,43	3,37	334.082	1.127.419	X: -2,70; Y: 7,00	13,43
2,08	173.475	360.259	X: -3,20; Y: 7,00	9,71	1,95	173.475	337.695	X: -3,20; Y: 7,00	9,71
3,92	336.848	1.318.765	X: -3,20; Y: 7,00	13,71	3,52	336.848	1.184.890	X: -3,20; Y: 7,00	13,71
2,27	176.100	399.771	X: -3,70; Y: 7,00	10,00	2,11	176.100	371.333	X: -3,70; Y: 7,00	10,00
4,08	341.744	1.394.824	X: -3,70; Y: 7,00	14,00	3,66	341.744	1.249.594	X: -3,70; Y: 7,00	14,00
2,49	178.832	445.565	X: -4,20; Y: 7,00	10,31	2,30	178.832	410.612	X: -4,20; Y: 7,00	10,31
4,28	345.227	1.477.989	X: -4,20; Y: 7,00	14,31	3,83	345.227	1.320.498	X: -4,20; Y: 7,00	14,31
1,73	141.082	244.415	X: 0,30; Y: 7,50	8,73	1,71	141.082	241.820	X: 0,30; Y: 7,50	8,73
3,35	308.052	1.031.010	X: 0,30; Y: 7,50	12,73	3,08	308.052	948.329	X: 0,30; Y: 7,50	12,73
1,68	146.770	246.025	X: -0,20; Y: 7,50	8,86	1,66	146.770	243.114	X: -0,20; Y: 7,50	8,86
3,34	313.846	1.049.605	X: -0,20; Y: 7,50	12,86	3,07	313.846	963.411	X: -0,20; Y: 7,50	12,86
1,64	153.722	251.772	X: -0,70; Y: 7,50	9,01	1,61	153.722	248.160	X: -0,70; Y: 7,50	9,01
3,38	318.745	1.076.612	X: -0,70; Y: 7,50	13,01	3,09	318.745	985.658	X: -0,70; Y: 7,50	13,01
1,64	159.792	262.452	X: -1,20; Y: 7,50	9,19	1,61	159.792	257.170	X: -1,20; Y: 7,50	9,19
3,42	324.672	1.111.017	X: -1,20; Y: 7,50	13,19	3,12	324.672	1.014.380	X: -1,20; Y: 7,50	13,19
1,71	163.119	278.694	X: -1,70; Y: 7,50	9,39	1,66	163.119	270.558	X: -1,70; Y: 7,50	9,39
3,51	328.658	1.153.182	X: -1,70; Y: 7,50	13,39	3,19	328.658	1.049.747	X: -1,70; Y: 7,50	13,39
1,78	168.149	300.072	X: -2,20; Y: 7,50	9,62	1,72	168.149	288.600	X: -2,20; Y: 7,50	9,62
3,60	333.709	1.202.802	X: -2,20; Y: 7,50	13,62	3,27	333.709	1.091.628	X: -2,20; Y: 7,50	13,62
1,90	172.247	326.605	X: -2,70; Y: 7,50	9,86	1,81	172.247	310.976	X: -2,70; Y: 7,50	9,86
3,74	336.874	1.260.170	X: -2,70; Y: 7,50	13,86	3,38	336.874	1.140.239	X: -2,70; Y: 7,50	13,86
2,04	175.397	358.676	X: -3,20; Y: 7,50	10,12	1,93	175.397	338.155	X: -3,20; Y: 7,50	10,12
3,89	341.043	1.324.967	X: -3,20; Y: 7,50	14,12	3,50	341.043	1.195.322	X: -3,20; Y: 7,50	14,12
2,24	176.900	397.030	X: -3,70; Y: 7,50	10,40	2,10	176.900	370.992	X: -3,70; Y: 7,50	10,40
4,07	343.438	1.397.417	X: -3,70; Y: 7,50	14,40	3,66	343.438	1.257.117	X: -3,70; Y: 7,50	14,40
2,46	179.167	440.480	X: -4,20; Y: 7,50	10,70	2,28	179.167	408.334	X: -4,20; Y: 7,50	10,70
4,25	347.930	1.478.068	X: -4,20; Y: 7,50	14,70	3,81	347.930	1.326.046	X: -4,20; Y: 7,50	14,70
1,77	141.796	251.345	X: 0,30; Y: 8,00	9,22	1,76	141.796	248.882	X: 0,30; Y: 8,00	9,22
3,37	312.610	1.052.012	X: 0,30; Y: 8,00	13,22	3,11	312.610	970.718	X: 0,30; Y: 8,00	13,22
1,69	149.313	251.940	X: -0,20; Y: 8,00	9,34	1,67	149.313	249.696	X: -0,20; Y: 8,00	9,34
3,37	317.638	1.070.008	X: -0,20; Y: 8,00	13,34	3,10	317.638	985.242	X: -0,20; Y: 8,00	13,34
1,67	154.057	257.484	X: -0,70; Y: 8,00	9,49	1,65	154.057	254.220	X: -0,70; Y: 8,00	9,49
3,39	323.094	1.094.828	X: -0,70; Y: 8,00	13,49	3,11	323.094	1.005.751	X: -0,70; Y: 8,00	13,49
1,67	160.180	267.271	X: -1,20; Y: 8,00	9,66	1,64	160.180	262.571	X: -1,20; Y: 8,00	9,66
3,44	327.399	1.127.607	X: -1,20; Y: 8,00	13,66	3,16	327.399	1.033.085	X: -1,20; Y: 8,00	13,66
1,73	163.494	282.485	X: -1,70; Y: 8,00	9,85	1,68	163.494	275.183	X: -1,70; Y: 8,00	9,85
3,51	332.678	1.167.604	X: -1,70; Y: 8,00	13,85	3,21	332.678	1.066.744	X: -1,70; Y: 8,00	13,85
1,80	168.053	302.363	X: -2,20; Y: 8,00	10,06	1,74	168.053	291.980	X: -2,20; Y: 8,00	10,06
3,61	336.253	1.215.132	X: -2,20; Y: 8,00	14,06	3,29	336.253	1.106.917	X: -2,20; Y: 8,00	14,06
1,90	172.049	327.444	X: -2,70; Y: 8,00	10,30	1,82	172.049	313.226	X: -2,70; Y: 8,00	10,30
3,73	340.791	1.269.928	X: -2,70; Y: 8,00	14,30	3,38	340.791	1.153.446	X: -2,70; Y: 8,00	14,30
2,04	175.913	358.278	X: -3,20; Y: 8,00	10,55	1,93	175.913	339.565	X: -3,20; Y: 8,00	10,55
3,88	343.592	1.332.260	X: -3,20; Y: 8,00	14,55	3,51	343.592	1.206.566	X: -3,20; Y: 8,00	14,55
2,23	177.061	394.590	X: -3,70; Y: 8,00	10,82	2,09	177.061	370.685	X: -3,70; Y: 8,00	10,82
4,04	347.341	1.401.845	X: -3,70; Y: 8,00	14,82	3,64	347.341	1.266.007	X: -3,70; Y: 8,00	14,82
2,43	179.866	436.518	X: -4,20; Y: 8,00	11,10	2,26	179.866	406.912	X: -4,20; Y: 8,00	11,10
4,21	351.594	1.479.408	X: -4,20; Y: 8,00	15,10	3,79	351.594	1.332.423	X: -4,20; Y: 8,00	15,10
1,81	142.467	258.042	X: 0,30; Y: 8,50	9,71	1,79	142.467	255.709	X: 0,30; Y: 8,50	9,71
3,40	315.601	1.072.874	X: 0,30; Y: 8,50	13,71	3,15	315.601	992.750	X: 0,30; Y: 8,50	13,71
1,72	149.774	258.161	X: -0,20; Y: 8,50	9,82	1,71	149.774	256.110	X: -0,20; Y: 8,50	9,82
3,39	321.874	1.089.563	X: -0,20; Y: 8,50	13,82	3,13	321.874	1.006.338	X: -0,20; Y: 8,50	13,82
1,70	154.338	263.075	X: -0,70; Y: 8,50	9,96	1,69	154.338	260.116	X: -0,70; Y: 8,50	9,96
3,42	325.734	1.113.172	X: -0,70; Y: 8,50	13,96	3,15	325.734	1.025.754	X: -0,70; Y: 8,50	13,96
1,70	160.212	272.107	X: -1,20; Y: 8,50	10,12	1,67	160.212	267.872	X: -1,20; Y: 8,50	10,12
3,47	330.038	1.144.304	X: -1,20; Y: 8,50	14,12	3,19	330.038	1.051.766	X: -1,20; Y: 8,50	14,12
1,73	165.416	285.940	X: -1,70; Y: 8,50	10,31	1,69	165.416	279.609	X: -1,70; Y: 8,50	10,31
3,53	335.158	1.182.450	X: -1,70; Y: 8,50	14,31	3,23	335.158	1.083.945	X: -1,70; Y: 8,50	14,31
1,81	168.236	305.111	X: -2,20; Y: 8,50	10,51	1,76	168.236	295.715	X: -2,20; Y: 8,50	10,51
3,63	338.697	1.227.912	X: -2,20; Y: 8,50	14,51	3,31	338.697	1.122.455	X: -2,20; Y: 8,50	14,51
1,91	172.255	328.974	X: -2,70; Y: 8,50	10,74	1,83	172.255	316.045	X: -2,70; Y: 8,50	10,74
3,73	343.103	1.280.465	X: -2,70; Y: 8,50	14,74	3,40	343.103	1.167.188	X: -2,70; Y: 8,50	14,74
2,04	175.767	358.015	X: -3,20; Y: 8,50	10,98	1,94	175.767	340.882	X: -3,20; Y: 8,50	10,98
3,86	347.197	1.340.247	X: -3,20; Y: 8,50	14,98	3,51	347.197	1.218.226	X: -3,20; Y: 8,50	14,98

## VERIFICHE DI STABILITA'

Bishop					Fellenius				
CS	FrzRblt	FrzRes	Centro	Raggio	CS	FrzRblt	FrzRes	Centro	Raggio
	[N]	[N]	[m]	[m]		[N]	[N]	[m]	[m]
2,19	179.069	392.744	X: -3,70; Y: 8,50	11,24	2,07	179.069	370.808	X: -3,70; Y: 8,50	11,24
4,02	349.683	1.407.384	X: -3,70; Y: 8,50	15,24	3,65	349.683	1.275.735	X: -3,70; Y: 8,50	15,24
2,41	179.985	432.922	X: -4,20; Y: 8,50	11,51	2,25	179.985	405.586	X: -4,20; Y: 8,50	11,51
4,20	353.066	1.481.625	X: -4,20; Y: 8,50	15,51	3,79	353.066	1.339.435	X: -4,20; Y: 8,50	15,51
<b>Verifica 2</b>									
<b>Approccio 1, Combinazione 2 Stato Limite di Resistenza del Terreno senza sisma</b>									
1,45	140.443	203.470	X: 0,30; Y: 4,00	5,39	1,41	140.443	198.105	X: 0,30; Y: 4,00	5,39
3,15	283.837	893.415	X: 0,30; Y: 4,00	9,39	2,82	283.837	800.132	X: 0,30; Y: 4,00	9,39
<b>1,38</b>	<b>151.520</b>	<b>208.985</b>	<b>X: -0,20; Y: 4,00</b>	<b>5,59</b>	<b>1,34</b>	<b>151.520</b>	<b>203.014</b>	<b>X: -0,20; Y: 4,00</b>	<b>5,59</b>
3,16	293.093	927.300	X: -0,20; Y: 4,00	9,59	2,82	293.093	827.364	X: -0,20; Y: 4,00	9,59
1,42	156.546	222.125	X: -0,70; Y: 4,00	5,83	1,36	156.546	212.815	X: -0,70; Y: 4,00	5,83
3,21	302.864	970.941	X: -0,70; Y: 4,00	9,83	2,85	302.864	862.951	X: -0,70; Y: 4,00	9,83
1,47	165.362	242.916	X: -1,20; Y: 4,00	6,10	1,39	165.362	229.548	X: -1,20; Y: 4,00	6,10
3,31	309.416	1.024.395	X: -1,20; Y: 4,00	10,10	2,93	309.416	906.720	X: -1,20; Y: 4,00	10,10
1,58	170.141	268.999	X: -1,70; Y: 4,00	6,40	1,47	170.141	249.945	X: -1,70; Y: 4,00	6,40
3,44	316.241	1.086.953	X: -1,70; Y: 4,00	10,40	3,03	316.241	958.310	X: -1,70; Y: 4,00	10,40
1,72	176.075	303.291	X: -2,20; Y: 4,00	6,73	1,58	176.075	277.501	X: -2,20; Y: 4,00	6,73
3,55	327.084	1.161.262	X: -2,20; Y: 4,00	10,73	3,12	327.084	1.019.815	X: -2,20; Y: 4,00	10,73
1,93	177.818	342.920	X: -2,70; Y: 4,00	7,07	1,74	177.818	309.404	X: -2,70; Y: 4,00	7,07
3,74	331.790	1.241.921	X: -2,70; Y: 4,00	11,07	3,28	331.790	1.086.930	X: -2,70; Y: 4,00	11,07
2,18	179.153	391.226	X: -3,20; Y: 4,00	7,43	1,95	179.153	349.352	X: -3,20; Y: 4,00	7,43
3,94	338.910	1.333.881	X: -3,20; Y: 4,00	11,43	3,43	338.910	1.163.635	X: -3,20; Y: 4,00	11,43
2,48	178.884	443.997	X: -3,70; Y: 4,00	7,81	2,20	178.884	393.001	X: -3,70; Y: 4,00	7,81
4,19	341.712	1.431.617	X: -3,70; Y: 4,00	11,81	3,65	341.712	1.245.583	X: -3,70; Y: 4,00	11,81
2,79	181.461	505.617	X: -4,20; Y: 4,00	8,20	2,45	181.461	444.724	X: -4,20; Y: 4,00	8,20
4,41	349.089	1.540.457	X: -4,20; Y: 4,00	12,20	3,83	349.089	1.336.825	X: -4,20; Y: 4,00	12,20
1,47	144.721	212.921	X: 0,30; Y: 4,50	5,85	1,44	144.721	208.099	X: 0,30; Y: 4,50	5,85
3,14	292.175	917.564	X: 0,30; Y: 4,50	9,85	2,83	292.175	825.662	X: 0,30; Y: 4,50	9,85
1,40	155.114	217.331	X: -0,20; Y: 4,50	6,04	1,37	155.114	212.153	X: -0,20; Y: 4,50	6,04
3,16	299.786	946.652	X: -0,20; Y: 4,50	10,04	2,83	299.786	849.166	X: -0,20; Y: 4,50	10,04
1,39	163.592	228.115	X: -0,70; Y: 4,50	6,26	1,35	163.592	220.744	X: -0,70; Y: 4,50	6,26
3,21	307.560	987.133	X: -0,70; Y: 4,50	10,26	2,87	307.560	882.083	X: -0,70; Y: 4,50	10,26
1,46	168.998	247.331	X: -1,20; Y: 4,50	6,52	1,40	168.998	235.828	X: -1,20; Y: 4,50	6,52
3,28	315.912	1.036.757	X: -1,20; Y: 4,50	10,52	2,92	315.912	922.852	X: -1,20; Y: 4,50	10,52
1,56	174.164	271.472	X: -1,70; Y: 4,50	6,80	1,46	174.164	254.883	X: -1,70; Y: 4,50	6,80
3,36	326.686	1.097.341	X: -1,70; Y: 4,50	10,80	2,98	326.686	972.822	X: -1,70; Y: 4,50	10,80
1,70	177.849	301.996	X: -2,20; Y: 4,50	7,11	1,57	177.849	279.162	X: -2,20; Y: 4,50	7,11
3,52	331.524	1.165.435	X: -2,20; Y: 4,50	11,11	3,10	331.524	1.029.344	X: -2,20; Y: 4,50	11,11
1,86	182.648	340.445	X: -2,70; Y: 4,50	7,43	1,70	182.648	310.527	X: -2,70; Y: 4,50	7,43
3,69	336.845	1.241.954	X: -2,70; Y: 4,50	11,43	3,25	336.845	1.093.115	X: -2,70; Y: 4,50	11,43
2,09	183.894	384.079	X: -3,20; Y: 4,50	7,78	1,88	183.894	346.185	X: -3,20; Y: 4,50	7,78
3,85	345.156	1.328.965	X: -3,20; Y: 4,50	11,78	3,38	345.156	1.165.725	X: -3,20; Y: 4,50	11,78
2,36	184.762	436.205	X: -3,70; Y: 4,50	8,14	2,11	184.762	389.826	X: -3,70; Y: 4,50	8,14
4,10	347.279	1.422.685	X: -3,70; Y: 4,50	12,14	3,58	347.279	1.244.486	X: -3,70; Y: 4,50	12,14
2,64	187.187	494.533	X: -4,20; Y: 4,50	8,51	2,34	187.187	438.802	X: -4,20; Y: 4,50	8,51
4,31	354.151	1.526.539	X: -4,20; Y: 4,50	12,51	3,76	354.151	1.331.688	X: -4,20; Y: 4,50	12,51
1,46	151.090	221.307	X: 0,30; Y: 5,00	6,32	1,44	151.090	217.777	X: 0,30; Y: 5,00	6,32
3,15	298.427	939.900	X: 0,30; Y: 5,00	10,32	2,85	298.427	849.867	X: 0,30; Y: 5,00	10,32
1,43	158.065	225.461	X: -0,20; Y: 5,00	6,50	1,40	158.065	220.961	X: -0,20; Y: 5,00	6,50
3,15	306.898	968.084	X: -0,20; Y: 5,00	10,50	2,84	306.898	872.495	X: -0,20; Y: 5,00	10,50
1,41	166.460	234.895	X: -0,70; Y: 5,00	6,71	1,37	166.460	228.630	X: -0,70; Y: 5,00	6,71
3,20	313.593	1.003.993	X: -0,70; Y: 5,00	10,71	2,88	313.593	901.791	X: -0,70; Y: 5,00	10,71
1,45	173.040	250.657	X: -1,20; Y: 5,00	6,95	1,39	173.040	241.025	X: -1,20; Y: 5,00	6,95
3,28	320.189	1.050.521	X: -1,20; Y: 5,00	10,95	2,94	320.189	939.988	X: -1,20; Y: 5,00	10,95
1,55	177.154	274.337	X: -1,70; Y: 5,00	7,21	1,47	177.154	259.869	X: -1,70; Y: 5,00	7,21
3,35	330.423	1.107.326	X: -1,70; Y: 5,00	11,21	2,99	330.423	987.007	X: -1,70; Y: 5,00	11,21
1,67	181.280	302.938	X: -2,20; Y: 5,00	7,50	1,56	181.280	282.793	X: -2,20; Y: 5,00	7,50
3,47	337.116	1.171.463	X: -2,20; Y: 5,00	11,50	3,09	337.116	1.040.301	X: -2,20; Y: 5,00	11,50
1,82	185.848	338.759	X: -2,70; Y: 5,00	7,81	1,68	185.848	312.047	X: -2,70; Y: 5,00	7,81
3,65	341.110	1.244.253	X: -2,70; Y: 5,00	11,81	3,23	341.110	1.101.079	X: -2,70; Y: 5,00	11,81
2,02	188.117	380.204	X: -3,20; Y: 5,00	8,14	1,84	188.117	346.065	X: -3,20; Y: 5,00	8,14
3,80	348.846	1.326.833	X: -3,20; Y: 5,00	12,14	3,35	348.846	1.170.163	X: -3,20; Y: 5,00	12,14
2,25	191.051	429.050	X: -3,70; Y: 5,00	8,49	2,02	191.051	386.765	X: -3,70; Y: 5,00	8,49
4,01	353.216	1.416.395	X: -3,70; Y: 5,00	12,49	3,53	353.216	1.245.424	X: -3,70; Y: 5,00	12,49
2,55	189.527	483.695	X: -4,20; Y: 5,00	8,85	2,28	189.527	432.769	X: -4,20; Y: 5,00	8,85
4,21	359.612	1.515.576	X: -4,20; Y: 5,00	12,85	3,70	359.612	1.328.831	X: -4,20; Y: 5,00	12,85
1,50	153.530	230.243	X: 0,30; Y: 5,50	6,80	1,48	153.530	227.024	X: 0,30; Y: 5,50	6,80
3,18	302.641	962.312	X: 0,30; Y: 5,50	10,80	2,89	302.641	873.825	X: 0,30; Y: 5,50	10,80
1,45	160.537	233.370	X: -0,20; Y: 5,50	6,96	1,43	160.537	229.461	X: -0,20; Y: 5,50	6,96
3,16	312.447	988.101	X: -0,20; Y: 5,50	10,96	2,86	312.447	894.711	X: -0,20; Y: 5,50	10,96
1,43	168.569	241.660	X: -0,70; Y: 5,50	7,16	1,40	168.569	236.286	X: -0,70; Y: 5,50	7,16
3,20	319.765	1.022.907	X: -0,70; Y: 5,50	11,16	2,89	319.765	923.059	X: -0,70; Y: 5,50	11,16
1,46	175.453	255.916	X: -1,20; Y: 5,50	7,38	1,41	175.453	247.676	X: -1,20; Y: 5,50	7,38
3,25	328.001	1.066.333	X: -1,20; Y: 5,50	11,38	2,92	328.001	958.850	X: -1,20; Y: 5,50	11,38
1,55	179.402	277.545	X: -1,70; Y: 5,50	7,63	1,48	179.402	264.903	X: -1,70; Y: 5,50	7,63
3,35	333.849	1.118.620	X: -1,70; Y: 5,50	11,63	3,00	333.849	1.002.133	X: -1,70; Y: 5,50	11,63
1,66	183.804	304.325	X: -2,20; Y: 5,50	7,91	1,56	183.804	286.518	X: -2,20; Y: 5,50	7,91

## VERIFICHE DI STABILITA'

Bishop					Fellenius				
CS	FrzRblt	FrzRes	Centro	Raggio	CS	FrzRblt	FrzRes	Centro	Raggio
	[N]	[N]	[m]	[m]		[N]	[N]	[m]	[m]
3,46	340.463	1.179.295	X: -2,20; Y: 5,50	11,91	3,09	340.463	1.052.668	X: -2,20; Y: 5,50	11,91
1,80	187.148	337.195	X: -2,70; Y: 5,50	8,20	1,67	187.148	313.281	X: -2,70; Y: 5,50	8,20
3,60	346.372	1.248.322	X: -2,70; Y: 5,50	12,20	3,21	346.372	1.110.364	X: -2,70; Y: 5,50	12,20
1,97	190.957	377.110	X: -3,20; Y: 5,50	8,51	1,81	190.957	346.333	X: -3,20; Y: 5,50	8,51
3,77	352.127	1.326.949	X: -3,20; Y: 5,50	12,51	3,34	352.127	1.176.330	X: -3,20; Y: 5,50	12,51
2,19	192.738	422.541	X: -3,70; Y: 5,50	8,85	1,99	192.738	384.117	X: -3,70; Y: 5,50	8,85
3,96	356.776	1.412.676	X: -3,70; Y: 5,50	12,85	3,50	356.776	1.248.505	X: -3,70; Y: 5,50	12,85
2,43	195.242	475.280	X: -4,20; Y: 5,50	9,19	2,19	195.242	428.550	X: -4,20; Y: 5,50	9,19
4,18	360.440	1.506.265	X: -4,20; Y: 5,50	13,19	3,68	360.440	1.327.492	X: -4,20; Y: 5,50	13,19
1,54	155.560	238.865	X: 0,30; Y: 6,00	7,28	1,52	155.560	235.913	X: 0,30; Y: 6,00	7,28
3,20	308.021	984.386	X: 0,30; Y: 6,00	11,28	2,91	308.021	897.567	X: 0,30; Y: 6,00	11,28
1,46	164.969	240.482	X: -0,20; Y: 6,00	7,43	1,44	164.969	237.659	X: -0,20; Y: 6,00	7,43
3,19	315.975	1.008.395	X: -0,20; Y: 6,00	11,43	2,90	315.975	916.881	X: -0,20; Y: 6,00	11,43
1,46	170.284	248.338	X: -0,70; Y: 6,00	7,62	1,43	170.284	243.716	X: -0,70; Y: 6,00	7,62
3,20	324.732	1.040.687	X: -0,70; Y: 6,00	11,62	2,91	324.732	943.348	X: -0,70; Y: 6,00	11,62
1,48	177.008	261.318	X: -1,20; Y: 6,00	7,83	1,44	177.008	254.202	X: -1,20; Y: 6,00	7,83
3,27	331.100	1.081.623	X: -1,20; Y: 6,00	11,83	2,95	331.100	977.055	X: -1,20; Y: 6,00	11,83
1,53	182.667	280.189	X: -1,70; Y: 6,00	8,06	1,47	182.667	269.354	X: -1,70; Y: 6,00	8,06
3,34	338.445	1.130.799	X: -1,70; Y: 6,00	12,06	3,01	338.445	1.017.898	X: -1,70; Y: 6,00	12,06
1,65	185.663	306.115	X: -2,20; Y: 6,00	8,32	1,56	185.663	290.345	X: -2,20; Y: 6,00	8,32
3,46	343.565	1.188.445	X: -2,20; Y: 6,00	12,32	3,10	343.565	1.065.977	X: -2,20; Y: 6,00	12,32
1,78	189.321	337.163	X: -2,70; Y: 6,00	8,60	1,67	189.321	315.774	X: -2,70; Y: 6,00	8,60
3,59	349.401	1.254.148	X: -2,70; Y: 6,00	12,60	3,21	349.401	1.121.030	X: -2,70; Y: 6,00	12,60
1,95	192.065	374.167	X: -3,20; Y: 6,00	8,90	1,80	192.065	346.347	X: -3,20; Y: 6,00	8,90
3,74	354.594	1.327.899	X: -3,20; Y: 6,00	12,90	3,34	354.594	1.183.013	X: -3,20; Y: 6,00	12,90
2,14	195.286	418.085	X: -3,70; Y: 6,00	9,22	1,96	195.286	383.163	X: -3,70; Y: 6,00	9,22
3,92	359.906	1.411.080	X: -3,70; Y: 6,00	13,22	3,48	359.906	1.253.202	X: -3,70; Y: 6,00	13,22
2,37	197.813	468.140	X: -4,20; Y: 6,00	9,55	2,15	197.813	425.397	X: -4,20; Y: 6,00	9,55
4,12	363.900	1.501.009	X: -4,20; Y: 6,00	13,55	3,65	363.900	1.329.257	X: -4,20; Y: 6,00	13,55
1,57	157.377	247.056	X: 0,30; Y: 6,50	7,76	1,55	157.377	244.476	X: 0,30; Y: 6,50	7,76
3,20	314.431	1.007.005	X: 0,30; Y: 6,50	11,76	2,93	314.431	921.708	X: 0,30; Y: 6,50	11,76
1,49	166.220	248.127	X: -0,20; Y: 6,50	7,91	1,48	166.220	245.637	X: -0,20; Y: 6,50	7,91
3,21	320.801	1.028.516	X: -0,20; Y: 6,50	11,91	2,93	320.801	938.939	X: -0,20; Y: 6,50	11,91
1,48	171.709	254.918	X: -0,70; Y: 6,50	8,08	1,46	171.709	250.940	X: -0,70; Y: 6,50	8,08
3,23	327.693	1.058.905	X: -0,70; Y: 6,50	12,08	2,94	327.693	963.762	X: -0,70; Y: 6,50	12,08
1,50	178.220	266.746	X: -1,20; Y: 6,50	8,28	1,46	178.220	260.578	X: -1,20; Y: 6,50	8,28
3,27	335.575	1.097.266	X: -1,20; Y: 6,50	12,28	2,97	335.575	995.501	X: -1,20; Y: 6,50	12,28
1,55	183.910	284.237	X: -1,70; Y: 6,50	8,50	1,49	183.910	274.758	X: -1,70; Y: 6,50	8,50
3,35	341.149	1.143.942	X: -1,70; Y: 6,50	12,50	3,03	341.149	1.034.288	X: -1,70; Y: 6,50	12,50
1,63	188.538	307.535	X: -2,20; Y: 6,50	8,75	1,56	188.538	293.687	X: -2,20; Y: 6,50	8,75
3,45	347.734	1.198.540	X: -2,20; Y: 6,50	12,75	3,11	347.734	1.079.948	X: -2,20; Y: 6,50	12,75
1,77	190.897	337.589	X: -2,70; Y: 6,50	9,01	1,67	190.897	318.419	X: -2,70; Y: 6,50	9,01
3,58	352.237	1.261.292	X: -2,70; Y: 6,50	13,01	3,22	352.237	1.132.634	X: -2,70; Y: 6,50	13,01
1,92	193.972	372.770	X: -3,20; Y: 6,50	9,30	1,79	193.972	347.637	X: -3,20; Y: 6,50	9,30
3,73	357.413	1.331.831	X: -3,20; Y: 6,50	13,30	3,34	357.413	1.192.066	X: -3,20; Y: 6,50	13,30
2,10	197.077	414.361	X: -3,70; Y: 6,50	9,60	1,94	197.077	382.575	X: -3,70; Y: 6,50	9,60
3,88	363.863	1.411.222	X: -3,70; Y: 6,50	13,60	3,46	363.863	1.259.139	X: -3,70; Y: 6,50	13,60
2,32	198.999	461.665	X: -4,20; Y: 6,50	9,92	2,12	198.999	422.541	X: -4,20; Y: 6,50	9,92
4,07	368.132	1.497.667	X: -4,20; Y: 6,50	13,92	3,62	368.132	1.332.368	X: -4,20; Y: 6,50	13,92
1,59	160.072	254.308	X: 0,30; Y: 7,00	8,25	1,58	160.072	252.479	X: 0,30; Y: 7,00	8,25
3,24	317.607	1.028.801	X: 0,30; Y: 7,00	12,25	2,97	317.607	944.864	X: 0,30; Y: 7,00	12,25
1,53	166.894	255.106	X: -0,20; Y: 7,00	8,38	1,52	166.894	252.993	X: -0,20; Y: 7,00	8,38
3,24	323.780	1.048.752	X: -0,20; Y: 7,00	12,38	2,97	323.780	960.827	X: -0,20; Y: 7,00	12,38
1,49	174.559	260.605	X: -0,70; Y: 7,00	8,54	1,48	174.559	257.558	X: -0,70; Y: 7,00	8,54
3,24	332.065	1.077.096	X: -0,70; Y: 7,00	12,54	2,96	332.065	984.141	X: -0,70; Y: 7,00	12,54
1,52	178.752	271.839	X: -1,20; Y: 7,00	8,73	1,49	178.752	266.431	X: -1,20; Y: 7,00	8,73
3,29	338.073	1.113.477	X: -1,20; Y: 7,00	12,73	3,00	338.073	1.014.211	X: -1,20; Y: 7,00	12,73
1,56	184.781	288.422	X: -1,70; Y: 7,00	8,94	1,52	184.781	280.095	X: -1,70; Y: 7,00	8,94
3,35	345.178	1.157.555	X: -1,70; Y: 7,00	12,94	3,04	345.178	1.050.972	X: -1,70; Y: 7,00	12,94
1,64	189.645	310.250	X: -2,20; Y: 7,00	9,18	1,57	189.645	297.975	X: -2,20; Y: 7,00	9,18
3,46	350.118	1.209.658	X: -2,20; Y: 7,00	13,18	3,13	350.118	1.094.613	X: -2,20; Y: 7,00	13,18
1,75	193.463	337.799	X: -2,70; Y: 7,00	9,43	1,66	193.463	320.671	X: -2,70; Y: 7,00	9,43
3,57	356.047	1.269.424	X: -2,70; Y: 7,00	13,43	3,22	356.047	1.144.905	X: -2,70; Y: 7,00	13,43
1,90	195.332	371.876	X: -3,20; Y: 7,00	9,71	1,79	195.332	349.126	X: -3,20; Y: 7,00	9,71
3,71	360.023	1.337.079	X: -3,20; Y: 7,00	13,71	3,34	360.023	1.202.046	X: -3,20; Y: 7,00	13,71
2,08	197.944	411.092	X: -3,70; Y: 7,00	10,00	1,93	197.944	382.102	X: -3,70; Y: 7,00	10,00
3,86	366.037	1.413.090	X: -3,70; Y: 7,00	14,00	3,46	366.037	1.266.428	X: -3,70; Y: 7,00	14,00
2,28	200.616	456.638	X: -4,20; Y: 7,00	10,31	2,10	200.616	420.780	X: -4,20; Y: 7,00	10,31
4,04	370.565	1.496.229	X: -4,20; Y: 7,00	14,31	3,61	370.565	1.337.017	X: -4,20; Y: 7,00	14,31
1,64	159.513	261.556	X: 0,30; Y: 7,50	8,73	1,63	159.513	259.681	X: 0,30; Y: 7,50	8,73
3,28	320.636	1.050.298	X: 0,30; Y: 7,50	12,73	3,02	320.636	967.663	X: 0,30; Y: 7,50	12,73
1,57	167.414	262.337	X: -0,20; Y: 7,50	8,86	1,56	167.414	260.457	X: -0,20; Y: 7,50	8,86
3,26	328.048	1.068.707	X: -0,20; Y: 7,50	12,86	3,00	328.048	982.513	X: -0,20; Y: 7,50	12,86
1,52	175.289	267.257	X: -0,70; Y: 7,50	9,01	1,51	175.289	264.627	X: -0,70; Y: 7,50	9,01
3,28	334.507	1.095.541	X: -0,70; Y: 7,50	13,01	3,00	334.507	1.004.501	X: -0,70; Y: 7,50	13,01
1,53	181.615	276.997	X: -1,20; Y: 7,50	9,19	1,50	181.615	272.640	X: -1,20; Y: 7,50	9,19
3,30	341.935	1.129.793	X: -1,20; Y: 7,50	13,19	3,02	341.935	1.032.950	X: -1,20; Y: 7,50	13,19

## VERIFICHE DI STABILITA'

Bishop					Fellenius				
CS	FrzRblt	FrzRes	Centro	Raggio	CS	FrzRblt	FrzRes	Centro	Raggio
	[N]	[N]	[m]	[m]		[N]	[N]	[m]	[m]
1,58	185.125	292.466	X: -1,70; Y: 7,50	9,39	1,54	185.125	285.100	X: -1,70; Y: 7,50	9,39
3,37	347.330	1.171.826	X: -1,70; Y: 7,50	13,39	3,07	347.330	1.068.031	X: -1,70; Y: 7,50	13,39
1,65	190.279	313.210	X: -2,20; Y: 7,50	9,62	1,59	190.279	302.285	X: -2,20; Y: 7,50	9,62
3,45	353.737	1.221.335	X: -2,20; Y: 7,50	13,62	3,14	353.737	1.109.615	X: -2,20; Y: 7,50	13,62
1,74	194.474	339.229	X: -2,70; Y: 7,50	9,86	1,67	194.474	323.859	X: -2,70; Y: 7,50	9,86
3,57	358.164	1.278.615	X: -2,70; Y: 7,50	13,86	3,23	358.164	1.157.922	X: -2,70; Y: 7,50	13,86
1,88	197.653	370.895	X: -3,20; Y: 7,50	10,12	1,77	197.653	350.299	X: -3,20; Y: 7,50	10,12
3,70	363.527	1.343.347	X: -3,20; Y: 7,50	14,12	3,34	363.527	1.212.700	X: -3,20; Y: 7,50	14,12
2,05	199.135	408.918	X: -3,70; Y: 7,50	10,40	1,92	199.135	382.459	X: -3,70; Y: 7,50	10,40
3,86	367.055	1.415.746	X: -3,70; Y: 7,50	14,40	3,47	367.055	1.274.180	X: -3,70; Y: 7,50	14,40
2,25	201.371	452.095	X: -4,20; Y: 7,50	10,70	2,08	201.371	419.168	X: -4,20; Y: 7,50	10,70
4,02	372.596	1.496.362	X: -4,20; Y: 7,50	14,70	3,60	372.596	1.342.800	X: -4,20; Y: 7,50	14,70
1,69	159.181	268.845	X: 0,30; Y: 8,00	9,22	1,68	159.181	267.078	X: 0,30; Y: 8,00	9,22
3,30	324.720	1.071.362	X: 0,30; Y: 8,00	13,22	3,05	324.720	990.138	X: 0,30; Y: 8,00	13,22
1,59	168.909	268.659	X: -0,20; Y: 8,00	9,34	1,58	168.909	267.396	X: -0,20; Y: 8,00	9,34
3,29	331.330	1.089.175	X: -0,20; Y: 8,00	13,34	3,03	331.330	1.004.440	X: -0,20; Y: 8,00	13,34
1,56	175.681	273.689	X: -0,70; Y: 8,00	9,49	1,54	175.681	271.412	X: -0,70; Y: 8,00	9,49
3,29	338.312	1.113.826	X: -0,70; Y: 8,00	13,49	3,03	338.312	1.024.711	X: -0,70; Y: 8,00	13,49
1,55	182.303	282.567	X: -1,20; Y: 8,00	9,66	1,53	182.303	278.824	X: -1,20; Y: 8,00	9,66
3,33	344.064	1.146.456	X: -1,20; Y: 8,00	13,66	3,06	344.064	1.051.790	X: -1,20; Y: 8,00	13,66
1,60	185.798	296.975	X: -1,70; Y: 8,00	9,85	1,56	185.798	290.492	X: -1,70; Y: 8,00	9,85
3,38	350.744	1.186.319	X: -1,70; Y: 8,00	13,85	3,09	350.744	1.085.177	X: -1,70; Y: 8,00	13,85
1,66	190.499	316.181	X: -2,20; Y: 8,00	10,06	1,61	190.499	306.409	X: -2,20; Y: 8,00	10,06
3,47	355.636	1.233.737	X: -2,20; Y: 8,00	14,06	3,16	355.636	1.125.074	X: -2,20; Y: 8,00	14,06
1,75	194.601	340.709	X: -2,70; Y: 8,00	10,30	1,68	194.601	326.835	X: -2,70; Y: 8,00	10,30
3,56	361.441	1.288.441	X: -2,70; Y: 8,00	14,30	3,24	361.441	1.171.312	X: -2,70; Y: 8,00	14,30
1,87	198.508	371.095	X: -3,20; Y: 8,00	10,55	1,78	198.508	352.418	X: -3,20; Y: 8,00	10,55
3,70	365.424	1.350.702	X: -3,20; Y: 8,00	14,55	3,35	365.424	1.224.137	X: -3,20; Y: 8,00	14,55
2,04	199.661	407.045	X: -3,70; Y: 8,00	10,82	1,92	199.661	382.833	X: -3,70; Y: 8,00	10,82
3,84	370.291	1.420.235	X: -3,70; Y: 8,00	14,82	3,47	370.291	1.283.286	X: -3,70; Y: 8,00	14,82
2,22	202.430	448.671	X: -4,20; Y: 8,00	11,10	2,07	202.430	418.412	X: -4,20; Y: 8,00	11,10
3,99	375.610	1.497.755	X: -4,20; Y: 8,00	15,10	3,59	375.610	1.349.397	X: -4,20; Y: 8,00	15,10
1,74	158.969	275.820	X: 0,30; Y: 8,50	9,71	1,72	158.969	274.156	X: 0,30; Y: 8,50	9,71
3,34	327.287	1.092.279	X: 0,30; Y: 8,50	13,71	3,09	327.287	1.012.242	X: 0,30; Y: 8,50	13,71
1,64	168.377	275.347	X: -0,20; Y: 8,50	9,82	1,63	168.377	274.130	X: -0,20; Y: 8,50	9,82
3,31	335.095	1.108.790	X: -0,20; Y: 8,50	13,82	3,06	335.095	1.025.628	X: -0,20; Y: 8,50	13,82
1,60	174.938	279.506	X: -0,70; Y: 8,50	9,96	1,59	174.938	277.657	X: -0,70; Y: 8,50	9,96
3,33	340.423	1.132.237	X: -0,70; Y: 8,50	13,96	3,07	340.423	1.044.820	X: -0,70; Y: 8,50	13,96
1,58	182.582	288.149	X: -1,20; Y: 8,50	10,12	1,56	182.582	284.886	X: -1,20; Y: 8,50	10,12
3,36	346.158	1.163.220	X: -1,20; Y: 8,50	14,12	3,09	346.158	1.070.592	X: -1,20; Y: 8,50	14,12
1,60	187.992	301.134	X: -1,70; Y: 8,50	10,31	1,57	187.992	295.664	X: -1,70; Y: 8,50	10,31
3,41	352.634	1.201.236	X: -1,70; Y: 8,50	14,31	3,13	352.634	1.102.520	X: -1,70; Y: 8,50	14,31
1,67	190.952	319.600	X: -2,20; Y: 8,50	10,51	1,63	190.952	310.875	X: -2,20; Y: 8,50	10,51
3,49	357.486	1.246.585	X: -2,20; Y: 8,50	14,51	3,19	357.486	1.140.760	X: -2,20; Y: 8,50	14,51
1,76	195.079	342.876	X: -2,70; Y: 8,50	10,74	1,69	195.079	330.370	X: -2,70; Y: 8,50	10,74
3,58	363.126	1.299.045	X: -2,70; Y: 8,50	14,74	3,26	363.126	1.185.223	X: -2,70; Y: 8,50	14,74
1,87	198.667	371.433	X: -3,20; Y: 8,50	10,98	1,78	198.667	354.426	X: -3,20; Y: 8,50	10,98
3,69	368.409	1.358.752	X: -3,20; Y: 8,50	14,98	3,35	368.409	1.235.977	X: -3,20; Y: 8,50	14,98
2,01	201.981	405.763	X: -3,70; Y: 8,50	11,24	1,90	201.981	383.632	X: -3,70; Y: 8,50	11,24
3,83	372.004	1.425.832	X: -3,70; Y: 8,50	15,24	3,48	372.004	1.293.203	X: -3,70; Y: 8,50	15,24
2,20	202.886	445.611	X: -4,20; Y: 8,50	11,51	2,06	202.886	417.739	X: -4,20; Y: 8,50	11,51
3,98	376.437	1.500.033	X: -4,20; Y: 8,50	15,51	3,60	376.437	1.356.620	X: -4,20; Y: 8,50	15,51
<b>Verifica 3</b>									
<b>Approccio 1, Combinazione 2 Stato Limite di Resistenza del Terreno senza sisma</b>									
1,56	123.443	192.048	X: 0,30; Y: 4,00	5,39	1,51	123.443	186.021	X: 0,30; Y: 4,00	5,39
3,28	266.777	874.666	X: 0,30; Y: 4,00	9,39	2,93	266.777	781.833	X: 0,30; Y: 4,00	9,39
<b>1,48</b>	<b>134.001</b>	<b>198.630</b>	<b>X: -0,20; Y: 4,00</b>	<b>5,59</b>	<b>1,43</b>	<b>134.001</b>	<b>191.928</b>	<b>X: -0,20; Y: 4,00</b>	<b>5,59</b>
3,32	274.039	908.772	X: -0,20; Y: 4,00	9,59	2,95	274.039	809.487	X: -0,20; Y: 4,00	9,59
1,53	138.693	212.548	X: -0,70; Y: 4,00	5,83	1,46	138.693	202.642	X: -0,70; Y: 4,00	5,83
3,38	282.000	952.585	X: -0,70; Y: 4,00	9,83	3,00	282.000	845.489	X: -0,70; Y: 4,00	9,83
1,59	147.380	233.883	X: -1,20; Y: 4,00	6,10	1,49	147.380	220.129	X: -1,20; Y: 4,00	6,10
3,51	286.871	1.006.182	X: -1,20; Y: 4,00	10,10	3,10	286.871	889.705	X: -1,20; Y: 4,00	10,10
1,71	151.987	260.367	X: -1,70; Y: 4,00	6,40	1,59	151.987	241.275	X: -1,70; Y: 4,00	6,40
3,66	292.192	1.068.840	X: -1,70; Y: 4,00	10,40	3,22	292.192	941.723	X: -1,70; Y: 4,00	10,40
1,87	157.905	294.931	X: -2,20; Y: 4,00	6,73	1,71	157.905	269.441	X: -2,20; Y: 4,00	6,73
3,79	301.662	1.143.231	X: -2,20; Y: 4,00	10,73	3,33	301.662	1.003.645	X: -2,20; Y: 4,00	10,73
2,10	159.623	334.754	X: -2,70; Y: 4,00	7,07	1,89	159.623	301.947	X: -2,70; Y: 4,00	7,07
4,01	305.117	1.223.937	X: -2,70; Y: 4,00	11,07	3,51	305.117	1.071.187	X: -2,70; Y: 4,00	11,07
2,38	161.057	383.195	X: -3,20; Y: 4,00	7,43	2,13	161.057	342.372	X: -3,20; Y: 4,00	7,43
4,23	311.117	1.315.935	X: -3,20; Y: 4,00	11,43	3,69	311.117	1.148.298	X: -3,20; Y: 4,00	11,43
2,71	160.811	436.075	X: -3,70; Y: 4,00	7,81	2,40	160.811	386.517	X: -3,70; Y: 4,00	7,81
4,52	312.883	1.413.698	X: -3,70; Y: 4,00	11,81	3,93	312.883	1.230.664	X: -3,70; Y: 4,00	11,81
3,04	163.529	497.778	X: -4,20; Y: 4,00	8,20	2,68	163.529	438.616	X: -4,20; Y: 4,00	8,20
4,77	319.359	1.522.518	X: -4,20; Y: 4,00	12,20	4,14	319.359	1.322.243	X: -4,20; Y: 4,00	12,20
1,58	126.881	200.501	X: 0,30; Y: 4,50	5,85	1,54	126.881	194.965	X: 0,30; Y: 4,50	5,85
3,26	275.911	898.734	X: 0,30; Y: 4,50	9,85	2,93	275.911	807.150	X: 0,30; Y: 4,50	9,85
1,51	136.809	206.021	X: -0,20; Y: 4,50	6,04	1,46	136.809	200.046	X: -0,20; Y: 4,50	6,04



## VERIFICHE DI STABILITA'

Bishop					Fellenius				
CS	FrzRbIt	FrzRes	Centro	Raggio	CS	FrzRbIt	FrzRes	Centro	Raggio
	[N]	[N]	[m]	[m]		[N]	[N]	[m]	[m]
3,30	281.602	928.027	X: -0,20; Y: 4,50	10,04	2,95	281.602	831.025	X: -0,20; Y: 4,50	10,04
1,50	144.924	217.673	X: -0,70; Y: 4,50	6,26	1,45	144.924	209.584	X: -0,70; Y: 4,50	6,26
3,37	287.567	968.693	X: -0,70; Y: 4,50	10,26	3,01	287.567	864.347	X: -0,70; Y: 4,50	10,26
1,58	150.188	237.506	X: -1,20; Y: 4,50	6,52	1,50	150.188	225.481	X: -1,20; Y: 4,50	6,52
3,46	294.275	1.018.459	X: -1,20; Y: 4,50	10,52	3,08	294.275	905.515	X: -1,20; Y: 4,50	10,52
1,69	155.205	262.109	X: -1,70; Y: 4,50	6,80	1,58	155.205	245.315	X: -1,70; Y: 4,50	6,80
3,56	303.514	1.079.168	X: -1,70; Y: 4,50	10,80	3,15	303.514	955.902	X: -1,70; Y: 4,50	10,80
1,85	158.788	292.968	X: -2,20; Y: 4,50	7,11	1,70	158.788	270.305	X: -2,20; Y: 4,50	7,11
3,74	306.971	1.147.342	X: -2,20; Y: 4,50	11,11	3,30	306.971	1.012.833	X: -2,20; Y: 4,50	11,11
2,03	163.620	331.655	X: -2,70; Y: 4,50	7,43	1,85	163.620	302.264	X: -2,70; Y: 4,50	7,43
3,93	311.032	1.223.908	X: -2,70; Y: 4,50	11,43	3,46	311.032	1.076.995	X: -2,70; Y: 4,50	11,43
2,28	164.876	375.464	X: -3,20; Y: 4,50	7,78	2,05	164.876	338.502	X: -3,20; Y: 4,50	7,78
4,12	318.173	1.310.965	X: -3,20; Y: 4,50	11,78	3,61	318.173	1.150.003	X: -3,20; Y: 4,50	11,78
2,58	165.869	427.720	X: -3,70; Y: 4,50	8,14	2,31	165.869	382.613	X: -3,70; Y: 4,50	8,14
4,40	319.250	1.404.695	X: -3,70; Y: 4,50	12,14	3,85	319.250	1.229.150	X: -3,70; Y: 4,50	12,14
2,89	168.425	486.156	X: -4,20; Y: 4,50	8,51	2,57	168.425	432.014	X: -4,20; Y: 4,50	8,51
4,64	325.167	1.508.556	X: -4,20; Y: 4,50	12,51	4,05	325.167	1.316.719	X: -4,20; Y: 4,50	12,51
1,57	132.527	207.922	X: 0,30; Y: 5,00	6,32	1,54	132.527	203.632	X: 0,30; Y: 5,00	6,32
3,26	282.919	920.979	X: 0,30; Y: 5,00	10,32	2,94	282.919	831.160	X: 0,30; Y: 5,00	10,32
1,53	139.082	213.216	X: -0,20; Y: 5,00	6,50	1,49	139.082	207.870	X: -0,20; Y: 5,00	6,50
3,28	289.496	949.379	X: -0,20; Y: 5,00	10,50	2,95	289.496	854.143	X: -0,20; Y: 5,00	10,50
1,52	147.124	223.578	X: -0,70; Y: 5,00	6,71	1,47	147.124	216.513	X: -0,70; Y: 5,00	6,71
3,35	294.439	985.462	X: -0,70; Y: 5,00	10,71	3,00	294.439	883.798	X: -0,70; Y: 5,00	10,71
1,56	153.461	240.047	X: -1,20; Y: 5,00	6,95	1,50	153.461	229.801	X: -1,20; Y: 5,00	6,95
3,45	299.386	1.032.143	X: -1,20; Y: 5,00	10,95	3,08	299.386	922.385	X: -1,20; Y: 5,00	10,95
1,68	157.493	264.241	X: -1,70; Y: 5,00	7,21	1,58	157.493	249.425	X: -1,70; Y: 5,00	7,21
3,53	308.114	1.089.072	X: -1,70; Y: 5,00	11,21	3,15	308.114	969.785	X: -1,70; Y: 5,00	11,21
1,82	161.530	293.227	X: -2,20; Y: 5,00	7,50	1,69	161.530	273.086	X: -2,20; Y: 5,00	7,50
3,68	313.396	1.153.299	X: -2,20; Y: 5,00	11,50	3,27	313.396	1.023.472	X: -2,20; Y: 5,00	11,50
1,98	166.109	329.334	X: -2,70; Y: 5,00	7,81	1,82	166.109	302.983	X: -2,70; Y: 5,00	7,81
3,88	316.115	1.226.150	X: -2,70; Y: 5,00	11,81	3,43	316.115	1.084.637	X: -2,70; Y: 5,00	11,81
2,20	168.382	370.995	X: -3,20; Y: 5,00	8,14	2,01	168.382	337.611	X: -3,20; Y: 5,00	8,14
4,06	322.681	1.308.775	X: -3,20; Y: 5,00	12,14	3,58	322.681	1.154.095	X: -3,20; Y: 5,00	12,14
2,45	171.415	420.005	X: -3,70; Y: 5,00	8,49	2,21	171.415	378.830	X: -3,70; Y: 5,00	8,49
4,29	325.969	1.398.354	X: -3,70; Y: 5,00	12,49	3,77	325.969	1.229.725	X: -3,70; Y: 5,00	12,49
2,79	169.967	474.780	X: -4,20; Y: 5,00	8,85	2,50	169.967	425.336	X: -4,20; Y: 5,00	8,85
4,52	331.372	1.497.549	X: -4,20; Y: 5,00	12,85	3,96	331.372	1.313.502	X: -4,20; Y: 5,00	12,85
1,61	134.385	215.903	X: 0,30; Y: 5,50	6,80	1,58	134.385	211.905	X: 0,30; Y: 5,50	6,80
3,28	287.805	943.308	X: 0,30; Y: 5,50	10,80	2,97	287.805	854.959	X: 0,30; Y: 5,50	10,80
1,56	140.963	220.216	X: -0,20; Y: 5,50	6,96	1,53	140.963	215.420	X: -0,20; Y: 5,50	6,96
3,28	295.795	969.305	X: -0,20; Y: 5,50	10,96	2,96	295.795	876.160	X: -0,20; Y: 5,50	10,96
1,54	148.666	229.476	X: -0,70; Y: 5,50	7,16	1,50	148.666	223.242	X: -0,70; Y: 5,50	7,16
3,33	301.377	1.004.297	X: -0,70; Y: 5,50	11,16	3,00	301.377	904.856	X: -0,70; Y: 5,50	11,16
1,57	155.287	244.507	X: -1,20; Y: 5,50	7,38	1,52	155.287	235.552	X: -1,20; Y: 5,50	7,38
3,40	308.004	1.047.875	X: -1,20; Y: 5,50	11,38	3,06	308.004	940.996	X: -1,20; Y: 5,50	11,38
1,68	159.126	266.712	X: -1,70; Y: 5,50	7,63	1,59	159.126	253.600	X: -1,70; Y: 5,50	7,63
3,52	312.339	1.100.287	X: -1,70; Y: 5,50	11,63	3,15	312.339	984.653	X: -1,70; Y: 5,50	11,63
1,80	163.446	293.929	X: -2,20; Y: 5,50	7,91	1,69	163.446	275.981	X: -2,20; Y: 5,50	7,91
3,66	317.566	1.161.055	X: -2,20; Y: 5,50	11,91	3,26	317.566	1.035.553	X: -2,20; Y: 5,50	11,91
1,96	166.747	327.131	X: -2,70; Y: 5,50	8,20	1,82	166.747	303.447	X: -2,70; Y: 5,50	8,20
3,82	322.170	1.230.153	X: -2,70; Y: 5,50	12,20	3,39	322.170	1.093.620	X: -2,70; Y: 5,50	12,20
2,15	170.598	367.301	X: -3,20; Y: 5,50	8,51	1,98	170.598	337.117	X: -3,20; Y: 5,50	8,51
4,01	326.741	1.308.832	X: -3,20; Y: 5,50	12,51	3,55	326.741	1.159.955	X: -3,20; Y: 5,50	12,51
2,40	172.409	412.930	X: -3,70; Y: 5,50	8,85	2,18	172.409	375.487	X: -3,70; Y: 5,50	8,85
4,22	330.298	1.394.584	X: -3,70; Y: 5,50	12,85	3,73	330.298	1.232.488	X: -3,70; Y: 5,50	12,85
2,66	175.026	465.829	X: -4,20; Y: 5,50	9,19	2,40	175.026	420.425	X: -4,20; Y: 5,50	9,19
4,47	332.957	1.488.178	X: -4,20; Y: 5,50	13,19	3,94	332.957	1.311.821	X: -4,20; Y: 5,50	13,19
1,65	135.912	223.599	X: 0,30; Y: 6,00	7,28	1,62	135.912	219.858	X: 0,30; Y: 6,00	7,28
3,29	293.828	965.303	X: 0,30; Y: 6,00	11,28	2,99	293.828	878.558	X: 0,30; Y: 6,00	11,28
1,56	144.874	226.443	X: -0,20; Y: 6,00	7,43	1,54	144.874	222.700	X: -0,20; Y: 6,00	7,43
3,30	299.995	989.517	X: -0,20; Y: 6,00	11,43	2,99	299.995	898.170	X: -0,20; Y: 6,00	11,43
1,57	149.883	235.304	X: -0,70; Y: 6,00	7,62	1,53	149.883	229.775	X: -0,70; Y: 6,00	7,62
3,33	307.070	1.021.991	X: -0,70; Y: 6,00	11,62	3,01	307.070	924.950	X: -0,70; Y: 6,00	11,62
1,59	156.356	249.105	X: -1,20; Y: 6,00	7,83	1,54	156.356	241.203	X: -1,20; Y: 6,00	7,83
3,41	311.848	1.063.083	X: -1,20; Y: 6,00	11,83	3,08	311.848	958.996	X: -1,20; Y: 6,00	11,83
1,66	161.828	268.623	X: -1,70; Y: 6,00	8,06	1,59	161.828	257.225	X: -1,70; Y: 6,00	8,06
3,50	317.711	1.112.384	X: -1,70; Y: 6,00	12,06	3,15	317.711	1.000.175	X: -1,70; Y: 6,00	12,06
1,79	164.767	295.035	X: -2,20; Y: 6,00	8,32	1,69	164.767	278.995	X: -2,20; Y: 6,00	8,32
3,64	321.433	1.170.133	X: -2,20; Y: 6,00	12,32	3,26	321.433	1.048.613	X: -2,20; Y: 6,00	12,32
1,94	168.385	326.458	X: -2,70; Y: 6,00	8,60	1,81	168.385	305.153	X: -2,70; Y: 6,00	8,60
3,79	325.984	1.235.909	X: -2,70; Y: 6,00	12,60	3,39	325.984	1.104.015	X: -2,70; Y: 6,00	12,60
2,13	171.119	363.755	X: -3,20; Y: 6,00	8,90	1,97	171.119	336.396	X: -3,20; Y: 6,00	8,90
3,97	329.969	1.309.712	X: -3,20; Y: 6,00	12,90	3,53	329.969	1.166.349	X: -3,20; Y: 6,00	12,90
2,34	174.403	407.905	X: -3,70; Y: 6,00	9,22	2,14	174.403	373.806	X: -3,70; Y: 6,00	9,22
4,17	334.171	1.392.933	X: -3,70; Y: 6,00	13,22	3,70	334.171	1.236.892	X: -3,70; Y: 6,00	13,22
2,59	177.012	458.150	X: -4,20; Y: 6,00	9,55	2,35	177.012	416.585	X: -4,20; Y: 6,00	9,55
4,40	337.142	1.482.876	X: -4,20; Y: 6,00	13,55	3,90	337.142	1.313.288	X: -4,20; Y: 6,00	13,55

## VERIFICHE DI STABILITA'

Bishop					Fellenius				
CS	FrzRbIt	FrzRes	Centro	Raggio	CS	FrzRbIt	FrzRes	Centro	Raggio
	[N]	[N]	[m]	[m]		[N]	[N]	[m]	[m]
1,68	137.280	231.010	X: 0,30; Y: 6,50	7,76	1,66	137.280	227.517	X: 0,30; Y: 6,50	7,76
3,28	300.808	987.850	X: 0,30; Y: 6,50	11,76	3,00	300.808	902.578	X: 0,30; Y: 6,50	11,76
1,60	145.703	233.210	X: -0,20; Y: 6,50	7,91	1,58	145.703	229.790	X: -0,20; Y: 6,50	7,91
3,30	305.466	1.009.559	X: -0,20; Y: 6,50	11,91	3,01	305.466	920.077	X: -0,20; Y: 6,50	11,91
1,60	150.866	241.053	X: -0,70; Y: 6,50	8,08	1,57	150.866	236.129	X: -0,70; Y: 6,50	8,08
3,35	310.706	1.040.129	X: -0,70; Y: 6,50	12,08	3,04	310.706	945.202	X: -0,70; Y: 6,50	12,08
1,61	157.137	253.742	X: -1,20; Y: 6,50	8,28	1,57	157.137	246.730	X: -1,20; Y: 6,50	8,28
3,40	317.024	1.078.645	X: -1,20; Y: 6,50	12,28	3,08	317.024	977.249	X: -1,20; Y: 6,50	12,28
1,67	162.639	271.928	X: -1,70; Y: 6,50	8,50	1,61	162.639	261.801	X: -1,70; Y: 6,50	8,50
3,50	321.137	1.125.450	X: -1,70; Y: 6,50	12,50	3,16	321.137	1.016.363	X: -1,70; Y: 6,50	12,50
1,77	167.146	295.769	X: -2,20; Y: 6,50	8,75	1,68	167.146	281.554	X: -2,20; Y: 6,50	8,75
3,62	326.349	1.180.151	X: -2,20; Y: 6,50	12,75	3,26	326.349	1.062.348	X: -2,20; Y: 6,50	12,75
1,92	169.482	326.244	X: -2,70; Y: 6,50	9,01	1,81	169.482	307.027	X: -2,70; Y: 6,50	9,01
3,77	329.553	1.242.985	X: -2,70; Y: 6,50	13,01	3,38	329.553	1.115.376	X: -2,70; Y: 6,50	13,01
2,10	172.547	361.755	X: -3,20; Y: 6,50	9,30	1,95	172.547	336.939	X: -3,20; Y: 6,50	9,30
3,94	333.533	1.313.581	X: -3,20; Y: 6,50	13,30	3,52	333.533	1.175.144	X: -3,20; Y: 6,50	13,30
2,30	175.695	403.611	X: -3,70; Y: 6,50	9,60	2,12	175.695	372.504	X: -3,70; Y: 6,50	9,60
4,11	338.863	1.393.015	X: -3,70; Y: 6,50	13,60	3,67	338.863	1.242.550	X: -3,70; Y: 6,50	13,60
2,54	177.667	451.132	X: -4,20; Y: 6,50	9,92	2,32	177.667	413.055	X: -4,20; Y: 6,50	9,92
4,32	342.084	1.479.484	X: -4,20; Y: 6,50	13,92	3,85	342.084	1.316.117	X: -4,20; Y: 6,50	13,92
1,69	140.615	237.657	X: 0,30; Y: 7,00	8,25	1,67	140.615	234.952	X: 0,30; Y: 7,00	8,25
3,32	304.534	1.009.575	X: 0,30; Y: 7,00	12,25	3,04	304.534	925.624	X: 0,30; Y: 7,00	12,25
1,64	145.984	239.479	X: -0,20; Y: 7,00	8,38	1,62	145.984	236.294	X: -0,20; Y: 7,00	8,38
3,33	309.026	1.029.721	X: -0,20; Y: 7,00	12,38	3,05	309.026	941.844	X: -0,20; Y: 7,00	12,38
1,60	153.301	245.929	X: -0,70; Y: 7,00	8,54	1,58	153.301	241.914	X: -0,70; Y: 7,00	8,54
3,35	315.703	1.058.242	X: -0,70; Y: 7,00	12,54	3,06	315.703	965.429	X: -0,70; Y: 7,00	12,54
1,64	157.263	258.058	X: -1,20; Y: 7,00	8,73	1,60	157.263	251.765	X: -1,20; Y: 7,00	8,73
3,42	320.194	1.094.776	X: -1,20; Y: 7,00	12,73	3,11	320.194	995.793	X: -1,20; Y: 7,00	12,73
1,69	163.129	275.375	X: -1,70; Y: 7,00	8,94	1,63	163.129	266.333	X: -1,70; Y: 7,00	8,94
3,50	325.844	1.138.986	X: -1,70; Y: 7,00	12,94	3,17	325.844	1.032.857	X: -1,70; Y: 7,00	12,94
1,77	167.856	297.798	X: -2,20; Y: 7,00	9,18	1,70	167.856	285.057	X: -2,20; Y: 7,00	9,18
3,62	329.430	1.191.195	X: -2,20; Y: 7,00	13,18	3,27	329.430	1.076.812	X: -2,20; Y: 7,00	13,18
1,90	171.606	325.813	X: -2,70; Y: 7,00	9,43	1,80	171.606	308.533	X: -2,70; Y: 7,00	9,43
3,74	334.082	1.251.045	X: -2,70; Y: 7,00	13,43	3,37	334.082	1.127.419	X: -2,70; Y: 7,00	13,43
2,08	173.475	360.259	X: -3,20; Y: 7,00	9,71	1,95	173.475	337.695	X: -3,20; Y: 7,00	9,71
3,92	336.848	1.318.765	X: -3,20; Y: 7,00	13,71	3,52	336.848	1.184.890	X: -3,20; Y: 7,00	13,71
2,27	176.100	399.771	X: -3,70; Y: 7,00	10,00	2,11	176.100	371.333	X: -3,70; Y: 7,00	10,00
4,08	341.744	1.394.824	X: -3,70; Y: 7,00	14,00	3,66	341.744	1.249.594	X: -3,70; Y: 7,00	14,00
2,49	178.832	445.565	X: -4,20; Y: 7,00	10,31	2,30	178.832	410.612	X: -4,20; Y: 7,00	10,31
4,28	345.227	1.477.989	X: -4,20; Y: 7,00	14,31	3,83	345.227	1.320.498	X: -4,20; Y: 7,00	14,31
1,73	141.082	244.415	X: 0,30; Y: 7,50	8,73	1,71	141.082	241.820	X: 0,30; Y: 7,50	8,73
3,35	308.052	1.031.010	X: 0,30; Y: 7,50	12,73	3,08	308.052	948.329	X: 0,30; Y: 7,50	12,73
1,68	146.770	246.025	X: -0,20; Y: 7,50	8,86	1,66	146.770	243.114	X: -0,20; Y: 7,50	8,86
3,34	313.846	1.049.605	X: -0,20; Y: 7,50	12,86	3,07	313.846	963.411	X: -0,20; Y: 7,50	12,86
1,64	153.722	251.772	X: -0,70; Y: 7,50	9,01	1,61	153.722	248.160	X: -0,70; Y: 7,50	9,01
3,38	318.745	1.076.612	X: -0,70; Y: 7,50	13,01	3,09	318.745	985.658	X: -0,70; Y: 7,50	13,01
1,64	159.792	262.452	X: -1,20; Y: 7,50	9,19	1,61	159.792	257.170	X: -1,20; Y: 7,50	9,19
3,42	324.672	1.111.017	X: -1,20; Y: 7,50	13,19	3,12	324.672	1.014.380	X: -1,20; Y: 7,50	13,19
1,71	163.119	278.694	X: -1,70; Y: 7,50	9,39	1,66	163.119	270.558	X: -1,70; Y: 7,50	9,39
3,51	328.658	1.153.182	X: -1,70; Y: 7,50	13,39	3,19	328.658	1.049.747	X: -1,70; Y: 7,50	13,39
1,78	168.149	300.072	X: -2,20; Y: 7,50	9,62	1,72	168.149	288.600	X: -2,20; Y: 7,50	9,62
3,60	333.709	1.202.802	X: -2,20; Y: 7,50	13,62	3,27	333.709	1.091.628	X: -2,20; Y: 7,50	13,62
1,90	172.247	326.605	X: -2,70; Y: 7,50	9,86	1,81	172.247	310.976	X: -2,70; Y: 7,50	9,86
3,74	336.874	1.260.170	X: -2,70; Y: 7,50	13,86	3,38	336.874	1.140.239	X: -2,70; Y: 7,50	13,86
2,04	175.397	358.676	X: -3,20; Y: 7,50	10,12	1,93	175.397	338.155	X: -3,20; Y: 7,50	10,12
3,89	341.043	1.324.967	X: -3,20; Y: 7,50	14,12	3,50	341.043	1.195.322	X: -3,20; Y: 7,50	14,12
2,24	176.900	397.030	X: -3,70; Y: 7,50	10,40	2,10	176.900	370.992	X: -3,70; Y: 7,50	10,40
4,07	343.438	1.397.417	X: -3,70; Y: 7,50	14,40	3,66	343.438	1.257.117	X: -3,70; Y: 7,50	14,40
2,46	179.167	440.480	X: -4,20; Y: 7,50	10,70	2,28	179.167	408.334	X: -4,20; Y: 7,50	10,70
4,25	347.930	1.478.068	X: -4,20; Y: 7,50	14,70	3,81	347.930	1.326.046	X: -4,20; Y: 7,50	14,70
1,77	141.796	251.345	X: 0,30; Y: 8,00	9,22	1,76	141.796	248.882	X: 0,30; Y: 8,00	9,22
3,37	312.610	1.052.012	X: 0,30; Y: 8,00	13,22	3,11	312.610	970.718	X: 0,30; Y: 8,00	13,22
1,69	149.313	251.940	X: -0,20; Y: 8,00	9,34	1,67	149.313	249.696	X: -0,20; Y: 8,00	9,34
3,37	317.638	1.070.008	X: -0,20; Y: 8,00	13,34	3,10	317.638	985.242	X: -0,20; Y: 8,00	13,34
1,67	154.057	257.484	X: -0,70; Y: 8,00	9,49	1,65	154.057	254.220	X: -0,70; Y: 8,00	9,49
3,39	323.094	1.094.828	X: -0,70; Y: 8,00	13,49	3,11	323.094	1.005.751	X: -0,70; Y: 8,00	13,49
1,67	160.180	267.271	X: -1,20; Y: 8,00	9,66	1,64	160.180	262.571	X: -1,20; Y: 8,00	9,66
3,44	327.399	1.127.607	X: -1,20; Y: 8,00	13,66	3,16	327.399	1.033.085	X: -1,20; Y: 8,00	13,66
1,73	163.494	282.485	X: -1,70; Y: 8,00	9,85	1,68	163.494	275.183	X: -1,70; Y: 8,00	9,85
3,51	332.678	1.167.604	X: -1,70; Y: 8,00	13,85	3,21	332.678	1.066.744	X: -1,70; Y: 8,00	13,85
1,80	168.053	302.363	X: -2,20; Y: 8,00	10,06	1,74	168.053	291.980	X: -2,20; Y: 8,00	10,06
3,61	336.253	1.215.132	X: -2,20; Y: 8,00	14,06	3,29	336.253	1.106.917	X: -2,20; Y: 8,00	14,06
1,90	172.049	327.444	X: -2,70; Y: 8,00	10,30	1,82	172.049	313.226	X: -2,70; Y: 8,00	10,30
3,73	340.791	1.269.928	X: -2,70; Y: 8,00	14,30	3,38	340.791	1.153.446	X: -2,70; Y: 8,00	14,30
2,04	175.913	358.278	X: -3,20; Y: 8,00	10,55	1,93	175.913	339.565	X: -3,20; Y: 8,00	10,55
3,88	343.592	1.332.260	X: -3,20; Y: 8,00	14,55	3,51	343.592	1.206.566	X: -3,20; Y: 8,00	14,55
2,23	177.061	394.590	X: -3,70; Y: 8,00	10,82	2,09	177.061	370.685	X: -3,70; Y: 8,00	10,82

## VERIFICHE DI STABILITA'

Bishop					Fellenius				
CS	FrzRbIt	FrzRes	Centro	Raggio	CS	FrzRbIt	FrzRes	Centro	Raggio
	[N]	[N]	[m]	[m]		[N]	[N]	[m]	[m]
4,04	347.341	1.401.845	X: -3,70; Y: 8,00	14,82	3,64	347.341	1.266.007	X: -3,70; Y: 8,00	14,82
2,43	179.866	436.518	X: -4,20; Y: 8,00	11,10	2,26	179.866	406.912	X: -4,20; Y: 8,00	11,10
4,21	351.594	1.479.408	X: -4,20; Y: 8,00	15,10	3,79	351.594	1.332.423	X: -4,20; Y: 8,00	15,10
1,81	142.467	258.042	X: 0,30; Y: 8,50	9,71	1,79	142.467	255.709	X: 0,30; Y: 8,50	9,71
3,40	315.601	1.072.874	X: 0,30; Y: 8,50	13,71	3,15	315.601	992.750	X: 0,30; Y: 8,50	13,71
1,72	149.774	258.161	X: -0,20; Y: 8,50	9,82	1,71	149.774	256.110	X: -0,20; Y: 8,50	9,82
3,39	321.874	1.089.563	X: -0,20; Y: 8,50	13,82	3,13	321.874	1.006.338	X: -0,20; Y: 8,50	13,82
1,70	154.338	263.075	X: -0,70; Y: 8,50	9,96	1,69	154.338	260.116	X: -0,70; Y: 8,50	9,96
3,42	325.734	1.113.172	X: -0,70; Y: 8,50	13,96	3,15	325.734	1.025.754	X: -0,70; Y: 8,50	13,96
1,70	160.212	272.107	X: -1,20; Y: 8,50	10,12	1,67	160.212	267.872	X: -1,20; Y: 8,50	10,12
3,47	330.038	1.144.304	X: -1,20; Y: 8,50	14,12	3,19	330.038	1.051.766	X: -1,20; Y: 8,50	14,12
1,73	165.416	285.940	X: -1,70; Y: 8,50	10,31	1,69	165.416	279.609	X: -1,70; Y: 8,50	10,31
3,53	335.158	1.182.450	X: -1,70; Y: 8,50	14,31	3,23	335.158	1.083.945	X: -1,70; Y: 8,50	14,31
1,81	168.236	305.111	X: -2,20; Y: 8,50	10,51	1,76	168.236	295.715	X: -2,20; Y: 8,50	10,51
3,63	338.697	1.227.912	X: -2,20; Y: 8,50	14,51	3,31	338.697	1.122.455	X: -2,20; Y: 8,50	14,51
1,91	172.255	328.974	X: -2,70; Y: 8,50	10,74	1,83	172.255	316.045	X: -2,70; Y: 8,50	10,74
3,73	343.103	1.280.465	X: -2,70; Y: 8,50	14,74	3,40	343.103	1.167.188	X: -2,70; Y: 8,50	14,74
2,04	175.767	358.015	X: -3,20; Y: 8,50	10,98	1,94	175.767	340.882	X: -3,20; Y: 8,50	10,98
3,86	347.197	1.340.247	X: -3,20; Y: 8,50	14,98	3,51	347.197	1.218.226	X: -3,20; Y: 8,50	14,98
2,19	179.069	392.744	X: -3,70; Y: 8,50	11,24	2,07	179.069	370.808	X: -3,70; Y: 8,50	11,24
4,02	349.683	1.407.384	X: -3,70; Y: 8,50	15,24	3,65	349.683	1.275.735	X: -3,70; Y: 8,50	15,24
2,41	179.985	432.922	X: -4,20; Y: 8,50	11,51	2,25	179.985	405.586	X: -4,20; Y: 8,50	11,51
4,20	353.066	1.481.625	X: -4,20; Y: 8,50	15,51	3,79	353.066	1.339.435	X: -4,20; Y: 8,50	15,51

## Verifica 4

## Approccio 1, Combinazione 2 Stato Limite di Resistenza del Terreno senza sisma

1,45	140.443	203.470	X: 0,30; Y: 4,00	5,39	1,41	140.443	198.105	X: 0,30; Y: 4,00	5,39
3,15	283.837	893.415	X: 0,30; Y: 4,00	9,39	2,82	283.837	800.132	X: 0,30; Y: 4,00	9,39
<b>1,38</b>	<b>151.520</b>	<b>208.985</b>	<b>X: -0,20; Y: 4,00</b>	<b>5,59</b>	<b>1,34</b>	<b>151.520</b>	<b>203.014</b>	<b>X: -0,20; Y: 4,00</b>	<b>5,59</b>
3,16	293.093	927.300	X: -0,20; Y: 4,00	9,59	2,82	293.093	827.364	X: -0,20; Y: 4,00	9,59
1,42	156.546	222.125	X: -0,70; Y: 4,00	5,83	1,36	156.546	212.815	X: -0,70; Y: 4,00	5,83
3,21	302.864	970.941	X: -0,70; Y: 4,00	9,83	2,85	302.864	862.951	X: -0,70; Y: 4,00	9,83
1,47	165.362	242.916	X: -1,20; Y: 4,00	6,10	1,39	165.362	229.548	X: -1,20; Y: 4,00	6,10
3,31	309.416	1.024.395	X: -1,20; Y: 4,00	10,10	2,93	309.416	906.720	X: -1,20; Y: 4,00	10,10
1,58	170.141	268.999	X: -1,70; Y: 4,00	6,40	1,47	170.141	249.945	X: -1,70; Y: 4,00	6,40
3,44	316.241	1.086.953	X: -1,70; Y: 4,00	10,40	3,03	316.241	958.310	X: -1,70; Y: 4,00	10,40
1,72	176.075	303.291	X: -2,20; Y: 4,00	6,73	1,58	176.075	277.501	X: -2,20; Y: 4,00	6,73
3,55	327.084	1.161.262	X: -2,20; Y: 4,00	10,73	3,12	327.084	1.019.815	X: -2,20; Y: 4,00	10,73
1,93	177.818	342.920	X: -2,70; Y: 4,00	7,07	1,74	177.818	309.404	X: -2,70; Y: 4,00	7,07
3,74	331.790	1.241.921	X: -2,70; Y: 4,00	11,07	3,28	331.790	1.086.930	X: -2,70; Y: 4,00	11,07
2,18	179.153	391.226	X: -3,20; Y: 4,00	7,43	1,95	179.153	349.352	X: -3,20; Y: 4,00	7,43
3,94	338.910	1.333.881	X: -3,20; Y: 4,00	11,43	3,43	338.910	1.163.635	X: -3,20; Y: 4,00	11,43
2,48	178.884	443.997	X: -3,70; Y: 4,00	7,81	2,20	178.884	393.001	X: -3,70; Y: 4,00	7,81
4,19	341.712	1.431.617	X: -3,70; Y: 4,00	11,81	3,65	341.712	1.245.583	X: -3,70; Y: 4,00	11,81
2,79	181.461	505.617	X: -4,20; Y: 4,00	8,20	2,45	181.461	444.724	X: -4,20; Y: 4,00	8,20
4,41	349.089	1.540.457	X: -4,20; Y: 4,00	12,20	3,83	349.089	1.336.825	X: -4,20; Y: 4,00	12,20
1,47	144.721	212.921	X: 0,30; Y: 4,50	5,85	1,44	144.721	208.099	X: 0,30; Y: 4,50	5,85
3,14	292.175	917.564	X: 0,30; Y: 4,50	9,85	2,83	292.175	825.662	X: 0,30; Y: 4,50	9,85
1,40	155.114	217.331	X: -0,20; Y: 4,50	6,04	1,37	155.114	212.153	X: -0,20; Y: 4,50	6,04
3,16	299.786	946.652	X: -0,20; Y: 4,50	10,04	2,83	299.786	849.166	X: -0,20; Y: 4,50	10,04
1,39	163.592	228.115	X: -0,70; Y: 4,50	6,26	1,35	163.592	220.744	X: -0,70; Y: 4,50	6,26
3,21	307.560	987.133	X: -0,70; Y: 4,50	10,26	2,87	307.560	882.083	X: -0,70; Y: 4,50	10,26
1,46	168.998	247.331	X: -1,20; Y: 4,50	6,52	1,40	168.998	235.828	X: -1,20; Y: 4,50	6,52
3,28	315.912	1.036.757	X: -1,20; Y: 4,50	10,52	2,92	315.912	922.852	X: -1,20; Y: 4,50	10,52
1,56	174.164	271.472	X: -1,70; Y: 4,50	6,80	1,46	174.164	254.883	X: -1,70; Y: 4,50	6,80
3,36	326.686	1.097.341	X: -1,70; Y: 4,50	10,80	2,98	326.686	972.822	X: -1,70; Y: 4,50	10,80
1,70	177.849	301.996	X: -2,20; Y: 4,50	7,11	1,57	177.849	279.162	X: -2,20; Y: 4,50	7,11
3,52	331.524	1.165.435	X: -2,20; Y: 4,50	11,11	3,10	331.524	1.029.344	X: -2,20; Y: 4,50	11,11
1,86	182.648	340.445	X: -2,70; Y: 4,50	7,43	1,70	182.648	310.527	X: -2,70; Y: 4,50	7,43
3,69	336.845	1.241.954	X: -2,70; Y: 4,50	11,43	3,25	336.845	1.093.115	X: -2,70; Y: 4,50	11,43
2,09	183.894	384.079	X: -3,20; Y: 4,50	7,78	1,88	183.894	346.185	X: -3,20; Y: 4,50	7,78
3,85	345.156	1.328.965	X: -3,20; Y: 4,50	11,78	3,38	345.156	1.165.725	X: -3,20; Y: 4,50	11,78
2,36	184.762	436.205	X: -3,70; Y: 4,50	8,14	2,11	184.762	389.826	X: -3,70; Y: 4,50	8,14
4,10	347.279	1.422.685	X: -3,70; Y: 4,50	12,14	3,58	347.279	1.244.486	X: -3,70; Y: 4,50	12,14
2,64	187.187	494.533	X: -4,20; Y: 4,50	8,51	2,34	187.187	438.802	X: -4,20; Y: 4,50	8,51
4,31	354.151	1.526.539	X: -4,20; Y: 4,50	12,51	3,76	354.151	1.331.688	X: -4,20; Y: 4,50	12,51
1,46	151.090	221.307	X: 0,30; Y: 5,00	6,32	1,44	151.090	217.777	X: 0,30; Y: 5,00	6,32
3,15	298.427	939.900	X: 0,30; Y: 5,00	10,32	2,85	298.427	849.867	X: 0,30; Y: 5,00	10,32
1,43	158.065	225.461	X: -0,20; Y: 5,00	6,50	1,40	158.065	220.961	X: -0,20; Y: 5,00	6,50
3,15	306.898	968.084	X: -0,20; Y: 5,00	10,50	2,84	306.898	872.495	X: -0,20; Y: 5,00	10,50
1,41	166.460	234.895	X: -0,70; Y: 5,00	6,71	1,37	166.460	228.630	X: -0,70; Y: 5,00	6,71
3,20	313.593	1.003.993	X: -0,70; Y: 5,00	10,71	2,88	313.593	901.791	X: -0,70; Y: 5,00	10,71
1,45	173.040	250.657	X: -1,20; Y: 5,00	6,95	1,39	173.040	241.025	X: -1,20; Y: 5,00	6,95
3,28	320.189	1.050.521	X: -1,20; Y: 5,00	10,95	2,94	320.189	939.988	X: -1,20; Y: 5,00	10,95
1,55	177.154	274.337	X: -1,70; Y: 5,00	7,21	1,47	177.154	259.869	X: -1,70; Y: 5,00	7,21
3,35	330.423	1.107.326	X: -1,70; Y: 5,00	11,21	2,99	330.423	987.007	X: -1,70; Y: 5,00	11,21
1,67	181.280	302.938	X: -2,20; Y: 5,00	7,50	1,56	181.280	282.793	X: -2,20; Y: 5,00	7,50
3,47	337.116	1.171.463	X: -2,20; Y: 5,00	11,50	3,09	337.116	1.040.301	X: -2,20; Y: 5,00	11,50

## VERIFICHE DI STABILITA'

Bishop					Fellenius				
CS	FrzRbIt	FrzRes	Centro	Raggio	CS	FrzRbIt	FrzRes	Centro	Raggio
	[N]	[N]	[m]	[m]		[N]	[N]	[m]	[m]
1,82	185.848	338.759	X: -2,70; Y: 5,00	7,81	1,68	185.848	312.047	X: -2,70; Y: 5,00	7,81
3,65	341.110	1.244.253	X: -2,70; Y: 5,00	11,81	3,23	341.110	1.101.079	X: -2,70; Y: 5,00	11,81
2,02	188.117	380.204	X: -3,20; Y: 5,00	8,14	1,84	188.117	346.065	X: -3,20; Y: 5,00	8,14
3,80	348.846	1.326.833	X: -3,20; Y: 5,00	12,14	3,35	348.846	1.170.163	X: -3,20; Y: 5,00	12,14
2,25	191.051	429.050	X: -3,70; Y: 5,00	8,49	2,02	191.051	386.765	X: -3,70; Y: 5,00	8,49
4,01	353.216	1.416.395	X: -3,70; Y: 5,00	12,49	3,53	353.216	1.245.424	X: -3,70; Y: 5,00	12,49
2,55	189.527	483.695	X: -4,20; Y: 5,00	8,85	2,28	189.527	432.769	X: -4,20; Y: 5,00	8,85
4,21	359.612	1.515.576	X: -4,20; Y: 5,00	12,85	3,70	359.612	1.328.831	X: -4,20; Y: 5,00	12,85
1,50	153.530	230.243	X: 0,30; Y: 5,50	6,80	1,48	153.530	227.024	X: 0,30; Y: 5,50	6,80
3,18	302.641	962.312	X: 0,30; Y: 5,50	10,80	2,89	302.641	873.825	X: 0,30; Y: 5,50	10,80
1,45	160.537	233.370	X: -0,20; Y: 5,50	6,96	1,43	160.537	229.461	X: -0,20; Y: 5,50	6,96
3,16	312.447	988.101	X: -0,20; Y: 5,50	10,96	2,86	312.447	894.711	X: -0,20; Y: 5,50	10,96
1,43	168.569	241.660	X: -0,70; Y: 5,50	7,16	1,40	168.569	236.286	X: -0,70; Y: 5,50	7,16
3,20	319.765	1.022.907	X: -0,70; Y: 5,50	11,16	2,89	319.765	923.059	X: -0,70; Y: 5,50	11,16
1,46	175.453	255.916	X: -1,20; Y: 5,50	7,38	1,41	175.453	247.676	X: -1,20; Y: 5,50	7,38
3,25	328.001	1.066.333	X: -1,20; Y: 5,50	11,38	2,92	328.001	958.850	X: -1,20; Y: 5,50	11,38
1,55	179.402	277.545	X: -1,70; Y: 5,50	7,63	1,48	179.402	264.903	X: -1,70; Y: 5,50	7,63
3,35	333.849	1.118.620	X: -1,70; Y: 5,50	11,63	3,00	333.849	1.002.133	X: -1,70; Y: 5,50	11,63
1,66	183.804	304.325	X: -2,20; Y: 5,50	7,91	1,56	183.804	286.518	X: -2,20; Y: 5,50	7,91
3,46	340.463	1.179.295	X: -2,20; Y: 5,50	11,91	3,09	340.463	1.052.668	X: -2,20; Y: 5,50	11,91
1,80	187.148	337.195	X: -2,70; Y: 5,50	8,20	1,67	187.148	313.281	X: -2,70; Y: 5,50	8,20
3,60	346.372	1.248.322	X: -2,70; Y: 5,50	12,20	3,21	346.372	1.110.364	X: -2,70; Y: 5,50	12,20
1,97	190.957	377.110	X: -3,20; Y: 5,50	8,51	1,81	190.957	346.333	X: -3,20; Y: 5,50	8,51
3,77	352.127	1.326.949	X: -3,20; Y: 5,50	12,51	3,34	352.127	1.176.330	X: -3,20; Y: 5,50	12,51
2,19	192.738	422.541	X: -3,70; Y: 5,50	8,85	1,99	192.738	384.117	X: -3,70; Y: 5,50	8,85
3,96	356.776	1.412.676	X: -3,70; Y: 5,50	12,85	3,50	356.776	1.248.505	X: -3,70; Y: 5,50	12,85
2,43	195.242	475.280	X: -4,20; Y: 5,50	9,19	2,19	195.242	428.550	X: -4,20; Y: 5,50	9,19
4,18	360.440	1.506.265	X: -4,20; Y: 5,50	13,19	3,68	360.440	1.327.492	X: -4,20; Y: 5,50	13,19
1,54	155.560	238.865	X: 0,30; Y: 6,00	7,28	1,52	155.560	235.913	X: 0,30; Y: 6,00	7,28
3,20	308.021	984.386	X: 0,30; Y: 6,00	11,28	2,91	308.021	897.567	X: 0,30; Y: 6,00	11,28
1,46	164.969	240.482	X: -0,20; Y: 6,00	7,43	1,44	164.969	237.659	X: -0,20; Y: 6,00	7,43
3,19	315.975	1.008.395	X: -0,20; Y: 6,00	11,43	2,90	315.975	916.881	X: -0,20; Y: 6,00	11,43
1,46	170.284	248.338	X: -0,70; Y: 6,00	7,62	1,43	170.284	243.716	X: -0,70; Y: 6,00	7,62
3,20	324.732	1.040.687	X: -0,70; Y: 6,00	11,62	2,91	324.732	943.348	X: -0,70; Y: 6,00	11,62
1,48	177.008	261.318	X: -1,20; Y: 6,00	7,83	1,44	177.008	254.202	X: -1,20; Y: 6,00	7,83
3,27	331.100	1.081.623	X: -1,20; Y: 6,00	11,83	2,95	331.100	977.055	X: -1,20; Y: 6,00	11,83
1,53	182.667	280.189	X: -1,70; Y: 6,00	8,06	1,47	182.667	269.354	X: -1,70; Y: 6,00	8,06
3,34	338.445	1.130.799	X: -1,70; Y: 6,00	12,06	3,01	338.445	1.017.898	X: -1,70; Y: 6,00	12,06
1,65	185.663	306.115	X: -2,20; Y: 6,00	8,32	1,56	185.663	290.345	X: -2,20; Y: 6,00	8,32
3,46	343.565	1.188.445	X: -2,20; Y: 6,00	12,32	3,10	343.565	1.065.977	X: -2,20; Y: 6,00	12,32
1,78	189.321	337.163	X: -2,70; Y: 6,00	8,60	1,67	189.321	315.774	X: -2,70; Y: 6,00	8,60
3,59	349.401	1.254.148	X: -2,70; Y: 6,00	12,60	3,21	349.401	1.121.030	X: -2,70; Y: 6,00	12,60
1,95	192.065	374.167	X: -3,20; Y: 6,00	8,90	1,80	192.065	346.347	X: -3,20; Y: 6,00	8,90
3,74	354.594	1.327.899	X: -3,20; Y: 6,00	12,90	3,34	354.594	1.183.013	X: -3,20; Y: 6,00	12,90
2,14	195.286	418.085	X: -3,70; Y: 6,00	9,22	1,96	195.286	383.163	X: -3,70; Y: 6,00	9,22
3,92	359.906	1.411.080	X: -3,70; Y: 6,00	13,22	3,48	359.906	1.253.202	X: -3,70; Y: 6,00	13,22
2,37	197.813	468.140	X: -4,20; Y: 6,00	9,55	2,15	197.813	425.397	X: -4,20; Y: 6,00	9,55
4,12	363.900	1.501.009	X: -4,20; Y: 6,00	13,55	3,65	363.900	1.329.257	X: -4,20; Y: 6,00	13,55
1,57	157.377	247.056	X: 0,30; Y: 6,50	7,76	1,55	157.377	244.476	X: 0,30; Y: 6,50	7,76
3,20	314.431	1.007.005	X: 0,30; Y: 6,50	11,76	2,93	314.431	921.708	X: 0,30; Y: 6,50	11,76
1,49	166.220	248.127	X: -0,20; Y: 6,50	7,91	1,48	166.220	245.637	X: -0,20; Y: 6,50	7,91
3,21	320.801	1.028.516	X: -0,20; Y: 6,50	11,91	2,93	320.801	938.939	X: -0,20; Y: 6,50	11,91
1,48	171.709	254.918	X: -0,70; Y: 6,50	8,08	1,46	171.709	250.940	X: -0,70; Y: 6,50	8,08
3,23	327.693	1.058.905	X: -0,70; Y: 6,50	12,08	2,94	327.693	963.762	X: -0,70; Y: 6,50	12,08
1,50	178.220	266.746	X: -1,20; Y: 6,50	8,28	1,46	178.220	260.578	X: -1,20; Y: 6,50	8,28
3,27	335.575	1.097.266	X: -1,20; Y: 6,50	12,28	2,97	335.575	995.501	X: -1,20; Y: 6,50	12,28
1,55	183.910	284.237	X: -1,70; Y: 6,50	8,50	1,49	183.910	274.758	X: -1,70; Y: 6,50	8,50
3,35	341.149	1.143.942	X: -1,70; Y: 6,50	12,50	3,03	341.149	1.034.288	X: -1,70; Y: 6,50	12,50
1,63	188.538	307.535	X: -2,20; Y: 6,50	8,75	1,56	188.538	293.687	X: -2,20; Y: 6,50	8,75
3,45	347.734	1.198.540	X: -2,20; Y: 6,50	12,75	3,11	347.734	1.079.948	X: -2,20; Y: 6,50	12,75
1,77	190.897	337.589	X: -2,70; Y: 6,50	9,01	1,67	190.897	318.419	X: -2,70; Y: 6,50	9,01
3,58	352.237	1.261.292	X: -2,70; Y: 6,50	13,01	3,22	352.237	1.132.634	X: -2,70; Y: 6,50	13,01
1,92	193.972	372.770	X: -3,20; Y: 6,50	9,30	1,79	193.972	347.637	X: -3,20; Y: 6,50	9,30
3,73	357.413	1.331.831	X: -3,20; Y: 6,50	13,30	3,34	357.413	1.192.066	X: -3,20; Y: 6,50	13,30
2,10	197.077	414.361	X: -3,70; Y: 6,50	9,60	1,94	197.077	382.575	X: -3,70; Y: 6,50	9,60
3,88	363.863	1.411.222	X: -3,70; Y: 6,50	13,60	3,46	363.863	1.259.139	X: -3,70; Y: 6,50	13,60
2,32	198.999	461.665	X: -4,20; Y: 6,50	9,92	2,12	198.999	422.541	X: -4,20; Y: 6,50	9,92
4,07	368.132	1.497.667	X: -4,20; Y: 6,50	13,92	3,62	368.132	1.332.368	X: -4,20; Y: 6,50	13,92
1,59	160.072	254.308	X: 0,30; Y: 7,00	8,25	1,58	160.072	252.479	X: 0,30; Y: 7,00	8,25
3,24	317.607	1.028.801	X: 0,30; Y: 7,00	12,25	2,97	317.607	944.864	X: 0,30; Y: 7,00	12,25
1,53	166.894	255.106	X: -0,20; Y: 7,00	8,38	1,52	166.894	252.993	X: -0,20; Y: 7,00	8,38
3,24	323.780	1.048.752	X: -0,20; Y: 7,00	12,38	2,97	323.780	960.827	X: -0,20; Y: 7,00	12,38
1,49	174.559	260.605	X: -0,70; Y: 7,00	8,54	1,48	174.559	257.558	X: -0,70; Y: 7,00	8,54
3,24	332.065	1.077.096	X: -0,70; Y: 7,00	12,54	2,96	332.065	984.141	X: -0,70; Y: 7,00	12,54
1,52	178.752	271.839	X: -1,20; Y: 7,00	8,73	1,49	178.752	266.431	X: -1,20; Y: 7,00	8,73
3,29	338.073	1.113.477	X: -1,20; Y: 7,00	12,73	3,00	338.073	1.014.211	X: -1,20; Y: 7,00	12,73
1,56	184.781	288.422	X: -1,70; Y: 7,00	8,94	1,52	184.781	280.095	X: -1,70; Y: 7,00	8,94

## VERIFICHE DI STABILITA'

Bishop					Fellenius				
CS	FrzRblt	FrzRes	Centro	Raggio	CS	FrzRblt	FrzRes	Centro	Raggio
	[N]	[N]	[m]	[m]		[N]	[N]	[m]	[m]
3,35	345.178	1.157.555	X: -1,70; Y: 7,00	12,94	3,04	345.178	1.050.972	X: -1,70; Y: 7,00	12,94
1,64	189.645	310.250	X: -2,20; Y: 7,00	9,18	1,57	189.645	297.975	X: -2,20; Y: 7,00	9,18
3,46	350.118	1.209.658	X: -2,20; Y: 7,00	13,18	3,13	350.118	1.094.613	X: -2,20; Y: 7,00	13,18
1,75	193.463	337.799	X: -2,70; Y: 7,00	9,43	1,66	193.463	320.671	X: -2,70; Y: 7,00	9,43
3,57	356.047	1.269.424	X: -2,70; Y: 7,00	13,43	3,22	356.047	1.144.905	X: -2,70; Y: 7,00	13,43
1,90	195.332	371.876	X: -3,20; Y: 7,00	9,71	1,79	195.332	349.126	X: -3,20; Y: 7,00	9,71
3,71	360.023	1.337.079	X: -3,20; Y: 7,00	13,71	3,34	360.023	1.202.046	X: -3,20; Y: 7,00	13,71
2,08	197.944	411.092	X: -3,70; Y: 7,00	10,00	1,93	197.944	382.102	X: -3,70; Y: 7,00	10,00
3,86	366.037	1.413.090	X: -3,70; Y: 7,00	14,00	3,46	366.037	1.266.428	X: -3,70; Y: 7,00	14,00
2,28	200.616	456.638	X: -4,20; Y: 7,00	10,31	2,10	200.616	420.780	X: -4,20; Y: 7,00	10,31
4,04	370.565	1.496.229	X: -4,20; Y: 7,00	14,31	3,61	370.565	1.337.017	X: -4,20; Y: 7,00	14,31
1,64	159.513	261.556	X: 0,30; Y: 7,50	8,73	1,63	159.513	259.681	X: 0,30; Y: 7,50	8,73
3,28	320.636	1.050.298	X: 0,30; Y: 7,50	12,73	3,02	320.636	967.663	X: 0,30; Y: 7,50	12,73
1,57	167.414	262.337	X: -0,20; Y: 7,50	8,86	1,56	167.414	260.457	X: -0,20; Y: 7,50	8,86
3,26	328.048	1.068.707	X: -0,20; Y: 7,50	12,86	3,00	328.048	982.513	X: -0,20; Y: 7,50	12,86
1,52	175.289	267.257	X: -0,70; Y: 7,50	9,01	1,51	175.289	264.627	X: -0,70; Y: 7,50	9,01
3,28	334.507	1.095.541	X: -0,70; Y: 7,50	13,01	3,00	334.507	1.004.501	X: -0,70; Y: 7,50	13,01
1,53	181.615	276.997	X: -1,20; Y: 7,50	9,19	1,50	181.615	272.640	X: -1,20; Y: 7,50	9,19
3,30	341.935	1.129.793	X: -1,20; Y: 7,50	13,19	3,02	341.935	1.032.950	X: -1,20; Y: 7,50	13,19
1,58	185.125	292.466	X: -1,70; Y: 7,50	9,39	1,54	185.125	285.100	X: -1,70; Y: 7,50	9,39
3,37	347.330	1.171.826	X: -1,70; Y: 7,50	13,39	3,07	347.330	1.068.031	X: -1,70; Y: 7,50	13,39
1,65	190.279	313.210	X: -2,20; Y: 7,50	9,62	1,59	190.279	302.285	X: -2,20; Y: 7,50	9,62
3,45	353.737	1.221.335	X: -2,20; Y: 7,50	13,62	3,14	353.737	1.109.615	X: -2,20; Y: 7,50	13,62
1,74	194.474	339.229	X: -2,70; Y: 7,50	9,86	1,67	194.474	323.859	X: -2,70; Y: 7,50	9,86
3,57	358.164	1.278.615	X: -2,70; Y: 7,50	13,86	3,23	358.164	1.157.922	X: -2,70; Y: 7,50	13,86
1,88	197.653	370.895	X: -3,20; Y: 7,50	10,12	1,77	197.653	350.299	X: -3,20; Y: 7,50	10,12
3,70	363.527	1.343.347	X: -3,20; Y: 7,50	14,12	3,34	363.527	1.212.700	X: -3,20; Y: 7,50	14,12
2,05	199.135	408.918	X: -3,70; Y: 7,50	10,40	1,92	199.135	382.459	X: -3,70; Y: 7,50	10,40
3,86	367.055	1.415.746	X: -3,70; Y: 7,50	14,40	3,47	367.055	1.274.180	X: -3,70; Y: 7,50	14,40
2,25	201.371	452.095	X: -4,20; Y: 7,50	10,70	2,08	201.371	419.168	X: -4,20; Y: 7,50	10,70
4,02	372.596	1.496.362	X: -4,20; Y: 7,50	14,70	3,60	372.596	1.342.800	X: -4,20; Y: 7,50	14,70
1,69	159.181	268.845	X: 0,30; Y: 8,00	9,22	1,68	159.181	267.078	X: 0,30; Y: 8,00	9,22
3,30	324.720	1.071.362	X: 0,30; Y: 8,00	13,22	3,05	324.720	990.138	X: 0,30; Y: 8,00	13,22
1,59	168.909	268.659	X: -0,20; Y: 8,00	9,34	1,58	168.909	267.396	X: -0,20; Y: 8,00	9,34
3,29	331.330	1.089.175	X: -0,20; Y: 8,00	13,34	3,03	331.330	1.004.440	X: -0,20; Y: 8,00	13,34
1,56	175.681	273.689	X: -0,70; Y: 8,00	9,49	1,54	175.681	271.412	X: -0,70; Y: 8,00	9,49
3,29	338.312	1.113.826	X: -0,70; Y: 8,00	13,49	3,03	338.312	1.024.711	X: -0,70; Y: 8,00	13,49
1,55	182.303	282.567	X: -1,20; Y: 8,00	9,66	1,53	182.303	278.824	X: -1,20; Y: 8,00	9,66
3,33	344.064	1.146.456	X: -1,20; Y: 8,00	13,66	3,06	344.064	1.051.790	X: -1,20; Y: 8,00	13,66
1,60	185.798	296.975	X: -1,70; Y: 8,00	9,85	1,56	185.798	290.492	X: -1,70; Y: 8,00	9,85
3,38	350.744	1.186.319	X: -1,70; Y: 8,00	13,85	3,09	350.744	1.085.177	X: -1,70; Y: 8,00	13,85
1,66	190.499	316.181	X: -2,20; Y: 8,00	10,06	1,61	190.499	306.409	X: -2,20; Y: 8,00	10,06
3,47	355.636	1.233.737	X: -2,20; Y: 8,00	14,06	3,16	355.636	1.125.074	X: -2,20; Y: 8,00	14,06
1,75	194.601	340.709	X: -2,70; Y: 8,00	10,30	1,68	194.601	326.835	X: -2,70; Y: 8,00	10,30
3,56	361.441	1.288.441	X: -2,70; Y: 8,00	14,30	3,24	361.441	1.171.312	X: -2,70; Y: 8,00	14,30
1,87	198.508	371.095	X: -3,20; Y: 8,00	10,55	1,78	198.508	352.418	X: -3,20; Y: 8,00	10,55
3,70	365.424	1.350.702	X: -3,20; Y: 8,00	14,55	3,35	365.424	1.224.137	X: -3,20; Y: 8,00	14,55
2,04	199.661	407.045	X: -3,70; Y: 8,00	10,82	1,92	199.661	382.833	X: -3,70; Y: 8,00	10,82
3,84	370.291	1.420.235	X: -3,70; Y: 8,00	14,82	3,47	370.291	1.283.286	X: -3,70; Y: 8,00	14,82
2,22	202.430	448.671	X: -4,20; Y: 8,00	11,10	2,07	202.430	418.412	X: -4,20; Y: 8,00	11,10
3,99	375.610	1.497.755	X: -4,20; Y: 8,00	15,10	3,59	375.610	1.349.397	X: -4,20; Y: 8,00	15,10
1,74	158.969	275.820	X: 0,30; Y: 8,50	9,71	1,72	158.969	274.156	X: 0,30; Y: 8,50	9,71
3,34	327.287	1.092.279	X: 0,30; Y: 8,50	13,71	3,09	327.287	1.012.242	X: 0,30; Y: 8,50	13,71
1,64	168.377	275.347	X: -0,20; Y: 8,50	9,82	1,63	168.377	274.130	X: -0,20; Y: 8,50	9,82
3,31	335.095	1.108.790	X: -0,20; Y: 8,50	13,82	3,06	335.095	1.025.628	X: -0,20; Y: 8,50	13,82
1,60	174.938	279.506	X: -0,70; Y: 8,50	9,96	1,59	174.938	277.657	X: -0,70; Y: 8,50	9,96
3,33	340.423	1.132.237	X: -0,70; Y: 8,50	13,96	3,07	340.423	1.044.820	X: -0,70; Y: 8,50	13,96
1,58	182.582	288.149	X: -1,20; Y: 8,50	10,12	1,56	182.582	284.886	X: -1,20; Y: 8,50	10,12
3,36	346.158	1.163.220	X: -1,20; Y: 8,50	14,12	3,09	346.158	1.070.592	X: -1,20; Y: 8,50	14,12
1,60	187.992	301.134	X: -1,70; Y: 8,50	10,31	1,57	187.992	295.664	X: -1,70; Y: 8,50	10,31
3,41	352.634	1.201.236	X: -1,70; Y: 8,50	14,31	3,13	352.634	1.102.520	X: -1,70; Y: 8,50	14,31
1,67	190.952	319.600	X: -2,20; Y: 8,50	10,51	1,63	190.952	310.875	X: -2,20; Y: 8,50	10,51
3,49	357.486	1.246.585	X: -2,20; Y: 8,50	14,51	3,19	357.486	1.140.760	X: -2,20; Y: 8,50	14,51
1,76	195.079	342.876	X: -2,70; Y: 8,50	10,74	1,69	195.079	330.370	X: -2,70; Y: 8,50	10,74
3,58	363.126	1.299.045	X: -2,70; Y: 8,50	14,74	3,26	363.126	1.185.223	X: -2,70; Y: 8,50	14,74
1,87	198.667	371.433	X: -3,20; Y: 8,50	10,98	1,78	198.667	354.426	X: -3,20; Y: 8,50	10,98
3,69	368.409	1.358.752	X: -3,20; Y: 8,50	14,98	3,35	368.409	1.235.977	X: -3,20; Y: 8,50	14,98
2,01	201.981	405.763	X: -3,70; Y: 8,50	11,24	1,90	201.981	383.632	X: -3,70; Y: 8,50	11,24
3,83	372.004	1.425.832	X: -3,70; Y: 8,50	15,24	3,48	372.004	1.293.203	X: -3,70; Y: 8,50	15,24
2,20	202.886	445.611	X: -4,20; Y: 8,50	11,51	2,06	202.886	417.739	X: -4,20; Y: 8,50	11,51
3,98	376.437	1.500.033	X: -4,20; Y: 8,50	15,51	3,60	376.437	1.356.620	X: -4,20; Y: 8,50	15,51
<b>Verifica 5</b>									
<b>Approccio 1, Combinazione 2 Stato Limite di Resistenza del Terreno con sisma</b>									
1,47	134.509	197.808	X: 0,30; Y: 4,00	5,39	1,43	134.509	191.934	X: 0,30; Y: 4,00	5,39
2,93	303.063	888.803	X: 0,30; Y: 4,00	9,39	2,63	303.063	795.865	X: 0,30; Y: 4,00	9,39
<b>1,40</b>	<b>145.526</b>	<b>204.277</b>	<b>X: -0,20; Y: 4,00</b>	<b>5,59</b>	<b>1,36</b>	<b>145.526</b>	<b>197.744</b>	<b>X: -0,20; Y: 4,00</b>	<b>5,59</b>
2,96	312.065	923.162	X: -0,20; Y: 4,00	9,59	2,64	312.065	823.727	X: -0,20; Y: 4,00	9,59

## VERIFICHE DI STABILITA'

Bishop					Fellenius				
CS	FrzRbIt	FrzRes	Centro	Raggio	CS	FrzRbIt	FrzRes	Centro	Raggio
	[N]	[N]	[m]	[m]		[N]	[N]	[m]	[m]
1,45	150.810	218.154	X: -0,70; Y: 4,00	5,83	1,38	150.810	208.385	X: -0,70; Y: 4,00	5,83
3,00	322.078	967.295	X: -0,70; Y: 4,00	9,83	2,67	322.078	859.992	X: -0,70; Y: 4,00	9,83
1,49	160.330	239.576	X: -1,20; Y: 4,00	6,10	1,41	160.330	225.912	X: -1,20; Y: 4,00	6,10
3,10	329.296	1.021.265	X: -1,20; Y: 4,00	10,10	2,75	329.296	904.511	X: -1,20; Y: 4,00	10,10
1,60	165.917	266.159	X: -1,70; Y: 4,00	6,40	1,49	165.917	247.075	X: -1,70; Y: 4,00	6,40
3,22	337.256	1.084.354	X: -1,70; Y: 4,00	10,40	2,84	337.256	956.884	X: -1,70; Y: 4,00	10,40
1,74	173.074	300.931	X: -2,20; Y: 4,00	6,73	1,59	173.074	275.372	X: -2,20; Y: 4,00	6,73
3,31	349.767	1.159.319	X: -2,20; Y: 4,00	10,73	2,91	349.767	1.019.304	X: -2,20; Y: 4,00	10,73
1,94	176.196	340.960	X: -2,70; Y: 4,00	7,07	1,75	176.196	307.990	X: -2,70; Y: 4,00	7,07
3,48	356.441	1.240.569	X: -2,70; Y: 4,00	11,07	3,05	356.441	1.087.302	X: -2,70; Y: 4,00	11,07
2,17	179.322	389.712	X: -3,20; Y: 4,00	7,43	1,94	179.322	348.646	X: -3,20; Y: 4,00	7,43
3,64	366.047	1.333.248	X: -3,20; Y: 4,00	11,43	3,18	366.047	1.165.008	X: -3,20; Y: 4,00	11,43
2,45	180.949	442.887	X: -3,70; Y: 4,00	7,81	2,17	180.949	392.997	X: -3,70; Y: 4,00	7,81
3,85	371.606	1.431.655	X: -3,70; Y: 4,00	11,81	3,36	371.606	1.247.928	X: -3,70; Y: 4,00	11,81
2,72	185.860	504.998	X: -4,20; Y: 4,00	8,20	2,40	185.860	445.436	X: -4,20; Y: 4,00	8,20
4,03	382.255	1.541.272	X: -4,20; Y: 4,00	12,20	3,51	382.255	1.340.222	X: -4,20; Y: 4,00	12,20
1,49	138.469	206.619	X: 0,30; Y: 4,50	5,85	1,45	138.469	201.248	X: 0,30; Y: 4,50	5,85
2,92	312.961	913.230	X: 0,30; Y: 4,50	9,85	2,63	312.961	821.573	X: 0,30; Y: 4,50	9,85
1,42	148.805	212.005	X: -0,20; Y: 4,50	6,04	1,39	148.805	206.214	X: -0,20; Y: 4,50	6,04
2,94	320.208	942.705	X: -0,20; Y: 4,50	10,04	2,64	320.208	845.590	X: -0,20; Y: 4,50	10,04
1,42	157.478	223.595	X: -0,70; Y: 4,50	6,26	1,37	157.478	215.672	X: -0,70; Y: 4,50	6,26
3,00	328.096	983.662	X: -0,70; Y: 4,50	10,26	2,68	328.096	879.154	X: -0,70; Y: 4,50	10,26
1,49	163.497	243.478	X: -1,20; Y: 4,50	6,52	1,42	163.497	231.573	X: -1,20; Y: 4,50	6,52
3,07	337.023	1.033.781	X: -1,20; Y: 4,50	10,52	2,73	337.023	920.615	X: -1,20; Y: 4,50	10,52
1,58	169.430	268.162	X: -1,70; Y: 4,50	6,80	1,48	169.430	251.415	X: -1,70; Y: 4,50	6,80
3,14	348.848	1.094.958	X: -1,70; Y: 4,50	10,80	2,78	348.848	971.403	X: -1,70; Y: 4,50	10,80
1,72	174.126	299.156	X: -2,20; Y: 4,50	7,11	1,59	174.126	276.454	X: -2,20; Y: 4,50	7,11
3,28	355.106	1.163.604	X: -2,20; Y: 4,50	11,11	2,90	355.106	1.028.729	X: -2,20; Y: 4,50	11,11
1,87	180.332	338.078	X: -2,70; Y: 4,50	7,43	1,71	180.332	308.565	X: -2,70; Y: 4,50	7,43
3,43	362.247	1.240.696	X: -2,70; Y: 4,50	11,43	3,02	362.247	1.093.338	X: -2,70; Y: 4,50	11,43
2,09	183.132	382.124	X: -3,20; Y: 4,50	7,78	1,88	183.132	344.946	X: -3,20; Y: 4,50	7,78
3,56	372.832	1.328.394	X: -3,20; Y: 4,50	11,78	3,13	372.832	1.166.906	X: -3,20; Y: 4,50	11,78
2,34	185.956	434.715	X: -3,70; Y: 4,50	8,14	2,09	185.956	389.314	X: -3,70; Y: 4,50	8,14
3,77	377.549	1.422.757	X: -3,70; Y: 4,50	12,14	3,30	377.549	1.246.599	X: -3,70; Y: 4,50	12,14
2,59	190.584	493.529	X: -4,20; Y: 4,50	8,51	2,30	190.584	439.020	X: -4,20; Y: 4,50	8,51
3,94	387.472	1.527.369	X: -4,20; Y: 4,50	12,51	3,44	387.472	1.334.836	X: -4,20; Y: 4,50	12,51
1,48	144.599	214.379	X: 0,30; Y: 5,00	6,32	1,45	144.599	210.265	X: 0,30; Y: 5,00	6,32
2,92	320.678	935.771	X: 0,30; Y: 5,00	10,32	2,64	320.678	845.903	X: 0,30; Y: 5,00	10,32
1,45	151.511	219.519	X: -0,20; Y: 5,00	6,50	1,41	151.511	214.368	X: -0,20; Y: 5,00	6,50
2,93	328.768	964.381	X: -0,20; Y: 5,00	10,50	2,64	328.768	869.064	X: -0,20; Y: 5,00	10,50
1,44	160.069	229.800	X: -0,70; Y: 5,00	6,71	1,39	160.069	222.920	X: -0,70; Y: 5,00	6,71
2,98	335.462	1.000.691	X: -0,70; Y: 5,00	10,71	2,68	335.462	898.904	X: -0,70; Y: 5,00	10,71
1,47	167.077	246.258	X: -1,20; Y: 5,00	6,95	1,41	167.077	236.154	X: -1,20; Y: 5,00	6,95
3,06	342.504	1.047.700	X: -1,20; Y: 5,00	10,95	2,74	342.504	937.763	X: -1,20; Y: 5,00	10,95
1,57	171.991	270.540	X: -1,70; Y: 5,00	7,21	1,49	171.991	255.804	X: -1,70; Y: 5,00	7,21
3,12	353.684	1.105.067	X: -1,70; Y: 5,00	11,21	2,79	353.684	985.542	X: -1,70; Y: 5,00	11,21
1,69	177.080	299.646	X: -2,20; Y: 5,00	7,50	1,58	177.080	279.505	X: -2,20; Y: 5,00	7,50
3,23	361.638	1.169.744	X: -2,20; Y: 5,00	11,50	2,87	361.638	1.039.608	X: -2,20; Y: 5,00	11,50
1,84	182.946	335.957	X: -2,70; Y: 5,00	7,81	1,69	182.946	309.524	X: -2,70; Y: 5,00	7,81
3,38	367.299	1.243.094	X: -2,70; Y: 5,00	11,81	3,00	367.299	1.101.198	X: -2,70; Y: 5,00	11,81
2,02	186.695	377.847	X: -3,20; Y: 5,00	8,14	1,84	186.695	344.289	X: -3,20; Y: 5,00	8,14
3,52	377.154	1.326.324	X: -3,20; Y: 5,00	12,14	3,11	377.154	1.171.185	X: -3,20; Y: 5,00	12,14
2,23	191.460	427.165	X: -3,70; Y: 5,00	8,49	2,01	191.460	385.733	X: -3,70; Y: 5,00	8,49
3,69	383.953	1.416.519	X: -3,70; Y: 5,00	12,49	3,25	383.953	1.247.350	X: -3,70; Y: 5,00	12,49
2,51	191.939	482.257	X: -4,20; Y: 5,00	8,85	2,25	191.939	432.472	X: -4,20; Y: 5,00	8,85
3,86	393.197	1.516.426	X: -4,20; Y: 5,00	12,85	3,39	393.197	1.331.756	X: -4,20; Y: 5,00	12,85
1,52	146.887	222.679	X: 0,30; Y: 5,50	6,80	1,49	146.887	218.862	X: 0,30; Y: 5,50	6,80
2,94	326.276	958.387	X: 0,30; Y: 5,50	10,80	2,67	326.276	870.006	X: 0,30; Y: 5,50	10,80
1,47	153.793	226.824	X: -0,20; Y: 5,50	6,96	1,45	153.793	222.232	X: -0,20; Y: 5,50	6,96
2,93	335.689	984.579	X: -0,20; Y: 5,50	10,96	2,66	335.689	891.377	X: -0,20; Y: 5,50	10,96
1,46	161.969	235.985	X: -0,70; Y: 5,50	7,16	1,42	161.969	229.948	X: -0,70; Y: 5,50	7,16
2,97	342.977	1.019.820	X: -0,70; Y: 5,50	11,16	2,68	342.977	920.285	X: -0,70; Y: 5,50	11,16
1,48	169.226	250.985	X: -1,20; Y: 5,50	7,38	1,43	169.226	242.195	X: -1,20; Y: 5,50	7,38
3,03	351.595	1.063.709	X: -1,20; Y: 5,50	11,38	2,72	351.595	956.691	X: -1,20; Y: 5,50	11,38
1,57	173.883	273.248	X: -1,70; Y: 5,50	7,63	1,50	173.883	260.245	X: -1,70; Y: 5,50	7,63
3,12	358.195	1.116.489	X: -1,70; Y: 5,50	11,63	2,79	358.195	1.000.657	X: -1,70; Y: 5,50	11,63
1,68	179.194	300.568	X: -2,20; Y: 5,50	7,91	1,58	179.194	282.653	X: -2,20; Y: 5,50	7,91
3,22	365.972	1.177.682	X: -2,20; Y: 5,50	11,91	2,87	365.972	1.051.920	X: -2,20; Y: 5,50	11,91
1,82	183.684	333.927	X: -2,70; Y: 5,50	8,20	1,69	183.684	310.190	X: -2,70; Y: 5,50	8,20
3,34	373.399	1.247.260	X: -2,70; Y: 5,50	12,20	2,97	373.399	1.110.398	X: -2,70; Y: 5,50	12,20
1,98	188.963	374.332	X: -3,20; Y: 5,50	8,51	1,82	188.963	344.011	X: -3,20; Y: 5,50	8,51
3,48	381.108	1.326.509	X: -3,20; Y: 5,50	12,51	3,09	381.108	1.177.230	X: -3,20; Y: 5,50	12,51
2,18	192.392	420.219	X: -3,70; Y: 5,50	8,85	1,99	192.392	382.550	X: -3,70; Y: 5,50	8,85
3,64	388.045	1.412.854	X: -3,70; Y: 5,50	12,85	3,22	388.045	1.250.279	X: -3,70; Y: 5,50	12,85
2,40	196.884	473.451	X: -4,20; Y: 5,50	9,19	2,17	196.884	427.740	X: -4,20; Y: 5,50	9,19
3,82	394.344	1.507.089	X: -4,20; Y: 5,50	13,19	3,37	394.344	1.330.174	X: -4,20; Y: 5,50	13,19
1,55	148.813	230.681	X: 0,30; Y: 6,00	7,28	1,53	148.813	227.123	X: 0,30; Y: 6,00	7,28

## VERIFICHE DI STABILITA'

Bishop					Fellenius				
CS	FrzRbIt	FrzRes	Centro	Raggio	CS	FrzRbIt	FrzRes	Centro	Raggio
	[N]	[N]	[m]	[m]		[N]	[N]	[m]	[m]
2,94	333.011	980.658	X: 0,30; Y: 6,00	11,28	2,68	333.011	893.897	X: 0,30; Y: 6,00	11,28
1,48	158.082	233.342	X: -0,20; Y: 6,00	7,43	1,45	158.082	229.811	X: -0,20; Y: 6,00	7,43
2,95	340.519	1.005.053	X: -0,20; Y: 6,00	11,43	2,68	340.519	913.667	X: -0,20; Y: 6,00	11,43
1,48	163.521	242.086	X: -0,70; Y: 6,00	7,62	1,45	163.521	236.766	X: -0,70; Y: 6,00	7,62
2,97	349.212	1.037.763	X: -0,70; Y: 6,00	11,62	2,69	349.212	940.653	X: -0,70; Y: 6,00	11,62
1,50	170.587	255.840	X: -1,20; Y: 6,00	7,83	1,45	170.587	248.119	X: -1,20; Y: 6,00	7,83
3,03	355.875	1.079.143	X: -1,20; Y: 6,00	11,83	2,74	355.875	974.945	X: -1,20; Y: 6,00	11,83
1,56	176.818	275.376	X: -1,70; Y: 6,00	8,06	1,49	176.818	264.108	X: -1,70; Y: 6,00	8,06
3,10	363.901	1.128.794	X: -1,70; Y: 6,00	12,06	2,79	363.901	1.016.425	X: -1,70; Y: 6,00	12,06
1,67	180.704	301.885	X: -2,20; Y: 6,00	8,32	1,58	180.704	285.908	X: -2,20; Y: 6,00	8,32
3,21	370.054	1.186.944	X: -2,20; Y: 6,00	12,32	2,88	370.054	1.065.205	X: -2,20; Y: 6,00	12,32
1,80	185.453	333.450	X: -2,70; Y: 6,00	8,60	1,68	185.453	312.125	X: -2,70; Y: 6,00	8,60
3,32	377.309	1.253.179	X: -2,70; Y: 6,00	12,60	2,97	377.309	1.121.003	X: -2,70; Y: 6,00	12,60
1,96	189.517	370.937	X: -3,20; Y: 6,00	8,90	1,81	189.517	343.473	X: -3,20; Y: 6,00	8,90
3,45	384.267	1.327.493	X: -3,20; Y: 6,00	12,90	3,08	384.267	1.183.778	X: -3,20; Y: 6,00	12,90
2,14	194.370	415.352	X: -3,70; Y: 6,00	9,22	1,96	194.370	381.063	X: -3,70; Y: 6,00	9,22
3,60	391.757	1.411.314	X: -3,70; Y: 6,00	13,22	3,20	391.757	1.254.849	X: -3,70; Y: 6,00	13,22
2,34	198.765	465.905	X: -4,20; Y: 6,00	9,55	2,13	198.765	424.069	X: -4,20; Y: 6,00	9,55
3,77	398.244	1.501.877	X: -4,20; Y: 6,00	13,55	3,34	398.244	1.331.790	X: -4,20; Y: 6,00	13,55
1,58	150.557	238.357	X: 0,30; Y: 6,50	7,76	1,56	150.557	235.075	X: 0,30; Y: 6,50	7,76
2,95	340.739	1.003.498	X: 0,30; Y: 6,50	11,76	2,69	340.739	918.221	X: 0,30; Y: 6,50	11,76
1,51	159.254	240.388	X: -0,20; Y: 6,50	7,91	1,49	159.254	237.183	X: -0,20; Y: 6,50	7,91
2,96	346.630	1.025.352	X: -0,20; Y: 6,50	11,91	2,70	346.630	935.848	X: -0,20; Y: 6,50	11,91
1,51	164.820	248.099	X: -0,70; Y: 6,50	8,08	1,48	164.820	243.394	X: -0,70; Y: 6,50	8,08
2,99	353.399	1.056.140	X: -0,70; Y: 6,50	12,08	2,72	353.399	961.164	X: -0,70; Y: 6,50	12,08
1,52	171.643	260.723	X: -1,20; Y: 6,50	8,28	1,48	171.643	253.905	X: -1,20; Y: 6,50	8,28
3,03	361.518	1.094.931	X: -1,20; Y: 6,50	12,28	2,75	361.518	993.450	X: -1,20; Y: 6,50	12,28
1,57	177.864	278.911	X: -1,70; Y: 6,50	8,50	1,51	177.864	268.934	X: -1,70; Y: 6,50	8,50
3,11	367.689	1.142.063	X: -1,70; Y: 6,50	12,50	2,81	367.689	1.032.845	X: -1,70; Y: 6,50	12,50
1,65	183.256	302.815	X: -2,20; Y: 6,50	8,75	1,58	183.256	288.685	X: -2,20; Y: 6,50	8,75
3,19	375.231	1.197.149	X: -2,20; Y: 6,50	12,75	2,88	375.231	1.079.165	X: -2,20; Y: 6,50	12,75
1,79	186.676	333.424	X: -2,70; Y: 6,50	9,01	1,68	186.676	314.218	X: -2,70; Y: 6,50	9,01
3,31	381.026	1.260.419	X: -2,70; Y: 6,50	13,01	2,97	381.026	1.132.569	X: -2,70; Y: 6,50	13,01
1,93	191.011	369.111	X: -3,20; Y: 6,50	9,30	1,80	191.011	344.223	X: -3,20; Y: 6,50	9,30
3,43	387.864	1.331.506	X: -3,20; Y: 6,50	13,30	3,08	387.864	1.192.763	X: -3,20; Y: 6,50	13,30
2,10	195.651	411.208	X: -3,70; Y: 6,50	9,60	1,94	195.651	379.945	X: -3,70; Y: 6,50	9,60
3,56	396.358	1.411.514	X: -3,70; Y: 6,50	13,60	3,18	396.358	1.260.675	X: -3,70; Y: 6,50	13,60
2,30	199.316	459.005	X: -4,20; Y: 6,50	9,92	2,11	199.316	420.685	X: -4,20; Y: 6,50	9,92
3,72	402.973	1.498.582	X: -4,20; Y: 6,50	13,92	3,31	402.973	1.334.769	X: -4,20; Y: 6,50	13,92
1,59	154.008	245.225	X: 0,30; Y: 7,00	8,25	1,58	154.008	242.722	X: 0,30; Y: 7,00	8,25
2,97	345.174	1.025.484	X: 0,30; Y: 7,00	12,25	2,73	345.174	941.535	X: 0,30; Y: 7,00	12,25
1,54	159.847	246.883	X: -0,20; Y: 7,00	8,38	1,53	159.847	243.945	X: -0,20; Y: 7,00	8,38
2,98	350.830	1.045.762	X: -0,20; Y: 7,00	12,38	2,73	350.830	957.874	X: -0,20; Y: 7,00	12,38
1,51	167.546	253.221	X: -0,70; Y: 7,00	8,54	1,49	167.546	249.429	X: -0,70; Y: 7,00	8,54
2,99	358.967	1.074.490	X: -0,70; Y: 7,00	12,54	2,73	358.967	981.645	X: -0,70; Y: 7,00	12,54
1,54	172.019	265.268	X: -1,20; Y: 7,00	8,73	1,51	172.019	259.180	X: -1,20; Y: 7,00	8,73
3,04	365.167	1.111.281	X: -1,20; Y: 7,00	12,73	2,77	365.167	1.012.233	X: -1,20; Y: 7,00	12,73
1,58	178.574	282.581	X: -1,70; Y: 7,00	8,94	1,53	178.574	273.704	X: -1,70; Y: 7,00	8,94
3,10	372.791	1.155.805	X: -1,70; Y: 7,00	12,94	2,82	372.791	1.049.571	X: -1,70; Y: 7,00	12,94
1,66	184.148	305.051	X: -2,20; Y: 7,00	9,18	1,59	184.148	292.417	X: -2,20; Y: 7,00	9,18
3,19	378.604	1.208.378	X: -2,20; Y: 7,00	13,18	2,89	378.604	1.093.842	X: -2,20; Y: 7,00	13,18
1,76	188.916	333.168	X: -2,70; Y: 7,00	9,43	1,67	188.916	315.923	X: -2,70; Y: 7,00	9,43
3,29	385.748	1.268.647	X: -2,70; Y: 7,00	13,43	2,97	385.748	1.144.815	X: -2,70; Y: 7,00	13,43
1,92	192.007	367.784	X: -3,20; Y: 7,00	9,71	1,80	192.007	345.177	X: -3,20; Y: 7,00	9,71
3,42	391.262	1.336.838	X: -3,20; Y: 7,00	13,71	3,07	391.262	1.202.695	X: -3,20; Y: 7,00	13,71
2,08	196.044	407.506	X: -3,70; Y: 7,00	10,00	1,93	196.044	378.941	X: -3,70; Y: 7,00	10,00
3,54	399.202	1.413.442	X: -3,70; Y: 7,00	14,00	3,18	399.202	1.267.882	X: -3,70; Y: 7,00	14,00
2,26	200.410	453.569	X: -4,20; Y: 7,00	10,31	2,09	200.410	418.407	X: -4,20; Y: 7,00	10,31
3,69	405.965	1.497.188	X: -4,20; Y: 7,00	14,31	3,30	405.965	1.339.300	X: -4,20; Y: 7,00	14,31
1,63	154.477	252.163	X: 0,30; Y: 7,50	8,73	1,62	154.477	249.734	X: 0,30; Y: 7,50	8,73
3,00	349.397	1.047.169	X: 0,30; Y: 7,50	12,73	2,76	349.397	964.499	X: 0,30; Y: 7,50	12,73
1,58	160.806	253.657	X: -0,20; Y: 7,50	8,86	1,56	160.806	250.984	X: -0,20; Y: 7,50	8,86
2,99	356.298	1.065.890	X: -0,20; Y: 7,50	12,86	2,75	356.298	979.695	X: -0,20; Y: 7,50	12,86
1,54	168.248	259.314	X: -0,70; Y: 7,50	9,01	1,52	168.248	255.928	X: -0,70; Y: 7,50	9,01
3,01	362.580	1.093.089	X: -0,70; Y: 7,50	13,01	2,76	362.580	1.002.115	X: -0,70; Y: 7,50	13,01
1,54	174.806	269.898	X: -1,20; Y: 7,50	9,19	1,51	174.806	264.830	X: -1,20; Y: 7,50	9,19
3,05	370.144	1.127.740	X: -1,20; Y: 7,50	13,19	2,79	370.144	1.031.055	X: -1,20; Y: 7,50	13,19
1,60	178.768	286.108	X: -1,70; Y: 7,50	9,39	1,56	178.768	278.151	X: -1,70; Y: 7,50	9,39
3,11	376.015	1.170.200	X: -1,70; Y: 7,50	13,39	2,84	376.015	1.066.682	X: -1,70; Y: 7,50	13,39
1,67	184.612	307.524	X: -2,20; Y: 7,50	9,62	1,60	184.612	296.178	X: -2,20; Y: 7,50	9,62
3,18	383.209	1.220.170	X: -2,20; Y: 7,50	13,62	2,89	383.209	1.108.870	X: -2,20; Y: 7,50	13,62
1,76	189.688	334.145	X: -2,70; Y: 7,50	9,86	1,68	189.688	318.576	X: -2,70; Y: 7,50	9,86
3,29	388.766	1.277.937	X: -2,70; Y: 7,50	13,86	2,98	388.766	1.157.831	X: -2,70; Y: 7,50	13,86
1,89	193.991	366.358	X: -3,20; Y: 7,50	10,12	1,78	193.991	345.819	X: -3,20; Y: 7,50	10,12
3,40	395.586	1.343.189	X: -3,20; Y: 7,50	14,12	3,07	395.586	1.213.313	X: -3,20; Y: 7,50	14,12
2,06	196.855	404.914	X: -3,70; Y: 7,50	10,40	1,92	196.855	378.778	X: -3,70; Y: 7,50	10,40
3,53	400.885	1.416.142	X: -3,70; Y: 7,50	14,40	3,18	400.885	1.275.549	X: -3,70; Y: 7,50	14,40

## VERIFICHE DI STABILITA'

Bishop					Fellenius				
CS	FrzRblt	FrzRes	Centro	Raggio	CS	FrzRblt	FrzRes	Centro	Raggio
	[N]	[N]	[m]	[m]		[N]	[N]	[m]	[m]
2,24	200.676	448.605	X: -4,20; Y: 7,50	10,70	2,07	200.676	416.279	X: -4,20; Y: 7,50	10,70
3,66	408.573	1.497.370	X: -4,20; Y: 7,50	14,70	3,29	408.573	1.344.993	X: -4,20; Y: 7,50	14,70
1,67	155.197	259.245	X: 0,30; Y: 8,00	9,22	1,66	155.197	256.943	X: 0,30; Y: 8,00	9,22
3,01	354.654	1.068.415	X: 0,30; Y: 8,00	13,22	2,78	354.654	987.138	X: 0,30; Y: 8,00	13,22
1,59	163.337	259.734	X: -0,20; Y: 8,00	9,34	1,58	163.337	257.716	X: -0,20; Y: 8,00	9,34
3,01	360.753	1.086.541	X: -0,20; Y: 8,00	13,34	2,78	360.753	1.001.783	X: -0,20; Y: 8,00	13,34
1,57	168.800	265.251	X: -0,70; Y: 8,00	9,49	1,55	168.800	262.215	X: -0,70; Y: 8,00	9,49
3,02	367.511	1.111.531	X: -0,70; Y: 8,00	13,49	2,78	367.511	1.022.445	X: -0,70; Y: 8,00	13,49
1,57	175.439	274.947	X: -1,20; Y: 8,00	9,66	1,54	175.439	270.468	X: -1,20; Y: 8,00	9,66
3,07	373.377	1.144.542	X: -1,20; Y: 8,00	13,66	2,81	373.377	1.049.985	X: -1,20; Y: 8,00	13,66
1,62	179.353	290.115	X: -1,70; Y: 8,00	9,85	1,58	179.353	283.001	X: -1,70; Y: 8,00	9,85
3,11	380.465	1.184.820	X: -1,70; Y: 8,00	13,85	2,85	380.465	1.083.895	X: -1,70; Y: 8,00	13,85
1,68	184.675	310.005	X: -2,20; Y: 8,00	10,06	1,62	184.675	299.764	X: -2,20; Y: 8,00	10,06
3,19	386.097	1.232.681	X: -2,20; Y: 8,00	14,06	2,91	386.097	1.124.363	X: -2,20; Y: 8,00	14,06
1,77	189.602	335.156	X: -2,70; Y: 8,00	10,30	1,69	189.602	321.017	X: -2,70; Y: 8,00	10,30
3,28	392.943	1.287.864	X: -2,70; Y: 8,00	14,30	2,98	392.943	1.171.232	X: -2,70; Y: 8,00	14,30
1,88	194.587	366.125	X: -3,20; Y: 8,00	10,55	1,79	194.587	347.420	X: -3,20; Y: 8,00	10,55
3,39	398.298	1.350.630	X: -3,20; Y: 8,00	14,55	3,07	398.298	1.224.735	X: -3,20; Y: 8,00	14,55
2,04	197.027	402.614	X: -3,70; Y: 8,00	10,82	1,92	197.027	378.637	X: -3,70; Y: 8,00	10,82
3,51	404.855	1.420.702	X: -3,70; Y: 8,00	14,82	3,17	404.855	1.284.607	X: -3,70; Y: 8,00	14,82
2,21	201.333	444.775	X: -4,20; Y: 8,00	11,10	2,06	201.333	415.018	X: -4,20; Y: 8,00	11,10
3,64	412.193	1.498.818	X: -4,20; Y: 8,00	15,10	3,28	412.193	1.351.515	X: -4,20; Y: 8,00	15,10
1,71	155.903	266.075	X: 0,30; Y: 8,50	9,71	1,69	155.903	263.896	X: 0,30; Y: 8,50	9,71
3,04	358.337	1.089.513	X: 0,30; Y: 8,50	13,71	2,82	358.337	1.009.409	X: 0,30; Y: 8,50	13,71
1,62	163.791	266.125	X: -0,20; Y: 8,50	9,82	1,61	163.791	264.266	X: -0,20; Y: 8,50	9,82
3,03	365.634	1.106.326	X: -0,20; Y: 8,50	13,82	2,80	365.634	1.023.116	X: -0,20; Y: 8,50	13,82
1,60	169.042	270.951	X: -0,70; Y: 8,50	9,96	1,59	169.042	268.248	X: -0,70; Y: 8,50	9,96
3,05	370.732	1.130.094	X: -0,70; Y: 8,50	13,96	2,81	370.732	1.042.675	X: -0,70; Y: 8,50	13,96
1,59	175.700	280.005	X: -1,20; Y: 8,50	10,12	1,57	175.700	275.994	X: -1,20; Y: 8,50	10,12
3,08	376.532	1.161.446	X: -1,20; Y: 8,50	14,12	2,84	376.532	1.068.888	X: -1,20; Y: 8,50	14,12
1,62	181.480	293.778	X: -1,70; Y: 8,50	10,31	1,59	181.480	287.646	X: -1,70; Y: 8,50	10,31
3,13	383.391	1.199.862	X: -1,70; Y: 8,50	14,31	2,87	383.391	1.101.308	X: -1,70; Y: 8,50	14,31
1,69	185.024	312.948	X: -2,20; Y: 8,50	10,51	1,64	185.024	303.706	X: -2,20; Y: 8,50	10,51
3,20	388.907	1.245.642	X: -2,20; Y: 8,50	14,51	2,93	388.907	1.140.100	X: -2,20; Y: 8,50	14,51
1,77	189.934	336.866	X: -2,70; Y: 8,50	10,74	1,71	189.934	324.035	X: -2,70; Y: 8,50	10,74
3,28	395.538	1.298.565	X: -2,70; Y: 8,50	14,74	3,00	395.538	1.185.162	X: -2,70; Y: 8,50	14,74
1,88	194.509	366.018	X: -3,20; Y: 8,50	10,98	1,79	194.509	348.914	X: -3,20; Y: 8,50	10,98
3,38	402.100	1.358.766	X: -3,20; Y: 8,50	14,98	3,08	402.100	1.236.572	X: -3,20; Y: 8,50	14,98
2,01	199.066	400.915	X: -3,70; Y: 8,50	11,24	1,90	199.066	378.934	X: -3,70; Y: 8,50	11,24
3,50	407.300	1.426.372	X: -3,70; Y: 8,50	15,24	3,18	407.300	1.294.497	X: -3,70; Y: 8,50	15,24
2,19	201.412	441.303	X: -4,20; Y: 8,50	11,51	2,05	201.412	413.844	X: -4,20; Y: 8,50	11,51
3,63	413.646	1.501.133	X: -4,20; Y: 8,50	15,51	3,28	413.646	1.358.661	X: -4,20; Y: 8,50	15,51

## LEGENDA Verifiche di stabilita'

<b>Approccio</b>	Tipo di Approccio seguito.
<b>Stato limite</b>	Tipo di Stato Limite.
<b>Sisma</b>	Sisma agente nella Combinazione.
<b>CS</b>	Coefficiente di sicurezza.
<b>FrzRblt</b>	Forza Ribaltante [N].
<b>FrzRes</b>	Forza Resistente [N].
<b>Centro</b>	Coordinate del centro della circonferenza che delinea la superficie di scorrimento [m].
<b>Raggio</b>	Raggio della circonferenza che delinea la superficie di scorrimento [m].

## VERIFICHE A SCORRIMENTO

## VERIFICHE A SCORRIMENTO

Approc	Stato limite	Sisma	CS	FrzP	FrzR
				[N]	[N]
<b>Sezione 1</b>					
<b>Verifica 1</b>					
Approccio 1, Combinazione 1	Stato Limite di Resistenza della Struttura	NO	4,17	42.149	175.801
<b>Verifica 2</b>					
Approccio 1, Combinazione 1	Stato Limite di Resistenza della Struttura	NO	3,99	46.859	187.045
<b>Verifica 3</b>					
Approccio 1, Combinazione 1	Stato Limite di Resistenza della Struttura	NO	4,17	54.794	228.541
<b>Verifica 4</b>					
Approccio 1, Combinazione 1	Stato Limite di Resistenza della Struttura	NO	4,03	59.504	239.785
<b>Verifica 5</b>					
Approccio 1, Combinazione 1	Stato Limite di Resistenza della	SI	3,75	47.843	179.180



VERIFICHE A SCORRIMENTO					
Approc	Stato limite	Sisma	CS	FrzP [N]	FrzR [N]
	Struttura				
<b>Verifica 6</b>					
Approccio 1, Combinazione 2	Stato Limite di Resistenza del Terreno	NO	2,70	54.656	147.376
<b>Verifica 7</b>					
Approccio 1, Combinazione 2	Stato Limite di Resistenza del Terreno	NO	2,60	59.795	155.514
<b>Verifica 8</b>					
Approccio 1, Combinazione 2	Stato Limite di Resistenza del Terreno	NO	2,70	54.656	147.376
<b>Verifica 9</b>					
Approccio 1, Combinazione 2	Stato Limite di Resistenza del Terreno	NO	2,60	59.795	155.514
<b>Verifica 10</b>					
Approccio 1, Combinazione 2	Stato Limite di Resistenza del Terreno	SI	2,47	60.849	150.206

### LEGENDA Verifiche a scorrimento

<b>Approc</b>	Tipo di Approccio seguito.
<b>Stato limite</b>	Tipo di Stato Limite.
<b>Sisma</b>	Sisma agente nella Combinazione.
<b>CS</b>	Coefficiente di sicurezza.
<b>FrzP</b>	Forza di scorrimento di Progetto [N].
<b>FrzR</b>	Forza Resistente a scorrimento [N].

### VERIFICHE A RIBALTAMENTO

VERIFICHE A RIBALTAMENTO					
Approc	Stato limite	Sisma	CS	Mrblt [Nm]	Mstbl [Nm]
<b>Sezione 1</b>					
<b>Verifica 1</b>					
Approccio 1, Combinazione 1	Stato Limite di Equilibrio	NO	8,00	45.932	367.363
<b>Verifica 2</b>					
Approccio 1, Combinazione 1	Stato Limite di Equilibrio	NO	7,90	50.330	397.363
<b>Verifica 3</b>					
Approccio 1, Combinazione 1	Stato Limite di Equilibrio	NO	8,00	56.140	448.999
<b>Verifica 4</b>					
Approccio 1, Combinazione 1	Stato Limite di Equilibrio	NO	7,91	60.538	478.999
<b>Verifica 5</b>					
Approccio 1, Combinazione 1	Stato Limite di Equilibrio	SI	6,75	61.758	416.687

### LEGENDA Verifiche a ribaltamento

<b>Approc</b>	Tipo di Approccio seguito.
<b>Stato limite</b>	Tipo di Stato Limite.
<b>Sisma</b>	Sisma agente nella Combinazione.
<b>CS</b>	Coefficiente di sicurezza.
<b>Mrblt</b>	Momento ribaltante di Progetto [Nm].
<b>Mstbl</b>	Momento Stabilizzante [Nm].

### VERIFICHE A CARICO LIMITE

VERIFICHE A CARICO LIMITE						
Approc	Stato limite	Sisma	CS	QMedP [N/mm <sup>2</sup> ]	QLim [N/mm <sup>2</sup> ]	
<b>Sezione 1</b>						
<b>Verifica 1</b>						
Approccio 1, Combinazione 1	Stato Limite di Resistenza della Struttura	NO	9,11	0,07	0,67	
<b>Verifica 2</b>						
Approccio 1, Combinazione 1	Stato Limite di Resistenza della Struttura	NO	8,32	0,08	0,66	
<b>Verifica 3</b>						
Approccio 1, Combinazione 1	Stato Limite di Resistenza della Struttura	NO	7,01	0,10	0,67	
<b>Verifica 4</b>						
Approccio 1, Combinazione 1	Stato Limite di Resistenza della Struttura	NO	6,53	0,10	0,66	
<b>Verifica 5</b>						

**VERIFICHE A CARICO LIMITE**

Approc	Stato limite	Sisma	CS	QMedP [N/mm <sup>2</sup> ]	QLim [N/mm <sup>2</sup> ]
Approccio 1, Combinazione 1	Stato Limite di Resistenza della Struttura	SI	8,84	0,08	0,67
<b>Verifica 6</b>					
Approccio 1, Combinazione 2	Stato Limite di Resistenza del Terreno	NO	3,75	0,07	0,28
<b>Verifica 7</b>					
Approccio 1, Combinazione 2	Stato Limite di Resistenza del Terreno	NO	3,45	0,08	0,27
<b>Verifica 8</b>					
Approccio 1, Combinazione 2	Stato Limite di Resistenza del Terreno	NO	3,75	0,07	0,28
<b>Verifica 9</b>					
Approccio 1, Combinazione 2	Stato Limite di Resistenza del Terreno	NO	3,45	0,08	0,27
<b>Verifica 10</b>					
Approccio 1, Combinazione 2	Stato Limite di Resistenza del Terreno	SI	3,53	0,08	0,27

**LEGENDA Verifiche a Carico Limite**

<b>Approc</b>	Tipo di Approccio seguito.
<b>Stato limite</b>	Tipo di Stato Limite.
<b>Sisma</b>	Sisma agente nella Combinazione.
<b>CS</b>	Coefficiente di sicurezza.
<b>QMedP</b>	Tensione media di Progetto [N/mm <sup>2</sup> ].
<b>QLim</b>	Carico Limite [N/mm <sup>2</sup> ].

**VERIFICHE A PRESSOFLESSIONE RETTA ALLO SLU**
**VERIFICHE A PRESSOFLESSIONE RETTA ALLO SLU**

		VERIFICHE A PRESSOFLESSIONE RETTA ALLO SLO					
CS <sub>Sup</sub>	CS <sub>Inf</sub>	Sollecitazioni				Af <sub>Sup</sub>	Af <sub>Inf</sub>
		N <sub>Sup</sub> [N]	My <sub>Sup</sub> [Nm]	N <sub>Inf</sub> [N]	My <sub>Inf</sub> [Nm]		
						[cm <sup>2</sup> ]	[cm <sup>2</sup> ]
Sezione 1							
Paramento							
Sez. calcolo n.1 - Dis: 0.00							
-	5,02	0	0,00	39.568	-36.176,00	12,57	12,57
Sez. calcolo n.2 - Dis: 0.37							
-	7,18	0	0,00	33.359	-25.160,00	12,57	12,57
Sez. calcolo n.3 - Dis: 0.74							
-	10,88	0	0,00	28.030	-16.523,00	12,57	12,57
Sez. calcolo n.4 - Dis: 1.10							
-	17,52	0	0,00	22.477	-10.208,00	12,57	12,57
Sez. calcolo n.5 - Dis: 1.47							
-	31,50	0	0,00	17.640	-5.650,00	12,57	12,57
Sez. calcolo n.6 - Dis: 1.84							
-	64,52	0	0,00	12.745	-2.746,00	12,57	12,57
Sez. calcolo n.7 - Dis: 2.21							
-	NS	0	0,00	8.226	-1.034,00	12,57	12,57
Sez. calcolo n.8 - Dis: 2.57							
-	NS	0	0,00	4.163	-214,00	12,57	12,57
Sez. calcolo n.9 - Dis: 2.94							
-	-	300	0,00	300	0,00	12,57	12,57
Fondazione muro							
Sez. calcolo n.10 - Dis: 0.00(Valle)							
-	32,31	0	0,00	0	-8.460,00	12,57	12,57
Sez. calcolo n.11 - Dis: 0.07(Valle)							
-	31,07	0	0,00	0	-8.796,00	12,57	12,57
Sez. calcolo n.12 - Dis: 0.14(Valle)							
-	28,80	0	0,00	0	-9.489,00	12,57	12,57
Sez. calcolo n.13 - Dis: 0.20(Valle)							
-	25,94	0	0,00	0	-10.538,00	12,57	12,57
Sez. calcolo n.14 - Dis: 0.27(Valle)							
-	22,89	0	0,00	0	-11.943,00	12,57	12,57
Sez. calcolo n.15 - Dis: 0.34(Valle)							
-	19,94	0	0,00	0	-13.705,00	12,57	12,57
Sez. calcolo n.16 - Dis: 0.41(Valle)							
-	17,27	0	0,00	0	-15.823,00	12,57	12,57
Sez. calcolo n.17 - Dis: 0.47(Valle)							
-	14,94	0	0,00	0	-18.297,00	12,57	12,57
Sez. calcolo n.18 - Dis: 0.54(Valle)							
-	12,94	0	0,00	0	-21.128,00	12,57	12,57
Sez. calcolo n.19 - Dis: 0.00(Monte)							
7,68	-	0	35.580,00	0	0,00	12,57	12,57
Sez. calcolo n.20 - Dis: 0.24(Monte)							
9,16	-	0	29.854,00	0	0,00	12,57	12,57
Sez. calcolo n.21 - Dis: 0.49(Monte)							
11,31	-	0	24.169,00	0	0,00	12,57	12,57
Sez. calcolo n.22 - Dis: 0.73(Monte)							
14,74	-	0	18.541,00	0	0,00	12,57	12,57

**VERIFICHE A PRESSOFLESSIONE RETTA ALLO SLU**

CS <sub>Sup</sub>	CS <sub>Inf</sub>	Sollecitazioni				Af <sub>Sup</sub>	Af <sub>Inf</sub>
		N <sub>Sup</sub> [N]	My <sub>Sup</sub> [Nm]	N <sub>Inf</sub> [N]	My <sub>Inf</sub> [Nm]		
Sez. calcolo n.23 - Dis: 0.97(Monte)							
18,79	-	0	14.547,00	0	0,00	12,57	12,57
Sez. calcolo n.24 - Dis: 1.21(Monte)							
22,85	-	0	11.964,00	0	0,00	12,57	12,57
Sez. calcolo n.25 - Dis: 1.46(Monte)							
27,14	-	0	10.070,00	0	0,00	12,57	12,57
Sez. calcolo n.26 - Dis: 1.70(Monte)							
31,00	-	0	8.818,00	0	0,00	12,57	12,57
Sez. calcolo n.27 - Dis: 1.94(Monte)							
32,53	-	0	8.403,00	0	0,00	12,57	12,57
Sperone di fondazione							
Sez. calcolo n.28 - Dis: 0.00							
65,54	-	0	3.364,00	0	0,00	12,57	12,57
Sez. calcolo n.29 - Dis: 0.34							
-	-	0	0,00	0	0,00	12,57	12,57

**LEGENDA Verifiche a pressoflessione retta allo SLU**

**CS** Coefficiente di sicurezza per l'armatura superiore ed inferiore.  
**N** Sforzo normale per l'armatura superiore ed inferiore [N].  
**My** Vettore Momento intorno a Y per l'armatura superiore ed inferiore [Nm].  
**Af<sub>Sup</sub>** Armatura Superiore Esecutiva [cm<sup>2</sup>].  
**Af<sub>Inf</sub>** Armatura Inferiore Esecutiva [cm<sup>2</sup>].  
**NOTE** Per il paramento: sup=armatura a valle; inf=armatura a monte  
 Per la fondazione: sup=armatura superiore; inf=armatura inferiore

**VERIFICHE A PRESSOFLESSIONE RETTA ALLO SLE**
**VERIFICHE A PRESSOFLESSIONE RETTA ALLO SLE**

Trazione calcestruzzo			Compressione calcestruzzo			Trazione acciaio		
σ <sub>ct</sub> [N/mm <sup>2</sup> ]	N [N]	My [N-m]	σ <sub>cc</sub> [N/mm <sup>2</sup> ]	N [N]	My [N-m]	σ <sub>at</sub> [N/mm <sup>2</sup> ]	N [N]	My [N-m]
<b>Sezione 1</b>								
<b>Paramento</b>								
<b>Sez. calcolo n.1 - Dis: 0.00</b>								
0,711	39.009	-26.217	-0,889	39.009	-26.217	9,462	39.009	-26.217
<b>Sez. calcolo n.2 - Dis: 0.37</b>								
0,477	32.942	-18.094	-0,627	32.942	-18.094	6,324	32.942	-18.094
<b>Sez. calcolo n.3 - Dis: 0.74</b>								
0,295	27.707	-11.748	-0,422	27.707	-11.748	3,890	27.707	-11.748
<b>Sez. calcolo n.4 - Dis: 1.10</b>								
0,168	22.260	-7.169	-0,270	22.260	-7.169	2,190	22.260	-7.169
<b>Sez. calcolo n.5 - Dis: 1.47</b>								
0,079	17.490	-3.887	-0,159	17.490	-3.887	1,002	17.490	-3.887
<b>Sez. calcolo n.6 - Dis: 1.84</b>								
0,027	12.663	-1.846	-0,085	12.663	-1.846	0,326	12.663	-1.846
<b>Sez. calcolo n.7 - Dis: 2.21</b>								
0,002	8.192	-673	-0,039	8.192	-673	0,000	0	0
<b>Sez. calcolo n.8 - Dis: 2.57</b>								
0,000	0	0	-0,013	4.151	-129	0,000	0	0
<b>Sez. calcolo n.9 - Dis: 2.94</b>								
0,000	0	0	0,000	0	0	0,000	0	0
<b>Fondazione muro</b>								
<b>Sez. calcolo n.10 - Dis: 0.00(Valle)</b>								
0,093	0	-6.482	-0,093	0	-6.482	1,299	0	-6.482
<b>Sez. calcolo n.11 - Dis: 0.07(Valle)</b>								
0,097	0	-6.766	-0,097	0	-6.766	1,356	0	-6.766
<b>Sez. calcolo n.12 - Dis: 0.14(Valle)</b>								
0,107	0	-7.499	-0,107	0	-7.499	1,503	0	-7.499
<b>Sez. calcolo n.13 - Dis: 0.20(Valle)</b>								
0,123	0	-8.608	-0,123	0	-8.608	1,725	0	-8.608
<b>Sez. calcolo n.14 - Dis: 0.27(Valle)</b>								
0,145	0	-10.094	-0,145	0	-10.094	2,023	0	-10.094
<b>Sez. calcolo n.15 - Dis: 0.34(Valle)</b>								
0,171	0	-11.957	-0,171	0	-11.957	2,396	0	-11.957
<b>Sez. calcolo n.16 - Dis: 0.41(Valle)</b>								
0,203	0	-14.197	-0,203	0	-14.197	2,845	0	-14.197
<b>Sez. calcolo n.17 - Dis: 0.47(Valle)</b>								
0,241	0	-16.814	-0,241	0	-16.814	3,370	0	-16.814
<b>Sez. calcolo n.18 - Dis: 0.54(Valle)</b>								
0,284	0	-19.808	-0,284	0	-19.808	3,970	0	-19.808
<b>Sez. calcolo n.19 - Dis: 0.00(Monte)</b>								
0,407	0	28.446	-0,407	0	28.446	5,701	0	28.446
<b>Sez. calcolo n.20 - Dis: 0.24(Monte)</b>								
0,341	0	23.793	-0,341	0	23.793	4,769	0	23.793
<b>Sez. calcolo n.21 - Dis: 0.49(Monte)</b>								
0,279	0	19.468	-0,279	0	19.468	3,902	0	19.468
<b>Sez. calcolo n.22 - Dis: 0.73(Monte)</b>								
0,221	0	15.452	-0,221	0	15.452	3,097	0	15.452

**VERIFICHE A PRESSOFLESSIONE RETTA ALLO SLE**

Trazione calcestruzzo			Compressione calcestruzzo			Trazione acciaio		
$\sigma_{ct}$	N	My	$\sigma_{cc}$	N	My	$\sigma_{at}$	N	My
[N/mm <sup>2</sup> ]	[N]	[N-m]	[N/mm <sup>2</sup> ]	[N]	[N-m]	[N/mm <sup>2</sup> ]	[N]	[N-m]
<b>Sez. calcolo n.23 - Dis: 0.97(Monte)</b>								
0,172	0	11.980	-0,172	0	11.980	2,401	0	11.980
<b>Sez. calcolo n.24 - Dis: 1.21(Monte)</b>								
0,138	0	9.618	-0,138	0	9.618	1,928	0	9.618
<b>Sez. calcolo n.25 - Dis: 1.46(Monte)</b>								
0,113	0	7.921	-0,113	0	7.921	1,588	0	7.921
<b>Sez. calcolo n.26 - Dis: 1.70(Monte)</b>								
0,097	0	6.774	-0,097	0	6.774	1,358	0	6.774
<b>Sez. calcolo n.27 - Dis: 1.94(Monte)</b>								
0,092	0	6.428	-0,092	0	6.428	1,288	0	6.428
<b>Sperone di fondazione</b>								
<b>Sez. calcolo n.28 - Dis: 0.00</b>								
0,054	0	2.588	-0,054	0	2.588	0,739	0	2.588
<b>Sez. calcolo n.29 - Dis: 0.34</b>								
0,000	0	0	0,000	0	0	0,000	0	0

**LEGENDA Verifiche a pressoflessione retta allo SLE**

$\sigma_{ct}$ , N, My

Valori, rispettivamente della tensione massima di trazione nel calcestruzzo e delle componenti della sollecitazione agenti che l'hanno generata, riferite all'asse baricentrico della sezione trasversale(N) ed al sistema baricentrico x, y della sezione trasversale.

$\sigma_{cc}$ , N, My

Valori, rispettivamente della tensione massima di compressione nel calcestruzzo e delle componenti della sollecitazione agenti che l'hanno generata, riferite all'asse baricentrico della sezione trasversale(N) ed al sistema baricentrico x, y della sezione trasversale.

$\sigma_{at}$ , N, My

Valori, rispettivamente della tensione massima di trazione nell'acciaio e delle componenti della sollecitazione agenti che l'hanno generata, riferite all'asse baricentrico della sezione trasversale(N) ed al sistema baricentrico x, y della sezione trasversale.

**VERIFICHE A TAGLIO PER PRESSOFLESSIONE RETTA ALLO SLU**
**VERIFICHE A TAGLIO PER PRESSOFLESSIONE RETTA ALLO SLU**

CS+	CS-	Tx+	Tx-	Vcc+	Vcc-	Vwd+	Vwd-	Nd+	Nd-	Vwp+	Vwp-	ctg $\theta$ +	ctg $\theta$	AfTe+	AfTe-
		[N]	[N]	[N]	[N]	[N]	[N]	[N]	[N]	[N]	[N]			[cm <sup>2</sup> /cm]	[cm <sup>2</sup> /cm]
<b>Sezione 1</b>															
<b>Paramento</b>															
<b>Sez. calcolo n.1 - Dis: 0.00</b>															
-	7,79	0	28.353	215.013	220.865	0	0	0	39.009	0	0	0,00	0,00	0,0000	0,0000
<b>Sez. calcolo n.2 - Dis: 0.37</b>															
-	10,09	0	21.801	215.013	219.955	0	0	0	32.942	0	0	0,00	0,00	0,0000	0,0000
<b>Sez. calcolo n.3 - Dis: 0.74</b>															
-	12,56	0	17.446	215.013	219.169	0	0	0	27.707	0	0	0,00	0,00	0,0000	0,0000
<b>Sez. calcolo n.4 - Dis: 1.10</b>															
-	17,63	0	12.382	215.013	218.352	0	0	0	22.260	0	0	0,00	0,00	0,0000	0,0000
<b>Sez. calcolo n.5 - Dis: 1.47</b>															
-	23,82	0	9.138	215.013	217.637	0	0	0	17.490	0	0	0,00	0,00	0,0000	0,0000
<b>Sez. calcolo n.6 - Dis: 1.84</b>															
-	39,09	0	5.549	215.013	216.913	0	0	0	12.663	0	0	0,00	0,00	0,0000	0,0000
<b>Sez. calcolo n.7 - Dis: 2.21</b>															
-	77,26	0	2.799	215.013	216.242	0	0	0	8.192	0	0	0,00	0,00	0,0000	0,0000
<b>Sez. calcolo n.8 - Dis: 2.57</b>															
-	NS	0	1.287	215.013	215.636	0	0	0	4.151	0	0	0,00	0,00	0,0000	0,0000
<b>Sez. calcolo n.9 - Dis: 2.94</b>															
-	0	0	215.013	215.013	0	0	0	0	0	0	0	0,00	0,00	0,0000	0,0000
<b>Fondazione muro</b>															
<b>Sez. calcolo n.10 - Dis: 0.00(Valle)</b>															
-	NS	0	1.853	263.188	263.188	0	0	0	0	0	0	0,00	0,00	0,0000	0,0000
<b>Sez. calcolo n.11 - Dis: 0.07(Valle)</b>															
-	43,70	0	6.022	263.188	263.188	0	0	0	0	0	0	0,00	0,00	0,0000	0,0000
<b>Sez. calcolo n.12 - Dis: 0.14(Valle)</b>															
-	25,83	0	10.190	263.188	263.188	0	0	0	0	0	0	0,00	0,00	0,0000	0,0000
<b>Sez. calcolo n.13 - Dis: 0.20(Valle)</b>															
-	18,33	0	14.357	263.188	263.188	0	0	0	0	0	0	0,00	0,00	0,0000	0,0000
<b>Sez. calcolo n.14 - Dis: 0.27(Valle)</b>															
-	14,21	0	18.522	263.188	263.188	0	0	0	0	0	0	0,00	0,00	0,0000	0,0000
<b>Sez. calcolo n.15 - Dis: 0.34(Valle)</b>															
-	11,60	0	22.687	263.188	263.188	0	0	0	0	0	0	0,00	0,00	0,0000	0,0000
<b>Sez. calcolo n.16 - Dis: 0.41(Valle)</b>															
-	9,80	0	26.849	263.188	263.188	0	0	0	0	0	0	0,00	0,00	0,0000	0,0000
<b>Sez. calcolo n.17 - Dis: 0.47(Valle)</b>															
-	8,49	0	31.011	263.188	263.188	0	0	0	0	0	0	0,00	0,00	0,0000	0,0000
<b>Sez. calcolo n.18 - Dis: 0.54(Valle)</b>															
-	7,48	0	35.172	263.188	263.188	0	0	0	0	0	0	0,00	0,00	0,0000	0,0000
<b>Sez. calcolo n.19 - Dis: 0.00(Monte)</b>															
12,96	-	20.308	0	263.188	263.188	0	0	0	0	0	0	0,00	0,00	0,0000	0,0000
<b>Sez. calcolo n.20 - Dis: 0.24(Monte)</b>															
16,13	-	16.318	0	263.188	263.188	0	0	0	0	0	0	0,00	0,00	0,0000	0,0000
<b>Sez. calcolo n.21 - Dis: 0.49(Monte)</b>															
14,14	-	18.613	0	263.188	263.188	0	0	0	0	0	0	0,00	0,00	0,0000	0,0000
<b>Sez. calcolo n.22 - Dis: 0.73(Monte)</b>															
18,04	-	14.593	0	263.188	263.188	0	0	0	0	0	0	0,00	0,00	0,0000	0,0000
<b>Sez. calcolo n.23 - Dis: 0.97(Monte)</b>															
15,61	-	16.859	0	263.188	263.188	0	0	0	0	0	0	0,00	0,00	0,0000	0,0000

VERIFICHE A TAGLIO PER PRESSOFLESSIONE RETTA ALLO SLU															
CS+	CS-	Tx+	Tx-	Vcc+	Vcc-	Vwd+	Vwd-	Nd+	Nd-	Vwp+	Vwp-	ctgθ+	ctgθ	AfTe+	AfTe-
		[N]	[N]	[N]	[N]	[N]	[N]	[N]	[N]	[N]	[N]			[cm²/cm]	[cm²/cm]
<b>Sez. calcolo n.24 - Dis: 1.21(Monte)</b>															
39,31	-	6.696	0	263.188	263.188	0	0	0	0	0	0	0,00	0,00	0,0000	0,0000
<b>Sez. calcolo n.25 - Dis: 1.46(Monte)</b>															
NS	-	1.715	0	263.188	263.188	0	0	0	0	0	0	0,00	0,00	0,0000	0,0000
<b>Sez. calcolo n.26 - Dis: 1.70(Monte)</b>															
84,87	-	3.101	0	263.188	263.188	0	0	0	0	0	0	0,00	0,00	0,0000	0,0000
<b>Sez. calcolo n.27 - Dis: 1.94(Monte)</b>															
-	NS	0	1.831	263.188	263.188	0	0	0	0	0	0	0,00	0,00	0,0000	0,0000
<b>Sperone di fondazione</b>															
<b>Sez. calcolo n.28 - Dis: 0.00</b>															
-	19,84	0	10.935	216.987	216.987	0	0	0	0	0	0	0,00	0,00	0,0000	0,0000
<b>Sez. calcolo n.29 - Dis: 0.34</b>															
-	-	0	0	216.987	216.987	0	0	0	0	0	0	0,00	0,00	0,0000	0,0000

## LEGENDA Verifiche a taglio per pressoflessione retta allo SLU

**CS+, CS-**

Coefficienti di sicurezza relativi alle sollecitazioni "Tx+" e "Tx-" : [NS] = Non Significativo - Per valori di CS maggiori o uguali a 100.

**Tx+, Tx-**

Valori massimo e minimo della sollecitazione di taglio.

**Vcc+, Vcc-**

Valori massimo e minimo del taglio ultimo, per conglomerato compresso.

**Vwd+, Vwd-**

Contributi dell'acciaio al taglio ultimo dovuto alle staffe, relativi alle sollecitazioni "Tx+" e "Tx-".

**Nd+, Nd-**

Sforzo normale.

**Vwp+, Vwp-**

Contributo acciaio al Taglio ultimo dovuto ai ferri piegati, relativi alle sollecitazioni "Tx+" e "Tx-".

**ctgθ+, ctgθ**

ctg(θ) utilizzato nel calcolo di Vcc, Vwd e Vwp.

**AfTe+, AfTe-**

Aree di ferro per il taglio in un centimetro, relativi alle sollecitazioni "Tx+" e "Tx-".

---

## INDICE

<a href="#"><u>INFORMAZIONI GENERALI</u></a>	pag. 2	
<a href="#"><u>MATERIALI</u></a>	pag. 2	
<a href="#"><u>TERRENI</u></a>	pag. 2	
<a href="#"><u>CONDIZIONI DI CARICO</u></a>	pag. 2	
<a href="#"><u>SLE: COMBINAZIONE DI AZIONI QUASI PERMANENTE - COEFFICIENTI</u></a>	pag. 3	
<a href="#"><u>SLE: COMBINAZIONE DI AZIONI FREQUENTE - COEFFICIENTI</u></a>	pag. 3	
<a href="#"><u>SLE: COMBINAZIONE DI AZIONI RARA - COEFFICIENTI</u></a>	pag. 3	
<a href="#"><u>SLU: COMBINAZIONI DI CARICO IN ASSENZA DI SISMA - COEFFICIENTI</u></a>		pag. 3
<a href="#"><u>SLU: COMBINAZIONI DI CARICO IN PRESENZA DI SISMA - COEFFICIENTI</u></a>		pag. 4
<a href="#"><u>DATI GENERALI ANALISI SISMICA</u></a>	pag. 5	
<a href="#"><u>GEOMETRIA</u></a>	pag. 5	
<a href="#"><u>CARICHI DISTRIBUITI SUL TERRAPIENO</u></a>	pag. 6	
<a href="#"><u>SPINTE SUL PARAMENTO ALLO SLU</u></a>	pag. 6	
<a href="#"><u>SPINTE SUL CUNEO ALLO SLU</u></a>	pag. 7	
<a href="#"><u>SPINTE SUL PARAMENTO ALLO SLE</u></a>	pag. 8	
<a href="#"><u>SPINTE SUL CUNEO ALLO SLE</u></a>	pag. 8	
<a href="#"><u>SOLLECITAZIONI SUL PARAMENTO</u></a>	pag. 9	
<a href="#"><u>SOLLECITAZIONI SULLA FONDAZIONE</u></a>	pag. 14	
<a href="#"><u>SOLLECITAZIONI SUGLI SPERONI</u></a>	pag. 23	
<a href="#"><u>TENSIONI SUL TERRENO</u></a>	pag. 24	
<a href="#"><u>VERIFICHE DI STABILITA'</u></a>	pag. 24	
<a href="#"><u>VERIFICHE A SCORRIMENTO</u></a>	pag. 37	
<a href="#"><u>VERIFICHE A RIBALTAMENTO</u></a>	pag. 37	
<a href="#"><u>VERIFICHE A CARICO LIMITE</u></a>	pag. 38	
<a href="#"><u>VERIFICHE A PRESSOFLESSIONE RETTA ALLO SLU</u></a>	pag. 38	
<a href="#"><u>VERIFICHE A PRESSOFLESSIONE RETTA ALLO SLE</u></a>	pag. 39	
<a href="#"><u>VERIFICHE A TAGLIO PER PRESSOFLESSIONE RETTA ALLO SLU</u></a>		pag. 40